

БЕЛАРУСІ ДЗЯРЖАЎНЫ УНІВЕРСІТЭТ

М.М. Пісарук

Патокі ў сетках

МІНСК
2009

М.М. Пісарук. Патокі ў сетках. – Мінск, Беларускі дзяржаўны універсітэт, 1996, –97с.

Аўтамабільныя дарогі, чыгунка, электрычныя сеткі, сеткі камунікацый і многія іншыя фізічныя сеткі ўвайшли ў наша паўсядзённае жыццё. Як следства, нават для неспецыяліста відавочна практычна важнасць і шырокая распаўсядженасць сетак. Больш таго, так як фізічныя характеристыкі сетак (напрыклад, ўмова захавання патока ўузлах) дапускаюць вельмі простае матэматычнае апісанне, то практикі могуць лёгка зразумець не толькі матэматычныя пастаноўкі патокавых аптымізацыйных задач, але таксама і тыя ідэі, якія ляжаць у аснове алгарытмаў іх решэння.

Для студэнтаў і аспірантаў матэматычных і эканамічных спецыяльнасцяў універсітетаў.

Змест

1 Карацейшыя шляхі	1
1.1 Прыклады задач	2
1.1.1 Планаванне дзейнасці гандлівага прадпрыемства	2
1.1.2 Апраксімацыя кавалкава-лінейнай функцыі	3
1.1.3 Кантроль за якасцю прадукцыі	5
1.2 Дрэва карацейшых шляхоў	6
1.3 Алгарытм пабудовы дрэва карацейшых шляхоў	8
1.3.1 Алгарытм Форда-Бэлмана	8
1.3.2 Алгарытм Дэйкстры	11
1.4 Карацейшыя шляхі з абмежаваннем на час праезду	12
1.5 Карацейшыя шляхі паміж усімі парамі вяршынь	16
1.6 Карацейшыя шляхі ў ацыклічным арграфе	17
1.7 Сеткае планаванне	18
1.7.1 Сеткавая мадэль праекта — сеткавы графік	19
1.7.2 Метад крытычнага шляху	21
1.8 Цыклы мінімальнага сярэдняга кошту	25
1.8.1 Алгарытм Карпа	25
1.8.2 Двойны метад	28
1.9 Практыкаванні	32
2 Патокі ў сетках	35
2.1 Патокі і граф астатніх прапускных здольнасцей	35
2.2 Фармулёўкі класічных патокавых задач	39
2.2.1 Задача аб максімальным патоку	39
2.2.2 Задача аб цыркуляцыі мінімальнага кошту	39
2.2.3 Транспартная задача	39
2.3 Крытэрыі аптымальнасці	41
2.3.1 Транспортная задача	41
2.3.2 Задача аб максімальным патоку	43
2.3.3 Прыблізная аптымальнасць	46

3 Задача аб максімальным патоку	49
3.1 Алгарытм адметак	49
3.2 Алгарытм Гольдберга і Тар'яна	52
3.3 Эфекты ўнайя рэалізацыя алгарытма Push and Relabel	58
3.4 Размеркаванне рэсурсаў у графіках праектаў	62
4 Транспартная задача	69
4.1 Метад адмоўных цыклів	69
4.2 Сеткавы сімплекс-метад	71
4.2.1 Структуры дадзеных для прадстаўлення базінага дрэва	77
4.2.2 Строга дапушчальныя пакрывальныя дрэвы і складанасць сеткавага сімплекс-метада	80
5 Патокі з выйгрышамі і пройгрышамі	83
5.1 Абагульненая патокі	83
5.1.1 Тэарэма аб дэкампозіцыі	84
5.2 Абагульненая транспортная задача	85
5.2.1 Прыклады прылажэнняў	85
5.3 Крытэрый аптымальнасці	86
5.4 Цыклічныя дрэвы	87
5.4.1 Прадстаўленне цыклічнага лесу	87
5.4.2 Азначэнне цэн на вяршинах цыклічнага дрэва	87
5.4.3 Азначэнне патокаў у на дугах цыклічнага дрэва	88
5.5 Абагульнены сеткавы сімплекс-метад	90
5.5.1 Як знайсці дапушчальныя абагульнены паток і цыклічнае дрэва	90
5.5.2 Выбар дугі для вывада з цыклічнага лесу	91
5.5.3 Геаметрычнае інтэрпрэтацыя абагульненага сеткавага сімплекс-метада	92
5.6 Практыкаванні	93
Літэратура	95
Прадметны указальнік	95

Глава 1

Карацейшыя шляхі

Дадзен арыентаваны граф $G = (V, E)$, кожнай дузе якога прыпісаны *кошт* (даўжыня) $c(v, w)$. Існуюць некалькі класічных фармулёвак задач аб пошуку карацейшых шляхоў у графах:

1. **Карацейшы шлях паміж дзвумя вылучанымі вяршынямі.** У графе G трэба знайсці шлях

$$P = \{s = v_0, v_1, \dots, v_{k-1}, v_k = t\}$$

ад вяршыні $s \in V$ да вяршыні $t \in V$ мінімальнага кошту (*карацейшы шлях*)

$$c(P) \stackrel{\text{def}}{=} \sum_{i=1}^k c(v_{i-1}, v_i).$$

2. **Карацейшыя шляхі ад адной вылучанай вяршыні да ўсіх астатніх.** У графе G трэба знайсці карацейшыя шляхі ад вылучанай вяршыні $s \in V$ да ўсіх астатніх вяршынь графа.
3. **Карацейшыя шляхі паміж усімі парамі вяршынь.** У графе G трэва знайсці карацейшыя шляхі паміж кожнай парай вяршынь $s, t \in V$.

Метады пошука карацейшых шляхоў у графах з'яўляюцца, з аднаго боку, падпраграмамі больш складаных метадаў прыняцця аптымальных рашэнняў, а з іншага маюць разнастайныя самастойныя прымяненні. Некалькі з якіх мы разгледзім у наступным параграфе, іншыя будуць разгледжаны пазней (гл., напрыклад, параграф 1.7). Можна таксама сцвярджаць, па меншай меры ў дачыненні да камбінаторных задач, што метады дынамічнага праграмавання з'яўляюцца ні чым іншым як алгарытмамі пошуку карацейшых шляхоў на нейкіх графах.

1.1 Прыклады задач

1.1.1 Планаванне дзейнасці гандлёвага прадпрыемства

Гандлёваму прадпрыемству трэба задаволіць спрос на нейкі прадукт на працягу T перыяду. Абазначым чакаемы попыт у перыяд t праз d_t , $t = 1, \dots, T$. Няхай ў перыяд t закупляеца x_t адзінак прадукта ($t = 1, \dots, T$), $x = (x_1, \dots, x_T)$. Тады

$$r_t(x) \stackrel{\text{def}}{=} \sum_{i=1}^t (x_i - d_i) \quad (1.1)$$

ёсць астача прадукта пасля перыяду t . Вектар $x \in \mathbb{R}_+^T$ называем *планам*, калі ён задавальняе наступнай умове

$$r_t(x) \geq 0, \quad t = 1, \dots, T-1; \quad r_T(x) = 0. \quad (1.2)$$

Затраты на закупку x_t адзінак прадукта ў перыяд t азначаюцца па правілу:

$$F_t \text{sign}(x_t) + c_t x_t,$$

дзе F_t — фіксаваная плата за закупку партыі прадукта, а c_t — адпаведна аптовы кошт адзінкі прадукта;

Няхай w_t — затраты, звязаныя з захаваннем адзінкі прадукта ў перыяд t . Будзем лічыць, што адзінка прадукта, якая рэалізуецца ў перыяд t , захоўваеца ў сярэднім палову гэтага перыяду; таму кошт яе захавання на працягу дадзенага перыяду роўны $\frac{1}{2}w_t$. Пры такім дапушчэнні, затраты на захаванне пратукты ў перыяд t складуць велічыню

$$w_t(x_t + r_{t-1}) - \frac{1}{2}w_t d_t = w_t \sum_{i=1}^t (x_i - d_i) + \frac{1}{2}w_t d_t \quad (1.3)$$

Трэба знайсці план x (*аптымальны план*), які мінімізуе сумарныя выдаткі прадпрыемства па ўсім T перыядам

$$\sum_{t=1}^T (F_t \text{sign}(x_t) + c_t x_t + w_t \sum_{i=1}^t x_i) + \sum_{t=1}^T (w_t (\frac{1}{2}d_t - \sum_{i=1}^t w_i)). \quad (1.4)$$

Так як у (1.4) другое складаемае не залежыць ад x , то задачу пошука аптымальнага плана можна сформуляваць як задачу мінімізацыі ўвагнутай функцыі

$$f(x) \stackrel{\text{def}}{=} \sum_{t=1}^T (F_t \text{sign}(x_t) + c_t x_t + w_t \sum_{i=1}^t x_i) \quad (1.5)$$

на множстве планаў.

Лема 1.1 *Існуе аптымальны план x , які задавальняе наступнай умове*

$$x_t r_{t-1} = 0 \quad \text{для } t = 2, \dots, T. \quad (1.6)$$

Доказ. Няхай x — нейкі план, для якога ўмова (1.6) не выполнена, т.е. t^1 — мінімальны індэкс, для якога яна парушаецца, а t^0 — максімальны індэкс строга меншы за t^1 , такі, што $x_{t^0} > 0$. Калі $c_{t^0} + \sum_{t=t^0}^{t^1-1} w_t \leq c^{t^1}$, то тады $f(x') \leq f(x)$ для плана $x' \stackrel{\text{def}}{=} x + x_{t^1}(e_{t^0} - e_{t^1})$. Калі ж $c_{t^0} + \sum_{t=t^0}^{t^1-1} w_t \geq c^{t^1}$, то $f(x'') \leq f(x)$ для плана $x'' \stackrel{\text{def}}{=} x + r_{t^1}(x)(e_{t^1} - e_{t^0})$. Такім чынам, мы паказалі, што ад плана x можна перайсці да іншага плана (x' ці x'') без павелічэння функцыі мэты, прычым, на новым плане ўмова (1.6) парушаецца для меньшай колькасці індэксу. \square

Лема 1.1 дазваляе звесці задачу пошука аптымальнага плана да задачы пошука карацейшых шляхоў.

Тэарэма 1.1 Задача пошука аптымальнага плана эквівалентна задачы аб карацейшим шляху ад вяршыні 1 да вяршыні $T+1$ у графе $G = (V, E)$, дзе $V \stackrel{\text{def}}{=} \{1, \dots, T+1\}$, $E \stackrel{\text{def}}{=} \{(i, j) : i, j \in V, i < j\}$, а кошт дугі $(i, j) \in E$ азначаецца па правілу:

$$c(i, j) \stackrel{\text{def}}{=} F_i + \sum_{t=i}^{j-1} (c_t + w_t) d_t.$$

Доказ. Пакажам, што паміж планамі, якія задавальняюць умове (1.6), і шляхамі ў графе G ад вяршыні 1 да вяршыні $T+1$ існуе ўзаемна адназначная адпаведнасць. Няхай план x задавальняе ўмове (1.6) і $1 = i_1 < i_2 < \dots < i_k$ ёсць індэксы яго ненулевых кампанент. Тады

$$x_{i_j} = \sum_{t=i_j}^{i_{j+1}-1} d_t, \quad j = 1, \dots, k. \quad (1.7)$$

і кошт шляху $(i_1, \dots, i_k, i_{k+1} = T+1)$ у графе G роўны $f(x)$.

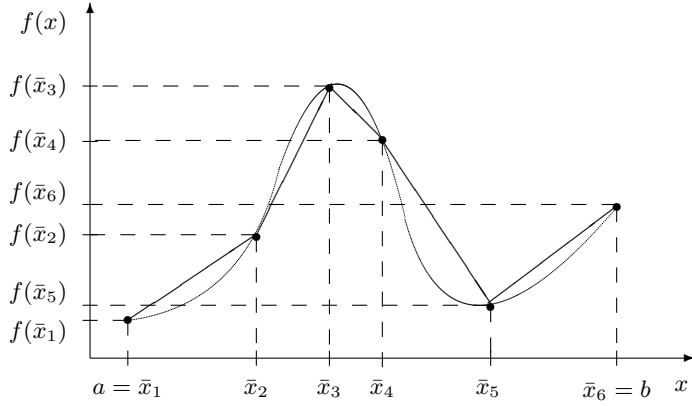
Наадварот, няхай $P = (1 = i_1, \dots, i_k, i_{k+1} = T+1)$ ёсць шлях у графе G . Яму адпавядзе план x , ненулевыя кампаненты якога азначаюцца па правілу (1.7). Няцяжка таксама ўпэўніцца, што $f(x) = c(P)$. \square

1.1.2 Апраксімацыя кавалкова-лінейнай функцыі

Кавалкова-лінейныя функцыі маюць шматлікія прылажэнні. Часта такія функцыі маюць вялікую колькасць *пунктаў злому*. Прадстаўленне такіх функцый патрабуе шмат памяці і часу пры вылічэнні яе значэнняў. Часам бывае карысным апраксіміраваць такую функцыю іншай кавалкова-лінейнай функцыяй з меньшай колькасцю пунктаў злому.

Няхай $f(x)$ — кавалкова-лінейная функцыя з пунктамі злому

$$(x_1, y_1), (x_2, y_2), \dots, (x_n, y_n). \quad (1.8)$$



Дапусцім пункты злому ўпакаваны такім чынам, што

$$x_1 \leq x_2 \leq \dots \leq x_n.$$

Лічым, што n — вялікі лік і мы хочам апраксіміраваць $f(x)$ іншай кавалкаў лінейнай функцыяй $\tilde{f}(x)$, якая праходзіць толькі праз нейкае падмноства крапак з (1.8), улучаючы першы і апошні пункты. У якасці прыклада разгледзім функцыю $f(x)$, якая прадстаўлена на мал. 1.1.2 суцэльнай лініяй. Яна мае дзесяць пунктаў злому. Пунктырырай лініяй прадстаўлена функцыя \tilde{f} , якая праходзіць толькі праз пунктаў.

Любая апраксімацыя прыводзіць да памылак пры вылічэнні значэнняў функцыі. Будзем ацэньваць памылку апраксімацыі велічынёй

$$\beta \sum_{i=1}^n (f(x_i) - \tilde{f}(x_i))^2$$

для нейкай канстанты β .

Мы сфармулюем праблему пошука найлепшай апраксімацыі як задачу пошука карацейшага шляху ў графе G з множствам вяршынь $V = \{1, \dots, n\}$ і множствам дуг $E = \{(i, j) : i, j \in V, i < j\}$. Дуга (i, j) азначае, што мы будзем апраксіміраваць функцыю $f(x)$ на адрезку $[x_i, x_j]$ функцыяй

$$\tilde{f}(x) = f_1(x_i) + \frac{f(x_j) - f(x_i)}{x_j - x_i}(x - x_i).$$

Кошт $c(i, j)$ дугі (i, j) азначаецца па правілу:

$$c(i, j) \stackrel{\text{def}}{=} \alpha + \beta \sum_{i=1}^n (f(x_i) - \tilde{f}(x_i))^2,$$

дзе α ёсць "кошт" захоўвання адной крапкі.

Кожны шлях з вяршыні 1 у вяршыню n у графе G адпавядзе кавалкавалінейнай функцыі $\hat{f}(x)$ і кошт гэтага шляху роўны агульнаму кошту захоўвання гэтай функцыі і штрафу за памылкі апраксімациі. Зразумела, што карацейшаму шляху адпавядзе аптымальная апраксімация.

1.1.3 Кантроль за якасцю прадукцыі

На канвееры, на якім вырабляецца нейкі прадукт, выконкаеца n аперацыі. Пасля кожнай аперацыі магчымы кантроль якасці. Прадукт паступае на канвеер партыямі па $B \geq 1$ штук у партыі. Пасля кожнай аперацыі могуць выявіцца дэфекты, якія нельга выправіць. Таму дэфектныя экзэмпляры выкідаюцца ў адыходы. Няхай p_i — верагоднасць дэфекта на i -й стадыі. Пасля шэрагу аперацый (якіх канкрэтна трэба будзе вызначыць) праводзіцца кантроль якасці ўсёй прадукцыі (выбаркавы кантроль не праводзіцца). Будзем лічыць, што кантроль выяўляе ўсе дэфектныя экзэмпляры. Трэба знайсці аптымальны план кантроля за якасцю, які вызначае пасля якіх аперацый праводзіцца кантроль. Меньшая колькасць інспекцый памяньшае затраты на іх правядзенне, але павялічвае вытворчыя затраты, так як пры гэтым могуць выконвацца непатрэбныя аперацыі на дэфектных экзэмплярах.

Дапусцім, што дадзены наступныя параметры задачы:

- (a) α_i кошт выканання i -й аперацыі на адным экзэмпляры;
- (b) f_{ij} — фіксаваны кошт кантроля адной партыі прадукта пасля аперацыі j , пры ўмове, што папярэдні кантроль праводзіўся пасля аперацыі i ;
- (c) g_{ij} — кошт кантроля адзінкі прадукта пасля аперацыі j , пры ўмове, што папярэдні кантроль праводзіўся пасля аперацыі i ;

Кошт кантроля пасля аперацыі j +залежыць ад таго, калі апошні раз ажыццяўляўся кантроль. Калі гэта было пасля аперацыі i , то кантралёр павінен выявіць усе дэфекты, якія былі зроблены на ўсіх прамежковых этапах $i+1, i+2, \dots, j$.

Мы сформулюем задачу выбара аптымальнага плана кантроля як задачу аб карацейшым шляху ў графе G з множствам вяршынь $V \stackrel{\text{def}}{=} \{0, 1, \dots, n\}$ і множствам дуг $E \stackrel{\text{def}}{=} \{(i, j) : i, j \in V, i < j\}$. Кожны шлях у графе G з вяршыні 0 да вяршыні n адпавядзе плану кантроля. Напрыклад, калі $n = 6$, то шляху $(0, 2, 4, 6)$ адпавядзе план, па якім кантроль ажыццяўляецца пасля 2-й, 4-й і 6-й аперацый. Азначым кошт дугі (i, j) у графе G роўным

$$c(i, j) \stackrel{\text{def}}{=} f_{i,j} + B(i)g_{ij} + B(i) \sum_{k=i+1}^j \alpha_k, \quad (1.9)$$

дзе $B(i) = B \prod_{k=1}^i (1 - p_k)$ ёсць чакаемая колькасць недэфектных адзінак прадукта пасля аперацыі i . Першыя два складаемых у (1.9) задаюць кошт кантроля пасля ітэрацыі i , а трэці член сумы — гэта вытворчыя выдаткі.

1.2 Дрэва карацейшых шляхоў

Як гэта не парадаксальна, але знайсці карацейшы шлях паміж дзвумя вылучанымі вяршынямі не лягчэй, чым шукаць карацейшыя шляхі ад адной вяршыні да ўсіх астатніх.

Няхай $G = (V, E)$ ёсць арграф з вылучанай вяршынай $s \in V$, Кожнай дузе $(v, w) \in E$ прыпісаны кошт $c(v, w)$. Без абмежавання агульнасці будзем лічыць, што з s *дасягаюцца* (існуе шлях ва) ўсе астатнія вяршыні графа. Калі гэта не так, то можам дававіць да G дугі (s, v) , $v \in V \setminus s$, бясконцага кошту $c(s, v) = \infty$. Кошт карацейшага шляху у графе G з вяршыні s у вяршыню $v \in V$ абазначым праз $\sigma(s, v)$ (калі такога шляху не існуе, то $\sigma(s, v) = +\infty$).

Няхай $P = (s = v_0, v_1 \dots, v_k = v)$ ёсць карацейшы шлях ад s да v . Тады для любога $0 \leq i \leq k$ кошт падшляху $P_i = (s = v_0, v_1 \dots, v_i)$ шляху P роўны $\sigma(s, v_i)$, бо інакш адрезак P_i шляху P можна замяніць карацейшым шляхам ад s да v і атрымаць больш кароткі шлях P' ад s да v . Гэта ёсць *прынцып аптымальнасці*. Калі ў графе G няма цыклаў адмоўнага кошту, то ўсе карацейшыя шляхі з'яўляюцца простымі і з прынцыпа аптымальнасці можна заключыць, што кошты карацейшых шляхоў задавальняюць наступным ураўненням Бэлмана:

$$\begin{aligned} \sigma(s, s) &= 0, \\ \sigma(s, v) &= \min_{(w, v) \in E} (\sigma(s, w) + c(w, v)) \quad \text{для ўсіх } v \in V \setminus s. \end{aligned} \quad (1.10)$$

Наступныя два паняцці, якія ідуць ад лінейнага праграмавання, адыгрываюць фундаментальную ролю ва ўсёй патокавай аптымізацыі. *Функцыя цэн* (*вектар патынцыялаў*) ёсць функцыя $p : V \rightarrow \mathbb{R}$. *Прыведзеная функцыя кошту* адносна функцыі цэн p азначаецца па правілу:

$$c_p(v, w) = c(v, w) + p(v) - p(w).$$

Цэны вяршынь маюць натуральную эканамічную інтэрпрэтацыю як дзеючыя рынковыя цэны на нейкі прадукт. Мы можам інтэрпрэтаваць прыведзены кошт $c_p(v, w)$, як суму затрат на закупку адзінкі прадукта ў вяршыні v па цане $p(v)$ і затрат на транспартыроўку ў w мінус даход ад продажу яе там па цане $p(w)$.

Лема 1.2 *Няхай $G = (V, E)$ ёсць арграф, на дугах якога азначана функцыя кошту c , а на вяршынях функцыя цэн p . Тады для шляху P з вяршыні v у вяршыню w у графе G мае месца роўнасць $c_p(P) = c(P) + p(v) - p(w)$. У прыватным выпадку, калі P — цыкл, $c_p(P) = c(P)$.*

Доказ. Няхай $P = (v = v_0, v_1, \dots, v_{k-1}, v_k = w)$. Тады

$$\begin{aligned} c_p(P) &= \sum_{i=1}^k c_p(v_{i-1}, v_i) \\ &= \sum_{i=1}^k (c(v_{i-1}, v_i) + p(v_{i-1}) - p(v_i)) \\ &= \sum_{i=1}^k c(v_{i-1}, v_i) + \sum_{i=1}^k p(v_{i-1}) - \sum_{i=1}^k p(v_i) \\ &= c(P) + p(v) - p(w). \end{aligned}$$

□

Для пакрывальнага ардрэва T з корнем s функцыя адлегласцей $d : V \rightarrow \mathbb{R}$ азначаецца рэкурсіўна наступным чынам:

$$d(s) = 0, \quad d(v) = d(\text{parent}(v)) + c(\text{parent}(v), v) \quad \text{для } v \in V \setminus s,$$

дзе $\text{parent}(v)$ ёсць бацька (пачатковая вяршыня адзінай дугі, якая ўваходзіць у v) вяршыні v у дрэве T . Пакрывальнае ардрэва T з корнем s называецца дрэвам карацейшых шляхоў, калі для кожнай вяршыні v адзіны шлях дрэва T з s у v з'яўляецца карацейшым шляхам з s у v у графе G , г. зн., $d(v) = \sigma(s, v)$.

Тэарэма 1.2 Няхай усе вяршыні графа $G = (V, E)$ дасяганацца з вяршыні $s \in V$. Граф G мае дрэва карацейшых шляхоў тады і толькі тады, калі ён не мае цыклаў адмоўнага кошту. Пакрывальнае ардрэва T з корнем s з'яўляецца дрэвам карацейшых шляхоў тады і толькі тады, калі яго функцыя адлегласцей d задавальняе ўмове

$$c_d(v, w) \geq 0 \quad \text{для ўсіх } (v, w) \in E. \quad (1.11)$$

Доказ. Калі G не мае цыклаў адмоўнага кошту, то карацейшыя шляхі ад s да ўсіх астатніх вяршынь з'яўляюцца простымі. Няхай D ёсць аб'яднанне дуг гэтых шляхоў. Відавочна, што граф (V, D) утрымлівае пакрывальнае ардрэва T , якое з'яўляецца дрэвам карацейшых шляхоў.

Зразумела, што функцыя адлегласцей дрэва карацейшых шляхоў задавальняе ўмове (1.11). Дакажам адвартнае. Няхай дрэва T задавальняе ўмове (1.11). Па леме 1.2 для любога цыкла Γ графа G маем $c(\Gamma) = c_d(\Gamma) \geq 0$. Няхай $s = v_0, v_1, \dots, v_k = v$ ёсць карацейшы шлях з s у v . Так як G не мае цыклаў адмоўнага кошту, то кошт карацейшага шляху з s у s роўны $0 = d(s)$. Па індукцыі дапусцім, што $d(v_{k-1})$ ёсць кошт карацейшага шляху з s у v_{k-1} . Так як па (1.11) $d(v) \leq d(v_{k-1}) + c(v_{k-1}, v)$, а $d(v_{k-1}) + c(v_{k-1}, v)$ ёсць кошт карацейшага шляху з s у v , то $d(v)$ — таксама кошт карацейшага шляху з s у v . □

Вынік 1.1 Арграф $G(V, E)$ не мае цыклаў адмоўнага кошту тады і толькі тады, калі існуе функцыя $d : V \rightarrow \mathbb{R}$, якая задавальняе ўмове (1.11).

Доказ. **Дастатковасць** умовы (1.11) сцвярджаецца ў леме 1.2. Дакажам **неабходнасць**. Пабудуем дапаможны арграф $G_{aux} = (V_{aux}, E_{aux}) = (V \cup \{s\}, E \cup (\{s\} \times V))$, дадаючы да графа G новую вяршыню s і мноства дуг, якія выходзяць з s ва ўсе астатнія вяршыні. Кошты новых дуг азначым роўнымі нулю. Відавочна, калі G не мае цыклаў адмоўнага кошту, то іх няма і ў G_{aux} . Таму па тэарэме 1.2 граф G_{aux} мае дрэва карацейшых шляхоў і яго функцыя адлегласцей d задавальняе ўмове (1.11). \square

1.3 Алгарытм пабудовы дрэва карацейшых шляхоў

Ідэя ўсіх алгарытмаў пошука карацейшых шляхоў у графах адноўкавая. Усе яны пачынаюць з нейкай функцыі $d : V \rightarrow \mathbb{R}$, такой, што $d(s) = 0$ і $d(v) \geq \sigma(s, v)$ для ўсіх $v \in V$. Затым ітэратыўна паўтараеца наступныя крок:

выбраць дугу (v, w) адмоўнага прыведзенага кошту $c_d(v, w) < 0$
і замяніць $d(w)$ на $d(v) + c(v, w)$.

Гэта ёсьць *метад паслядоўнай апраксімациі*. Калі ў графе няма цыклаў адмоўнага кошту, то ў выпадку, калі кошты дуг цэлалікавыя, пасля концай колькасці ітэрацый метад спрыніяеца. Пры гэтым $d(v) = \sigma(s, v)$ для ўсіх $v \in V$. Пасля гэтага карацейшы шлях ад s да дадзенай вяршыні v можна знайсці працэдурай *find_path*, якая прыведзена на мал. 1.1.

```
find_path(G, d, s, v, path) // d(v) ≠ ∞
{
    for ( ; v ≠ s; v := x) {
        v → path;
        (x, v) ∈ arg{d(w) + c(w, v) = d(v) : (w, v) ∈ E(V, v)};
    }
}
```

Малюнак 1.1: Працэдура *find_path*

1.3.1 Алгарытм Форда-Бэлмана

Эфектыўнасць метада паслядоўнай апраксімациі істотна залежыць ад падрядку выбара дуг адмоўнага прыведзенага кошту. У гэты параграфе мы будзем разглядаць алгарытм, які праланаваны незалежна Фордам і Бэлманам. Працэдура *shortest_path*, якая рэалізуе гэты алгарытм, прадстаўлена

на мал. 1.2. Калі працэдура вяртае значэнне **true**, то ўказальнікі *parent* задаюць дрэва карацейшых шляхоў, а функцыя d ёсць яго функцыя адлегласцей. Калі ж працэдура вяртае значэнне **false**, то любы цыкл падграфа (V, \bar{E}) , дзе

$$\bar{E} \stackrel{\text{def}}{=} \{(parent(v), v) : v \in V, parent(v) \neq \text{nil}\},$$

з'яўляецца цыклам адмоўнага кошту ў графе G . Каб гарантаваць, што ўсе вяршыні графа G дасягаюцца з s , калі $(s, v) \notin E$, мы дабаўляем (умоўна) гэтую дугу да G і прыпісваем ёй кошт ∞ . Калі пасля завяршэння алгарытма $d(v) = \infty$, то у графе G вяршыня v недасягаецца з s .

Абазначым праз $\sigma^i(s, v)$ кошт карацейшага шляху з s у v сярод усіх шляхоў, якія маюць роўна i дуг. Калі такога шляху не існуе, то $\sigma^i(s, v) = \infty$. Няхай $d^i(v)$, S^i — адпаведна $d(v)$ і спіс S пасля ітэрацыі i . Этап ініцыялізацыі называе 0-й ітэрацыяй.

```

shortest_path(G, c, s, parent, d, S)
{
    for (v ∈ V \ s) { d(v) := ∞; parent(v) := nil; }
    d(s) := 0; S := {s};
    for (i := 1; i ≤ n; i := i + 1) { // галоўны цыкл
        Q := ∅; dw := d;
        for ((v, w) ∈ E(S, V))
            if (d(w) > dw(v) + c(v, w)) {
                d(w) := dw(v) + c(v, w);
                parent(w) := v; Q ← w;
            }
        if ((S := Q) = ∅) return true;
    }
    return false;
}

```

Малюнак 1.2: Алгарытм Форда-Бэлмана пошука карацейшых шляхоў

Лема 1.3 Виконваюцца наступныя роўнасці

- a) $d^i(v) = \min_{0 \leq k \leq i} \sigma^k(s, v)$ для ўсіх $v \in V$,
- b) $d^i(v) = \sigma^i(s, v) < \sigma^{i-1}(s, v)$ для ўсіх $v \in S^i$,

Доказ. Відавочна, што сцвярджэнне лемы справядліва пасля 0-й ітэрацыі. Дапусцім, што пасля заканчэння $(i-1)$ -й (перед пачаткам i -й) ітэрацыі алгарытма

$$\begin{aligned} d^{i-1}(v) &= \min_{0 \leq k \leq i-1} \sigma^k(s, v) \quad \text{для ўсіх } v \in V, \\ d^{i-1}(v) &= \sigma^{i-1}(s, v) \quad \text{для ўсіх } v \in S^{i-1}. \end{aligned}$$

Няхай $w \in V$ і $s = v_0, v_1, \dots, v_{i-1}, v_i = w$ ёсць шлях кошту $\sigma^i(s, w)$ у графе G . Тады па дапушчэнню $d^{i-1}(v_{i-1}) = \sigma^{i-1}(v_{i-1})$. Таму $v_{i-1} \in S^{i-1}$ і, калі $d^{i-1}(w) > d^{i-1}(v_{i-1}) + c(v_{i-1}, w) = \sigma^i(s, w)$, то пасля i -й ітэрацыі $d^i(w) = \sigma^i(s, w)$, а w будзе ўлуччана ў S_i . \square

Лема 1.4 *Калі пасля завяршэння працэдуры `shortest_path` $S = \emptyset$, то функцыя адлегласцей d задавальняе ўмове (1.11).*

Доказ. Заўважым, што $d^i(v) \geq d^{i+1}(v)$ для ўсіх $v \in V$. Няхай $(v, w) \in E$. Так як $S = \emptyset$, то $d(v) = d^i(v)$ для нейкага $1 \leq i \leq n - 1$. Таму

$$d(w) \leq d^{i+1}(w) \leq d^i(v) + c(v, w) = d(v) + c(v, w).$$

 \square

Лема 1.5 *Граф G мае цыкл адмоўнага кошту тады і толькі тады, калі пасля завяршэння працэдуры `shortest_path` мнства S не пустое.*

Доказ. Калі $S = \emptyset$, то па тэареме 1.2 і леме 1.4 граф G не мае цыклаў адмоўнага кошту. Калі $S \neq \emptyset$, то па леме 1.3 для $v \in S$

$$d^n(v) = \sigma^n(s, v) < \sigma^i(s, v) \quad \text{для ўсіх } 0 \leq i < n.$$

Відавочна, што кожны шлях з s у v даўжыні n і кошту $\sigma^n(s, v)$ абыходзіць цыкл адмоўнага кошту. \square

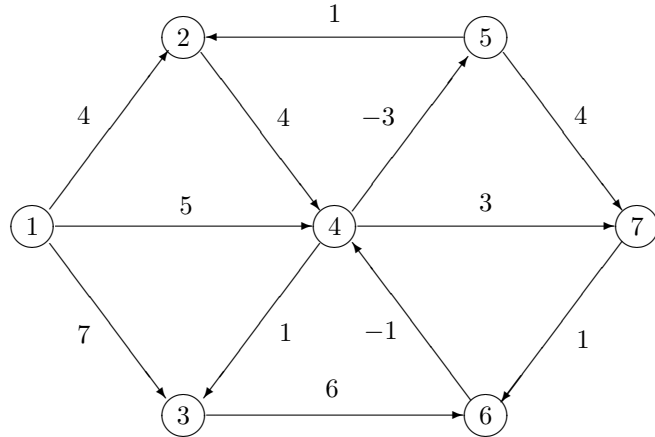
Тэарэма 1.3 *За час $O(nm)$ працэдура `shortest_path` або будзе дрэва карацейшых шляхоў, або знаходзіць цыкл адмоўнага кошту.*

Доказ. Карэктнасць алгарытма вынікае з лем 1.4 і 1.5. Так як складанасць адной ітэрацыі працэдуры `shortest_path` не пераўзыходзіць $O(m)$, колькасць ітэрацый не больш за n , складанасць працэдуры `find_cycle` — $O(n)$, то агульная складанасць працэдуры `shortest_path` ёсць $O(nm)$. \square

Прыклад 1.1 *У графе, які прадстаўлены на мал. 1.3, знайсці карацейшыя шляхі ад вяршины 1 да ўсіх астатніх вяршины.*

Праца алгарытма па ітэрацыях прадстаўлена ў табл. 1.1. Этап ініцыялізацыі ёсць ітэрацыя 0. Функцыя dw — гэта функцыя d на папярэдній ітэрацыі, а мнства Q — гэта мнства S на наступнай ітэрацыі. Дрэва карацейшых шляхоў задаецца функцыяй $parent$ на апошній 5-й ітэрацыі. Яно таксама прадстаўлена на мал. 1.4. \square

Задача 1.1 *Пры апісанні алгарытма Форда-Бэлмана мы ўвялі функцыю dw толькі для таго, каб атрымаць судносіны а) і б) з лемы 1.3. Зразумела, што складанасць алгарытма не пагоршыцца, калі замест dw выкарыстоўваць функцыю d . Наадварот, у сярэднім алгарытм будзе працаваць хутчэй.*



Малюнак 1.3: Граф да прыкладу 1.1

Табліца 1.1:

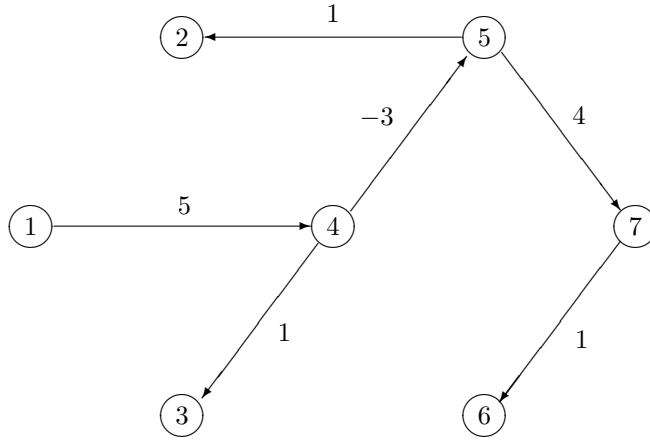
Іт.	S	d	$parent$
0	{1}	(0, ∞ , ∞ , ∞ , ∞ , ∞ , ∞)	(nil, nil, nil, nil, nil, nil, nil)
1	{2, 3, 4}	(0, 4, 7, 5, ∞ , ∞ , ∞)	(nil, 1, 1, 1, nil, nil, nil)
2	{3, 5, 6, 7}	(0, 4, 6, 5, 2, 13, 8)	(nil, 1, 4, 1, 4, 3, 4)
3	{2, 6, 7}	(0, 3, 6, 5, 2, 9, 6)	(nil, 5, 4, 1, 4, 7, 5)
4	{6}	(0, 3, 6, 5, 2, 7, 6)	(nil, 5, 4, 1, 4, 7, 5)
5	\emptyset	(0, 3, 6, 5, 2, 7, 6)	(nil, 5, 4, 1, 4, 7, 5)

1.3.2 Алгарытм Дэйкстры

Існуе шэраг сітуаций, у якіх задача пошуку карацейшых шляхоў рашаецца асабліва проста. Адна з такіх сітуаций, калі кошты ўсіх дуг неадмоўныя. У гэтым выпадку для пабудовы дрэва карацейшых шляхоў існуе больш эфектыўны алгарытм Дэйкстры, які прыведзены на мал. 1.5. На кожнай стадыі алгарытм падзяляе мноства вяршынь V на два падмносты: S і $V \setminus S$. Калі вяршыня v належыць S , то карацейшы шлях да яе ўжо знайдзены і роўны $d(v)$. На чарговай ітэрацыі алгарытм выбірае вяршыню $w \in V \setminus S$ з мінімальнай "меткай" $d(w)$, дадае яе да S і для ўсіх дуг $(w, v) \in E(w, V \setminus S)$ пералічвае меткі канцавых вяршынь па правілу:

$$d(v) = \min\{d(v), d(w) + c(w, v)\}.$$

Лема 1.6 Алгарытм Дэйкстры падтрымлівае наступныя інварыянты:



Малюнак 1.4: Дрэва карацейшых шляхоў да прыкладу 1.1

- a) $d(v) \leq d(w)$ для ўсіх $v \in S$, $w \in V \setminus S$;
- b) $d(v) + c(v, w) \geq d(w)$ для ўсіх $(v, w) \in E(V, S)$.

Доказ. Індукцыяй па $|S|$. Дэталі пакідаем чытачу. \square

Тэарэма 1.4 *Калі кошты ўсіх дуг неадмоўныя, то за час $O(n^2)$ алгарытм
Дэйкстры будзе дрэва карацейшых шляхоў.*

Доказ. Карэктнасць алгарытма вынікае з лемы 1.6. Ацэнім складанасць алгарытма. На этапе ініцыялізацыі патрабуеца $O(n)$ аперацый. Складанасць адной ітэрацыі $O(n)$. А так як колькасць ўсіх ітэрацый роўна $n - 1$, то складанасць усяго алгарытма $O(n^2)$. \square

Прыклад 1.2 У графе, прадстаўленым на мал. 1.6, трэба знайсці карацейшыя шляхи ад вяршины 1 да ўсіх астатніх вяршинаў

Праца алгарытма па ітэрацыях прадстаўлена ў табл. ??, а дрэва карацейшых шляхоў адлюстравана на мал. 1.7. \square

1.4 Карацейшыя шляхі з абмежаваннем на час праездзу

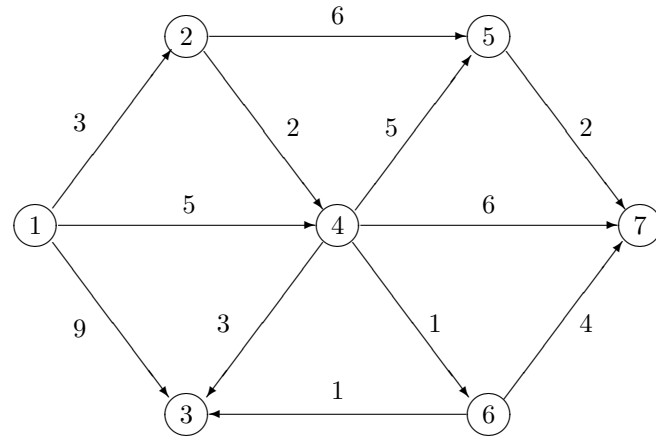
Няхай $V = (V, E)$ — арыентаваны граф, кожнай дуге (v, w) якога прыпісаны два лікі: *кошт праездзу* $c(v, w)$ і *час праездзу* $t(v, w) \geq 0$. Нам трэба знайсці

```

nonnegative_cost_shortest_path(G, c, s, parent, d)
{
    for ( $v \in V$ ) { $d(v) := \infty$ ;  $parent(v) := \text{nil}$ ;}
     $d(s) := 0$ ;  $S := \emptyset$ ;
    for ( $|\mathcal{S}| < n - 1$ ) { // галоўны цыкл
         $w \in \arg \min\{d(v) : v \notin S\}$ ;
         $S := S \cup \{w\}$ ;
        for  $((w, v) \in E(w, V \setminus S))$ 
            if  $(d(v) > d(w) + c(w, v))$  {
                 $d(v) := d(w) + c(w, v)$ ;  $parent(v) := w$ ;
            }
    }
}

```

Малюнак 1.5: Алгарытм Дэйкстры



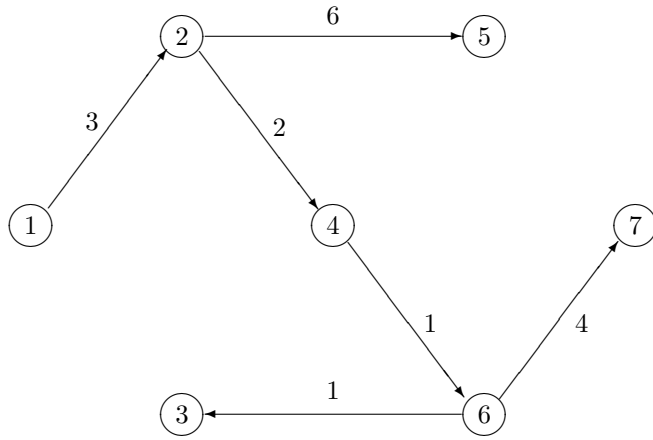
Малюнак 1.6: Граф да прыкладу 1.2

шляхі мінімальнага кошту ад вяршыні $s \in V$ да ўсіх вяршынь $v \in V$, пры ўмове што час праезду па іх не пераўзыходзіць T адзінак часу. Як прыклад прымінення такой задачы разгледзім сітуацыю, калі кампанія па дастаўцы пошты хоча мінімізаваць транспартныя выдаткі і таксама гарантаваць, што пошта будзе дастаўляцца не пазней чым праз T адзінак часу.

Абазначым праз $d_t(v)$ кошт карацейшага шляху з s у v сярод шляхоў, якія патрабуюць не больш чым t адзінак часу. Нязяжка ўстанавіць наступ-

Табліца 1.2:

Іт.	w	S	d	$parent$
1	1	{1}	(0, 3, 9, 5, ∞ , ∞ , ∞)	(nil, 1, 1, 1, nil, nil, nil)
2	2	{1, 2}	(0, 3, 9, 5, 9, ∞ , ∞)	(nil, 1, 1, 1, 2, nil, nil)
3	4	{1, 2, 4}	(0, 3, 8, 5, 9, 6, 11)	(nil, 1, 4, 1, 2, 4, 4)
4	6	{1, 2, 4, 6}	(0, 3, 7, 5, 9, 6, 10)	(nil, 1, 6, 1, 2, 4, 6)
5	3	{1, 2, 4, 6, 3}	(0, 3, 7, 5, 9, 6, 10)	(nil, 1, 6, 1, 2, 4, 6)
6	5	{1, 2, 4, 6, 3, 5}	(0, 3, 7, 5, 9, 6, 10)	(nil, 1, 6, 1, 2, 4, 6)



Малюнак 1.7: Дрэва карацейшых шляхоў да прыкладу 1.2

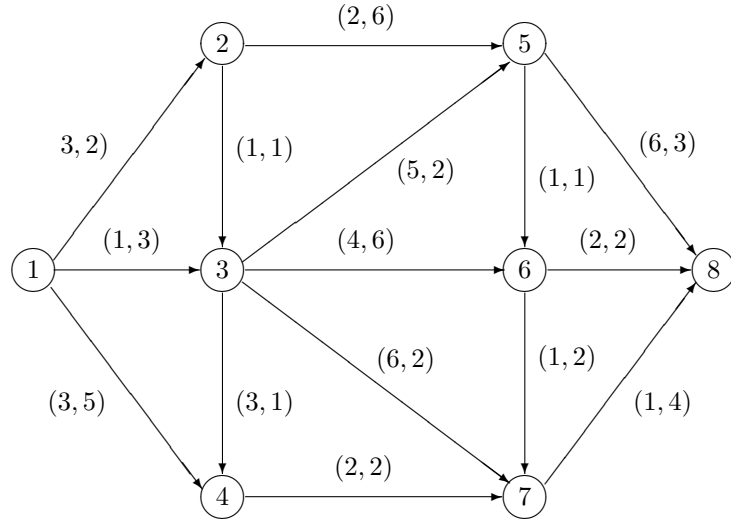
ныя рэкурэнтныя ўраўненні:

$$\begin{aligned}
 d_0(s) &= 0, \\
 d_0(v) &= \infty, \quad v \in V \setminus \{s\}, \\
 d_t(v) &= \min\{d_{t-1}(v), \min_{\substack{(w,v) \in E \\ t \geq t(w,v)}} d_{t-t(w,v)}(w) + c(w, v)\}.
 \end{aligned} \tag{1.12}$$

Ураўненні (1.12) можна разглядаць як абагульненне ўраўнення Бэлмана (1.10). Нязякка пераканацца, што для падліку ўсіх значэнняў $d_t(v)$ ($t = 0, \dots, T; v \in V$) патрэбна выкананы $O(n^2T)$ арыфметычных аперацыі.

Прыклад 1.3 Вырашиць задачу пошука карацейшых шляхоў ад вяршыні $s = 1$ з абмежаваннем на час праезду $T = 10$ для графа, які прадстаўлены на мал. 1.8.

Велічыні $d_t(v)$ прадстаўлены ў табл. 1.3.



Малюнак 1.8: Граф да прыкладу 1.3

Табліца 1.3:

t	0	1	2	3	4	5	6	7	8	9	10
$d_t(1)$	0	0	0	0	0	0	0	0	0	0	0
$d_t(2)$	∞	∞	3	3	3	3	3	3	3	3	3
$d_t(3)$	∞	∞	∞	1	1	1	1	1	1	1	1
$d_t(4)$	∞	∞	∞	∞	4	3	3	3	3	3	3
$d_t(5)$	∞	∞	∞	∞	∞	6	6	6	5	5	5
$d_t(6)$	∞	∞	∞	∞	∞	∞	7	7	7	5	5
$d_t(7)$	∞	∞	∞	∞	∞	7	6	5	5	5	5
$d_t(8)$	∞	9	8	7							

Адваротным ходам знайдзем аптымальны шлях ад вяршыні 1 да вяршыні 8.

$$\begin{aligned}
 d_{10}(8) &= \min\{d_9(8), d_7(5) + c(5, 8), d_8(6) + c(6, 8), d_6(7) + c(7, 8)\} \\
 &= \min\{8, 12, 9, 7\} = 7.
 \end{aligned}$$

Таму ў вяршыню 8 трэба ісці з вяршыні 7. Вылічваем

$$\begin{aligned}
 d_6(7) &= \min\{d_5(7), d_4(3) + c(3, 7), d_4(4) + c(4, 7), d_4(6) + c(6, 7)\} \\
 &= \min\{7, 7, 6, \infty\} = 7
 \end{aligned}$$

і заключаем, што ў вяршыню 7 трэба ісці з вяршыні 4. Так як

$$\begin{aligned} d_4(4) &= \min\{d_3(4), d_3(3) + c(3, 4)\} \\ &= \min\{\infty, 4\} = 4, \end{aligned}$$

то ў вяршыню 4 трэба ісці з вяршыні 3. Паколькі

$$\begin{aligned} d_3(3) &= \min\{d_2(3), d_0(1) + c(1, 3), d_2(2) + c(2, 3)\} \\ &= \min\{\infty, 3, 4\} = 3, \end{aligned}$$

то ў вяршыню 3 трэба ісці з вяршыні 1. Таму $(1, 3, 4, 7, 8)$ — аптымальны шлях з вяршыні 1 у вяршыню 8. \square

1.5 Карацейшыя шляхі паміж усімі парамі вяршынь

Дадзен граф $G = (V, E)$ і функцыя $c : E \rightarrow \mathbb{R}$ коштаў яго дуг. Трэба знайсці карацейшыя шляхі паміж усімі парамі вяршынь $v, w \in V$ графа G . Зразумела, што гэтую задачу можна вырашыць, калі знайсці карацейшыя шляхі ад кожнай вяршыні $s \in V$ з дапамогай алгарытма Форда-Бэлмана, выкананы ў суне $O(n^2m)$ арыфметычных аперацый. Для прадстаўлення адказа спатрэбіцца $O(n^2)$ ячэек памяці для захоўвання n функцый *parent*. Ніжэй мы прыводзім крыху больш эффектыўны варыянт такога падыходу да рашэння задачы.

1. Способам, указаным у доказе выніка 1.1, алгарытмам Форда-Бэлмана знаходзім функцыю цэн p , такую, што $c_p(v, w) \geq 0$ для ўсіх $(v, w) \in E$, ці даказваем, што такой функцыі не існуе. У апошнім выпадку граф G мае цыкл адмоўнага кошту і таму задача не мае рашэння. Інакш пераходзім да кроку 2.
2. У графе G з функцыяй кошту c_p для кожнай вяршыні $s \in V$ алгарытмам Дэйкстры будуем дрэва карацейшых шляхоў (функцыю *parent*) ад s да ўсіх астатніх вяршынь.

Карэктнасць замены функцыі кошту c функцыяй прыведзеных коштаў c_p на кроку 2 вынікае з лемы 1.2. Складанасць алгарытма $O(n^3)$ ($O(nm)$ на кроку 1 і $O(n^3)$ на кроку 2).

На практыцы разгледжаны намі вышэй алгарытм прымяняюць, калі трэба знайсці карацейшыя шляхі паміж некалькімі (але не паміж усімі) парамі вяршынь графа. У тых выпадках, калі патрэбна ведаць карацейшыя шляхі паміж усімі парамі вяршынь, прымяняюць, выдатны па сваёй прастаце алгарытм *Флойда-Ўоршэла*. Алгарытм працуе з матрыцай $[d_{ij}]$ памеру $n \times n$, элементы якой спачатку роўны коштам дуг графа G , г. зн. $d_{vw} = c(v, w)$, калі $(v, w) \in E$, і $d_{vw} = \infty$, калі $(v, w) \notin E$. Ядром алгарытма з'яўляецца

```

 $all\_pairs\_shortest\_paths(n, d, \theta)$ 
{
    for ( $i := 1; i \leq n; i := i + 1$ ) for ( $j := 1; j \leq n; j := j + 1$ )  $\theta_{i,j} := 0$ ;
    for ( $k := 1; k \leq n; k := k + 1$ )
        for ( $i := 1; i \leq n; i := i + 1$ ) if ( $i \neq k$ )
            for ( $j := 1; j \leq n; j := j + 1$ ) if ( $j \neq k$ )
                if ( $d_{ij} > d_{ik} + d_{kj}$ ) {
                     $d_{ij} := d_{ik} + d_{kj}; \theta_{ij} := k$ ;
                    if ( $i = j$  and  $d_{ii} < 0$ )
                        return; // выяўлен цыкл адмоўнага кошту
                }
        }
}

 $find\_path(i, j)$ 
{
    if ( $\theta_{ij} = 0$ ) return ( $i, j$ );
    else return  $find\_path(i, \theta_{ij}) \& find\_path(\theta_{ij}, j)$ ;
}

```

Малюнак 1.9: Алгарытм Флойда-Ўоршэла

аперацыя трохвугольніка, якая для фіксаванага k ($1 \leq k \leq n$) пералічвае матрыцу $[d_{ij}]$ па правілу:

$$d_{ij} := \min\{d_{ij}, d_{ik} + d_{kj}\} \quad \text{для ўсіх } i, j = 1, \dots, n; i, j \neq k.$$

Для прадстаўлення карацейшых шляхоў выкарыстоўваецца матрыца $[\theta_{ij}]_{n \times n}$, дзе θ_{ij} ёсьць максімальны нумар прамежкавай вяршыні, якая ляжыць на шляху з i у j . Спачатку $\theta_{ij} = 0$ для ўсіх $i, j = 1, \dots, n$. Працэдура $all_shortest_path$, якая рэалізуе алгарытм Флойда-Ўоршэла, прыведзена на мал. 1.9. Там жа прыведзена працэдура $find_path$, якая для дзвюх дадзеных вяршынь i і j вяртае карацейшы шлях з i у j .

Вывучыўшы выкладзены вышэй матэрыял, вы ў стане самастойна даказаць наступную тэарэму.

Тэарэма 1.5 За час $O(n^3)$ алгарытм Флойда-Ўоршэла або будзе матрыцу $[d_{ij}]$ карацейшых шляхоў паміж усімі парамі вяршынъ, або знаходзіць цыкл адмоўнага кошту.

1.6 Карацейшыя шляхі ў ацыклічным арграфе

У гэтым пункце мы будзем разглядаць задачу пошуку карацейшых шляхоў у ацыклічным арграфе. Кошты дуг могуць быць адвольныя: як дадатныя, так і адмоўныя. Па тэарэме 1.2 гэтая задача мае рашэнне. Калі граф

G не мае арыентаваных цыклаў, то з дапамогай працэдуры *topsort* можна правесці яго тапалагічную сартыроўку, г.зн., знайсці такую нумарацыю $label : V \rightarrow \{1, \dots, n\}$ яго вяршины, пры якой для кожнай дугі $(v, w) \in E$ выконваецца $label(v) < label(w)$. Працэдура *acyclic_shortest_path*, якая для кожнай вяршины v вылічвае кошт $d(v)$ карацейшага шляху ад s да v , прадстаўлена на мал. 1.10. Карэктнасць рэкурэнтнай формулы

$$d(v) := \min\{d(tail(e)) + c(e) : e \in in_edge(v)\}, \quad (1.13)$$

выкарыстанай ў алгарытме, вельмі проста даказваецца па індукцыі. А так як алгарытм разглядае кожную дугу графа роўна адзін раз, то справядліва

Тэарэма 1.6 *Працэдура *acyclic_shortest_path* знаходзіць кошты карацейших шляхоў ад вяршины s да ўсіх астатніх вяршины за час $O(\max\{n, m\})$.*

```

acyclic_shortest_path(V, c, label, in_edge, d)
{
    d(s) := 0;
    for ( $i = 2$ ;  $i <= n$ ;  $++ i$ ) {
         $v := label^{-1}(i);$ 
         $d(v) := \min\{d(tail(e)) + c(e) : e \in in\_edge(v)\};$ 
    }
}

```

Малюнак 1.10: Працэдура пошуку карацейшых шляхоў ў ацыклічным графе

Нагадаем, што граф $G = (V, E)$ называецца *k-долевым*, калі мноства яго вяршины ёсьць аб'яднанне неперасякальных мностваў V_1, \dots, V_k і для кожнай дугі $(v, w) \in E$ існуе i ($1 \leq i \leq k - 1$), такое, што $v \in V_i, w \in V_{i+1}$. Няхай $E_i = E \cap (V_i \times V_{i+1})$.

Зразумела, што *k*-долевы граф з'яўляецца ацыклічным, прычым усякая нумарызацыя яго вяршины, пры якой вяршины з долі i мае меньшы нумар, чым усякая вяршина долі $i + 1$, з'яўляецца тапалагічнай сартыроўкай. Будзем лічыць, што $s \in E$. Тады працэдуру *acyclic_shortest_path* можна запісаць у выглядзе, які прадстаўлены на мал. 1.11.

1.7 Сеткавае планаванне

Кіраванне буйнымі праектамі звязана з вырашэннем складаных праблем планавання, вызначэння тэрмінаў пачатку і заканчэння асобных работ, кантролю за выкананнем гэтых тэрмінаў. Усё гэта ўскладняецца тым, што работы павінны выконвацца ў дадзенай тэхналагічнай паслядоўнасці.

```

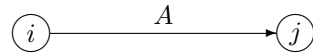
 $k\_fold\_shortest\_path(V, E, c, k, d)$ 
{
     $d(s) := 0;$ 
    for ( $v \in V_1 \setminus s$ )
         $d(v) := \infty;$ 
    for ( $i = 2; i <= k; ++i$ )
        for ( $v \in V_i$ )
             $d(v) := \min\{d(w) + c(w, v) : (w, v) \in E\};$ 
}

```

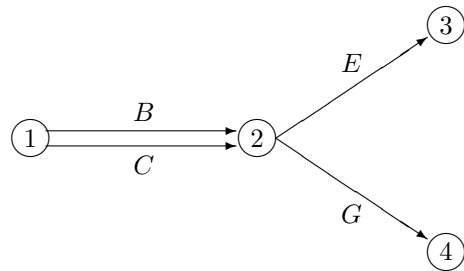
Малюнак 1.11: Працэдура пошуку карацейшых шляхоў ў k -долевым графе

1.7.1 Сеткавая мадэль праекта — сеткавы графік

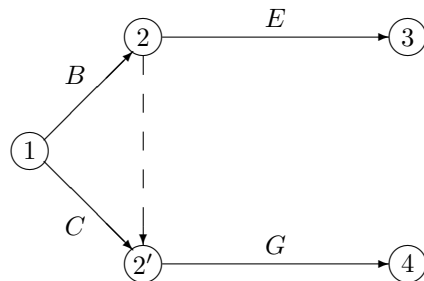
Сеткавы графік ёсьць арграф $G = (V, E)$, дугі якога адпавядаюць работам, а сам граф адлюстроўвае сувязі паміж усімі заданнямі, неабходнымі для заканчэння праекту. Дугі графа з'яўляюцца *работамі*, а вяршины — падзеямі. *Падзяя* — момент часу, калі можна пачаць выкананне новых работ. Для кожнай работы (дугі) (i, j) вядома яе працягласць, г. зн. час, які патрэбны на яе выкананне. Напрамак дугі вызначаецца *суадносінамі папярэднічання*. На адрезку сеткі



i -я падзяя павінна адбыцца да пачатку работы A , а j -я падзяя не можа адбыцца да заканчэння работы A . Часам дачыненні папярэднічання паміж работамі нельга дакладна адлюстраваць з дапамогай сеткі. Напрыклад, калі работа G выконваецца за работамі B і C , а работа E — за работай B , але не за C .



Прыведзенae адлюстраванне папярэднічання работ памылковае, бо з яго вынікае, што работа E ідзе і за работай C , а гэтага не патрабавалася ў зыходных ўмовах. Для правільнага прадстаўлення, трэбна ўвесці *фіктыўную* работу працягласці 0. Фіктыўныя работы будзем маляваць пунктырам.



Прыклад 1.4 Пры зборцы нейкага варштата вузлы 1 і 2 аб'ядноўваюцца ў вузел 4, а спалучэнне вузлоў 3 і 4 дае гатовы выраб. Так як неабходна ўзгадніць нейкія дэталі вузла 3 з адпаведнымі дэталямі вузла 2, то вузел 3 немагчыма сабраць раней, чым будуць ў наядунасці дэталі вузла 2. Асноўныя работы прыведзены ў табл. 1.4.

Табліца 1.4: Спіс работ да прыкладу 1.4

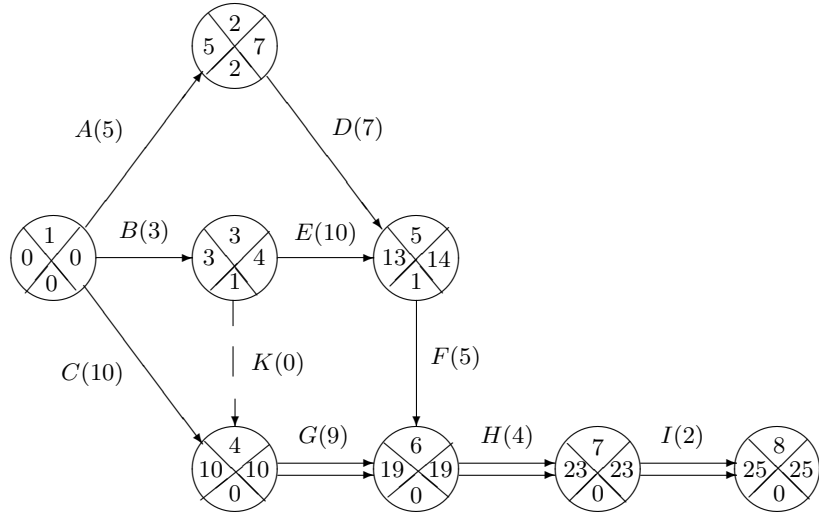
Абазн.	Работа	Прац. (сут.)	Непаср. папяр.
	Апісанне		
A	Набыццё дэталяў вузла 1	5	—
B	Набыццё дэталяў вузла 2	3	—
C	Набыццё дэталяў вузла 3	10	—
D	Выраб вузла 1	7	A
E	Выраб вузла 2	10	B
F	Выраб вузла 4	5	D, E
G	Выраб вузла 3	9	B, C
H	Канчатковая зборка	4	F, G
I	Выпрабаванні	2	H

Сеткавы графік працэсу вырабу варштата прадстаўлены на мал. 1.12.

□

Сеткавы графік праекта задавальняе наступным умовам.

- Маецца адна пачатковая падзея (вяршыня, у якую не ўваходзіць ніводнае дугі) і адна **заключальная** падзея (вяршыня, з якой не выходзіць ніводная дуга).
- У графіку няма цыклаў. Таму падзеі можна занумараўваць такім чынам, што кожная дуга (работа) пачынаецца ў вяршыні з меншым нумарам і заканчваецца ў вяршыні з большым нумарам. У далейшым будзем лічыць, што $V = \{1, \dots, n\}$ і, калі $(i, j) \in E$, то $i < j$.



Малюнак 1.12: Сеткавы графік працэсу вырабу варштата

Нумарацыю вяршынь можна выканаць, напрыклад, такім чынам: знаходзім вяршыню, ў якую не ўваходзіць ніводная дуга і прыпісваем ёй нумар 1. Мысленна выдаляем гэтую вяршыню і інцыдэнтныя ёй дугі з графіка. У застаўшымся падграфе зноў знаходзім вяршыню, ў якую не ўваходзіць ніводная дуга і прыпісваем ёй нумар 2. Працэс паўтараем, пакуль усе вяршыні не атрымаюць нумары. Такая нумарацыя вяршынь ацыклічнага графа называецца *тапалагічнай сартыроўкай*.

1.7.2 Метад крытычнага шляху

Адной з галоўных мэт сеткавага планавання з'яўляецца атрыманне інфармацыі аб планавых тэрмінах выканання асобных работ.

Раннія і познія тэрміны надыходу падзеі

Ранні тэрмін T_j^E *надыходу падзеі* j ёсць ранні тэрмін заканчэння ўсіх работ, якія ляжаць на шляху з першай падзеі ў j -ю падзею. Такім чынам, T_j^E ёсць кошт максімальнага шляху з вяршыні 1 у вяршыню j , калі за кошт дугі ўзяць працягласць выканання работ. Параметры T_j^E можна вылічыць па наступнай рэкурэнтнай формуле:

$$\begin{aligned} T_1^E &= 0, \\ T_j^E &= \max_{(i,j) \in E} \{T_i^E + t_{ij}\}, \quad j = 2, \dots, n. \end{aligned}$$

У сеткавым графіку на мал. 1.12 раннія тэрміны надыходу падзеі прадстаўлены ў левых сектарах.

Ранні тэрмін надыходу заключнай падзеі n роўны ранняму тэрміну выканання ўсяго праекта. Такім чынам, ранні тэрмін заканчэння ўсяго праекта роўны даўжыні максімальнага шляху з пачатковай падзеі да заключнай падзеі. Гэты шлях называецца *крытычны шляхам*, а яго даўжыня — *крытычным часам*, якую абазначаем T^{kr} . На мал. 1.12 дугі крытычнага шляху намаляваны дзвумя стрэлкамі.

Позні тэрмін T_j^L надыходу падзеі j — гэта найбольш позні тэрмін надыходу падзеі j , які не ўплывае на ранні тэрмін заканчэння ўсяго праекта ў цэлым (крытычны час). Каб не парушыць ранняга тэрміну завяршэння праекта, j -я падзея павінна надысці ў момант

$$T_j^L = T^{kr} - L_{jn},$$

дзе L_{jn} — кошт максімальнага шляху з j у n . Мы можам вылічыць параметры T_j^L па наступнай рэкурэнтнай формуле:

$$\begin{aligned} T_n^L &= T^{kr}, \\ T_j^L &= \min_{(j,i) \in E} \{T_i^E - t_{ij}\}, \quad j = n-1, \dots, 1. \end{aligned}$$

У сеткавым графіку на мал. 1.12 познія тэрміны надыходу падзеі прадстаўлены ў правых сектарах.

Рэзерв часу R_j падзеі j — гэта максімальны час, на які можа быць затрыманы надыход падзеі без павелічэння ранняга тэрміну заканчэння праекта, г.зн.,

$$R_j = T_j^L - T_j^E.$$

Падзея з нулявым рэзервам часу знаходзіцца на крытычным шляху. Затрымка надыходу любой падзеі на крытычным шляху прыводзіць да затрымкі ўсяго праекта. Наадварот, падзеі, якія не ляжаць на крытычным шляху, могуць быць затрыманы на час, меншы або роўны R_j , і гэта не прывядзе да павелічэння тэрміну заканчэння ўсяго праекта. На мал. 1.12 рэзервы часу падзеі прадстаўлены ў ніжніх сектарах.

Раннія і познія тэрміны пачатку і заканчэння работ

1. *Ранні тэрмін $T_B^E(i, j)$ пачатку работы (i, j)* роўны ранняму тэрміну T_i^E надыходу падзеі i , паколькі работа (i, j) не можа быць распачата, пакуль не надыдзе падзея i .
2. *Позні тэрмін $T_F^L(i, j)$ заканчэння работы (i, j)* — гэта найпазнейшы тэрмін заканчэння работы (i, j) без затрымкі тэрміну заканчэння праекта: $T_B^E(i, j) = T_j^L$.
3. *Ранні тэрмін $T_F^E(i, j)$ заканчэння работы (i, j)* вызначаецца формулай $T_F^E(i, j) = T_j^E + t_{ij}$.

3. Позні тэрмін $T_B^L(i, j)$ пачатку работы (i, j) вызначаецца формулай $T_B^L(i, j) = T_j^L - t_{ij}$.

Чатыры паказчыкі рэзерву часу работы

Гэтая паказчыкі могуць быць выкарыстаны кіраўніком праекта пры размеркаванні рэурсаў (напрыклад, працоўных) для выканання асобных работ праекта, бо працягласць работы залежыць ад колькасці выдзеленых рэурсаў.

1. Сумарны рэзерв $R^{Sum}(i, j)$ часу работы (i, j) — гэта максімальная затрымка работы (i, j) без затрымкі тэрміну ажыццяўлення ўсяго праекта:

$$R^{Sum}(i, j) = T_j^L - T_i^E - t_{ij}.$$

Для работ на крытычным шляху $R^{Sum} = 0$. Калі работа (i, j) цалкам выкарыстоўвае сумарны рэзерв, то ў з'яўліцца новы крытычны шлях, які праходзіць праз дугу (i, j) .

2. Свабодны рэзерв $R^{Free}(i, j)$ часу работы (i, j) — гэта максімальная затрымка работы (i, j) , якая не ўпłyвае на пачатак наступных работ, г. зн., што наступныя работы могуць пачынацца ў свае раннія тэрміны:

$$R^{Free}(i, j) = T_j^E - T_i^E - t_{ij}.$$

3. Гарантаваны рэзерв $R^{Gar}(i, j)$ часу работы (i, j) — гэта максімальная магчымая затрымка работы (i, j) , якая не ўпłyвае на тэрмін заканчэння ўсяго праекта пры ўмове, што папярэдняя работы выконваліся са спазненнем, г.зн., заканчваліся ў свае познія тэрміны.

$$R^{Gar}(i, j) = T_j^L - (T_i^L + c_{ij})$$

4. Незалежны рэзерв $R^{Ind}(i, j)$ часу работы (i, j) — гэта такая затрымка работы (i, j) , якая не ўпłyвае на пачатак наступных работ, пры ўмове, што ўсе папярэдняя работы скончыліся ў свае познія тэрміны:

$$R^{Ind}(i, j) = \max\{0, T_j^E - T_i^L - t_{ij}\}$$

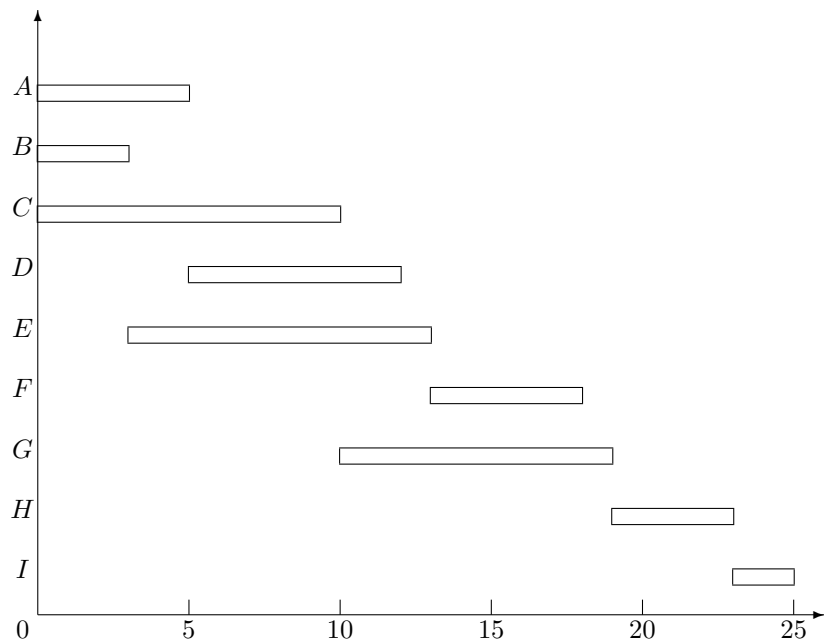
Працяг прыкладу 1.4. Вынікі працы метада крытычнага шляху прадстаўлены ў табл. 1.5. У апошнім слупку гэтай табліцы рэзервы часу работ прадстаўлены ў наступным парадку: $(R^{Sum}, R^{Free}, R^{Ind}, R^{Gar})$. \square

Часавая дыяграма праекта

Можна намаляваць часавую дыяграму праекта: па восі O_x — час, які прыйшоў з пачатковага моманту, па восі O_y — работы (часавая дыяграма для прыкладу 1.4 прыведзена на мал. 1.13).

Табліца 1.5:

Раб.	Дуга	Прац.	Ранні тэрмін		Позні тэрмін		Рэзервы
			Пач.	Зак.	Пач.	Зак.	
<i>A</i>	(1, 2)	5	0	5	2	7	(2, 0, 0, 2)
<i>B</i>	(1, 3)	3	0	3	1	4	(1, 0, 0, 4)
<i>C</i>	(1, 4)	10	0	10	0	10	(0, 0, 0, 0)
<i>D</i>	(1, 5)	7	5	12	7	14	(2, 1, 0, 0)
	(3, 4)	0	3	3	10	10	(7, 7, 0, 0)
<i>E</i>	(3, 5)	10	3	13	4	14	(1, 0, 0, 0)
<i>G</i>	(4, 6)	9	10	19	10	19	(0, 0, 0, 0)
<i>F</i>	(5, 6)	5	13	19	14	19	(1, 1, 0, 0)
<i>H</i>	(6, 7)	4	19	23	19	23	(0, 0, 0, 0)
<i>I</i>	(7, 8)	2	23	25	23	25	(0, 0, 0, 0)



1.8 Цыклы мінімальнаага сярэдняга кошту

Дадзены граф $G = (V, E)$ і функцыя $c : E \rightarrow \mathbb{R}$ коштаў яго дуг. Па аналогіі з задачай аб карацейшым шляху можна сформуляваць задачу аб *мінімальнym цыклом*, у якой у графе G трэба знайсці (просты) цыкл Y мінімальнаага кошту $c(Y)$. Калі кошты ўсіх дуг роўны -1 , то мінімальным цыклам будзе цыкл з максімальнай колькасцю дуг. Таму любы алгарытм для решэння задачы аб мінімальным цыкле здольны правяраць, ці з'яўляецца дадзены граф *гамільтонавым*. А гэта азначае, што задача аб мінімальным цыкле з'яўляецца **NP-цяжкай**. Як мы ўбачылі, значна больш простай з'яўляецца задача аб мінімальным сярэднім цыкле.

Сярэднім коштам цыкла Y арграфа G называецца дачыненне яго кошту да колькасці яго дуг (ці вяршынь) $\frac{c(Y)}{|Y|}$. У задачы аб *мінімальнym сярэднім цыкле*

$$\mu(G, c) \stackrel{\text{def}}{=} \min\{c(Y)/|Y| : Y \text{ — цыкл } G\}$$

трэба знайсці цыкл графа G , які мае мінімальны сярэдні кошт. Лік $\mu(G, c)$ называецца *мінімальнym сярэднім цыклічным коштам графа* G адносна c .

1.8.1 Алгарытм Карпа

Калі арграф G не з'яўляецца моцна звязным, то мы можам знайсці мінімальны сярэдні кошт цыклаў у кожнай яго моцна звязнай кампаненце і выбраць сярод іх мінімальны. Таму будзем лічыць, што арграф G з'яўляецца моцна звязным.

Выбярэм адвольную вяршыню $s \in V$.

Лема 1.7 *Калі $\mu(G, c) = 0$, то*

$$\min_{v \in V} \max_{0 \leq k \leq n-1} \left[\frac{\sigma^n(s, v) - \sigma^k(s, v)}{n - k} \right] = 0.$$

Доказ. Так як $\mu(G, c) = 0$, то G мае цыкл нулевога кошту і не мае цыклаў адмоўнага кошту. Таму колькасць дуг у шляху мінімальнаага кошту з s у t не пераўзыходзіць $n - 1$. Няхай $d(v)$ ёсць кошт гэтага шляху. Тады $\sigma^n(s, v) \geq d(v)$. Акрамя таго

$$\begin{aligned} d(v) &= \min_{0 \leq k \leq n-1} \sigma^k(s, v), \\ \sigma^n(s, v) - d(v) &= \max_{0 \leq k \leq n-1} (\sigma^n(s, v) - \sigma^k(s, v)). \end{aligned}$$

Адкуль маём

$$\max_{0 \leq k \leq n-1} \left[\frac{\sigma^n(s, v) - \sigma^k(s, v)}{n - k} \right] \geq 0. \quad (1.14)$$

Няроўнасць (1.14) пераўтвараецца ў роўнасць тады і толькі тады, калі $\sigma^n(s, v) = d(v)$. Адсюль вынікае, што мы можам завяршыць доказ, калі пакажам, што мaeцца вяршыня v , для якой $\sigma^n(s, v) = d(v)$. Няхай Y ёсць цыкл нулевога

кошту, і няхай w — вяршыня на гэтым цыкле. Няхай, далей, $P(w)$ — шлях кошту $d(v)$ з s у w . Тады $P(w)$ з наступным абыходам цыкла Y любую колькасць разоў таксама будзе шляхам P' мінімальнага кошту з s у w . Можна лічыць, што колькасць дуг гэтага шляху большая чым n . Няхай P'' ёсць пачатковая частка шляху P' даўжыні n , а v — канчатковая вяршыня шляху P'' . Тады P'' ёсць шлях мінімальнага кошту з s у v , г. зн., $\sigma^n(s, v) = d(v)$. \square

Тэарэма 1.7 *Мae месца наступнаяя роўнасць*

$$\mu(G, c) = \min_{v \in V} \max_{0 \leq k \leq n-1} \left[\frac{\sigma^n(s, v) - \sigma^k(s, v)}{n - k} \right]. \quad (1.15)$$

Доказ. Калі мы адымем канстанту a ад кошту кожнай дугі $e \in E$, то, відавочна, $\mu(G, c)$ паменьшыцца на a , $\sigma^k(s, v)$ — на ka , а $(\sigma^n(s, v) - \sigma^k(s, v))/(n - k)$ — на a . Таму абедзве часткі (1.15) зменьшыцца адноўлькава. Няхай $a = -\mu(G, c)$. Тады $\mu(G, c^a) = 0$, дзе $c^a(v, w) \stackrel{\text{def}}{=} c(v, w) + a$, і тэарэма вынікае з лемы 1.7. \square

Алгарытм Карпа

1. Вылічваем велічыні $\{\sigma^k(s, v)\}$ па рэкурэнтнай формуле

$$\sigma^k(s, v) = \min_{(w, v) \in E} (\sigma^{k-1}(s, w) + c(w, v)), \quad k = 1, \dots, n$$

з пачатковымі значэннямі

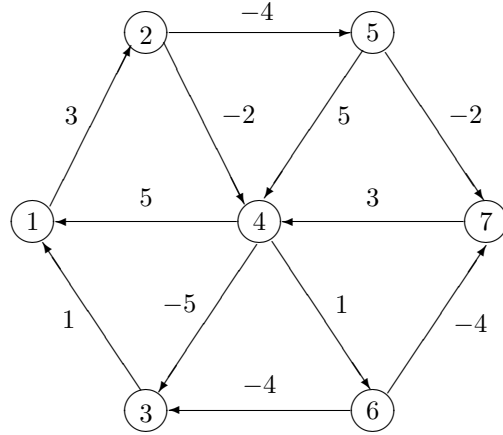
$$\sigma^0(s, s) = 0, \quad \sigma^0(s, v) = \infty, \quad v \in V \setminus s.$$

2. Знаходзім вяршыню v і лік k , на якіх дасягаецца значэнне $\mu(G, c)$.
3. Адваротным ходам знаходзім карацейшы шлях з s у v даўжыні n і вядзялем у ім цыкл з $n - k$ дуг.

Тэарэма 1.8 *Калі граф G моцна звязны, за час $O(nm)$, выкарыстоўваючы $O(n^2)$ ячэек памяці, алгарытм Карпа знаходзіць цыкл мінімальнага сярэдняга кошту.*

Доказ. Карэктнасць алгарытма вынікае з тэарэмы 1.7. Ацэнку склада-насці мы прапануем чытачам зрабіць самастойна. \square

Прыклад 1.5 *Знайсці цыкл мінімальнага сярэдняга кошту ў графе, які прадстаўлены на мал. 1.14.*



Малюнак 1.14: Граф да прыкладу 1.5

Табліца 1.6:

v	1	2	3	4	5	6	7
σ^0	0	∞	∞	∞	∞	∞	∞
σ^1	∞	3	∞	∞	∞	∞	∞
σ^2	∞	∞	∞	1	-1	∞	∞
σ^3	6	∞	-4	4	∞	2	-3
σ^4	-3	9	-2	0	∞	5	-2
σ^5	-1	0	-5	1	5	1	1
σ^6	-4	2	-4	-2	-4	2	-3
σ^7	-3	-1	-7	0	-2	-1	-6
μ	1	$-\frac{1}{2}$	$-\frac{3}{4}$	2	2	$-\frac{3}{4}$	$-\frac{3}{4}$
k	6	5	3	6	6	3	3

Рэзультаты прамога ходу алгарытма прадстаўлены ў табл. 1.6. З перадапошняга радка табл. 1.6, у якім прадстаўлены лікі

$$\mu(v) \stackrel{\text{def}}{=} \max_{0 \leq k \leq n-1} \left[\frac{\sigma^n(s, v) - \sigma^k(s, v)}{n - k} \right],$$

мы бачым, што

$$\mu(G, c) = \min_{v \in V} \mu(v) = -\frac{3}{4},$$

і гэтае значэнне дасягаецца пры $v = 3$ і $k = 3$. Таму цыкл мінімальнаса сярэдняга кошту мае $n - k = 4$ дугі. Каб знайсці гэты цыкл выконваем

адваротны ход:

$$\begin{aligned}\sigma^7(3) &= \sigma^6(4) - 5, & \sigma^6(4) &= \sigma^5(2) - 4, \\ \sigma^5(2) &= \sigma^4(1) + 3, & \sigma^4(1) &= \sigma^3(3) + 1.\end{aligned}$$

Знойдзен цыкл $Y = (3, 1, 2, 4, 3)$, сярэдні кошт якога роўны $-3/4$.

1.8.2 Двойны метад

У гэтым параграфе мы разгледзім яшчэ адзін алгарытм для пошуку мінімальных сярэдніх цыклів. У канцы параграфа мы абмяркуем яго недахопы і перавагі ў параўнанні з метадам Карпа.

Лема 1.8 *Мае месца наступная формула*

$$\mu(G, c) = \max_{p: V \rightarrow \mathbb{R}} \min_{(v, w) \in E} c_p(v, w). \quad (1.16)$$

Доказ. Справядлівасць формулы (1.16) непасрэдна вынікае з двух наступных простых назіранняў:

- для любога сапраўднага a мае месца роўнасць $\mu(G, c^a) = \mu(G, c) + a$, дзе $c^a(v, w) = c(v, w) + a$;
- $c_p(Y) = c(Y)$ для любых цыкла Y і функцыі цэн p (лема 1.2).

Цяпер павінна быць зразумелым, што $\mu(G, c) \geq \min_{(v, w) \in E} c_p(v, w)$. Таксама зразумела, што ўсе цыклы графа G маюць неадмоўныя прыведзеныя кошты адносна функцыі кошту $c^{-\mu(G, c)}$, прычым, цыклы мінімальнага сярэдняга кошту будуць мець прыведзены кошт роўны нулю. Таму, згодна выніку 1.1, існуе функцыя цэн p , такая, што $c_p^{-\mu(G, c)}(v, w) \geq 0$ для ўсіх $(v, w) \in E$. Для гэтай функцыі цэн можна праверыць, што $\mu(G, c) = \min\{c_p(v, w) : (v, w) \in E\}$. \square

Няхай $p : V \rightarrow \mathbb{R}$ ёсць нейкая функцыя цэн. Мы будзем называць дугу (x, y) *мінімальнай адносна* p , калі

$$c_p(x, y) = \mu(p) \stackrel{\text{def}}{=} \min_{(v, w) \in E} c_p(v, w).$$

Граф $G(p) \stackrel{\text{def}}{=} (V, E(p))$, дзе $E(p) \stackrel{\text{def}}{=} \{(v, w) \in E : c_p(v, w) = \mu(p)\}$, назавем *мінімальным падграфам* адносна p . Функцыю цэн p назавем *аптымальнай*, калі мінімальны падграф $G(p)$ мае арцыкл. Гэтае азначэнне мы матывуем формулай (1.16), з якой вынікае, што кожны цыкл графа $G(p)$ з'яўляецца мінімальным сярэднім цыклам.

Вельмі просты алгарытм, які прадстаўлены на мал. 1.15, шукае аптымальную функцыю цэн p . На ўваход працэдуры *min_mean_cycle* акрамя графа G і коштаў дуг c падаецца функцыя цэн p (напрыклад, $p \equiv 0$). Першы цыкл, выяўлены гэтым алгарытмам, з'яўляецца цыклам мінімальнага сярэдняга кошту.

```

min_mean_cycle(G, c, p)
{
    for (; граф G(p) ацыклічны;) {
        Рэкурсіўна вылічваем узроўні  $l(v)$  вяршынъ графа  $G(p)$ :
        калі  $v$  не мае ўваходзячых дуг, то  $l(v) := 0$ ,
        інакш  $l(v) := \max_{(w,v) \in E(p)} l(w) + 1$ ;
         $\epsilon := \min_{(v,w) \in E : l(v) \geq l(w)} \frac{c_p(v,w) - \mu(p)}{l(v) - l(w) + 1}$ ;
        if ( $\epsilon = \infty$ ) return; // граф  $G$  ацыклічны
         $p := p - \epsilon l$ ;
    }
}

```

Малюнак 1.15: Двойны метад пошуку мінімальнаага сярэдняга цыкла

Тэарэма 1.9 *Калі граф G не з'яўляецца ацыклічным, алгарыт на мал. 1.15 за час $O(n^2m)$ знаходзіць цыкл мінімальнаага сярэдняга кошту.*

Доказ. Няхай p і p' ёсць функцыя цэн у пачатку і ў канцы нейкай ітэрацыі.

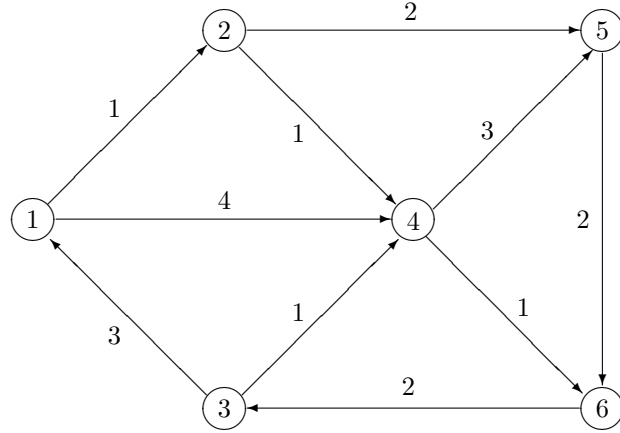
Так як граф $G(p)$ ацыклічны, то *узровень* $l(v)$ кожнай вяршыні $v \in V$ азначаецца карэктна і ўсе ўзроўні можна вылічыць за час $O(m)$, выкарыстоўваючы пошук у глыбіню. Працэдура пошуку ў глыбіню будзе таксама сям'ю вяршынна неперасякальных дрэваў з коранямі ў вяршынях з нулявымі ўзроўнямі. Дугі гэтых дрэваў называюць *дугамі дрэва*.

Пасля змены цэн прыведзены кошт кожнай дугі (v, w) *накіраванай уперад* ($l(v) < l(w)$) павялічваецца на $\epsilon(l(w) - l(v))$. Зазначым, што накіраванымі ўперад з'яўляюцца ўсе мінімальныя адносна p дугі. Таму новыя прыведзеныя кошты ўсіх накіраваных уперад дуг будуть не меншымі чым $\mu(p) + \epsilon$, а прыведзеныя кошты дуг дрэва дакладна роўны $\mu(p) + \epsilon$. Прыведзены кошт дугі (v, w) , для якой $l(v) \geq l(w)$, памяншаецца на $\epsilon(l(w) - l(v))$. Выбарам ϵ мы гарантуюм, што для ўсіх $(v, w) \in E$,

$$c_{p'}(v, w) = c_p(v, w) + \epsilon(l(w) - l(v)) \geq \mu(p) + \epsilon.$$

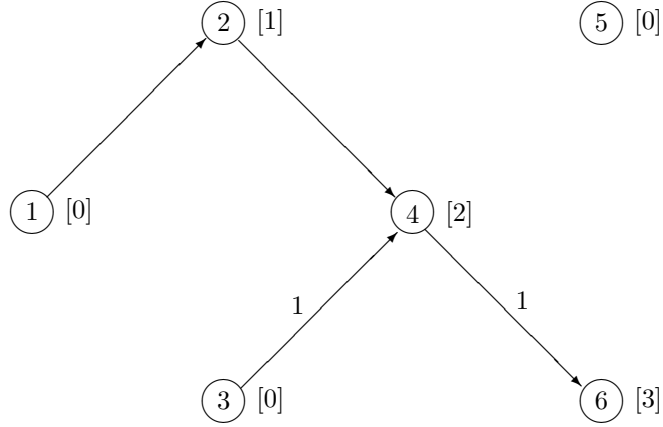
Са сказанага вышэй вынікае, што $\mu(p') = \mu(p) + \epsilon$. Паколькі ўсе дугі дрэва застаюцца мінімальнімі і адносна p' , то пасля змены цэн узроўні ўсіх вяршынъ не памяншаюцца. Больш таго, хаця б адна дуга (v, w) з $l(v) \geq l(w)$ (менавіта тая, на якой дасягаецца значэнне ϵ) стане мінімальнай адносна p' ; ўзровень вяршыні w павялічыцца па меншай меры на адзінку. З гэтага мы адразу атрымліваем ацэнку $O(n^2)$ на колькасць ітэрацый, так як сума ўсіх узроўняў вяршынъ не можа быць большай $(n-1)(n-2)/2$. \square

Прыклад 1.6 *Знайсці мінімальны сярэдні цыкл у графе, які прадстаўлены на мал. 1.16.*



Малюнак 1.16: Граф да прыкладу 1.6

Пачнем рашэнне задачы двойным метадам з функцыі цэн $p^0 \equiv 0$.
 $\mu(p^0) = 1$, а граф $G(p^0)$ прадстаўлены на мал. 1.17. Так як $l =$

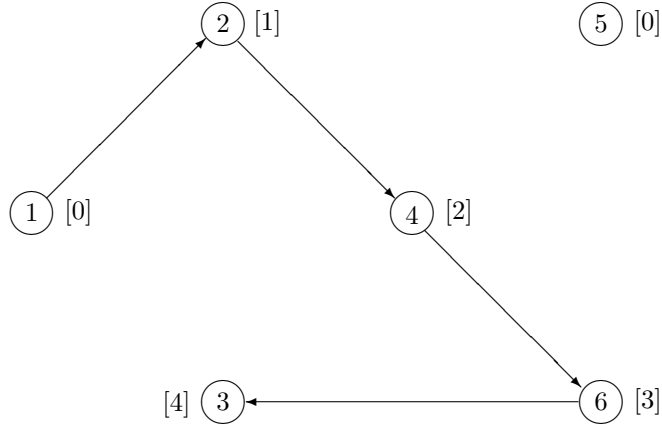
Малюнак 1.17: Граф $G(p^0)$

$(0, 1, 0, 2, 0, 3)$, то

$$\begin{aligned} \epsilon^1 &= \min \left\{ \frac{c_{p^0}(2, 5) - \mu(p^0)}{l(2) - l(5) + 1}, \frac{c_{p^0}(3, 1) - \mu(p^0)}{l(3) - l(1) + 1}, \frac{c_{p^0}(4, 5) - \mu(p^0)}{l(4) - l(5) + 1}, \right. \\ &\quad \left. \frac{c_{p^0}(6, 3) - \mu(p^0)}{l(6) - l(3) + 1} \right\} = \min \left\{ \frac{1}{2}, 2, 1, \frac{1}{4} \right\} = \frac{1}{4} \end{aligned}$$

i $p^1 = p^0 - \epsilon l = (0, -1/4, 0, -1/2, 0, -3/4)$.

2. $\mu(p^1) = 5/4$, а граф $G(p^1)$ прадстаўлены на мал. 1.18. Так як $l =$



Малюнак 1.18: Граф $G(p^1)$

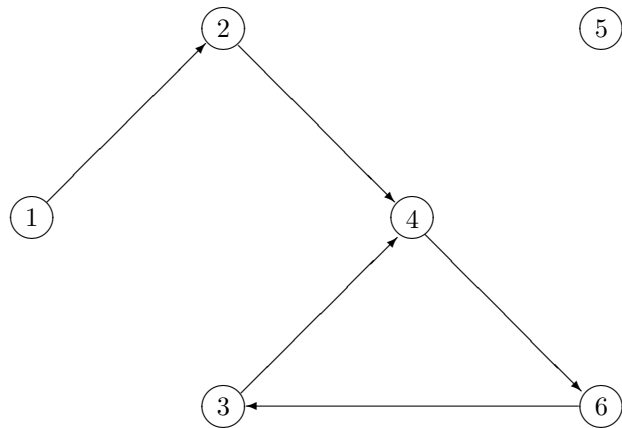
$(0, 1, 4, 2, 0, 3)$, то

$$\begin{aligned} \epsilon^2 &= \min \left\{ \frac{c_{p^1}(2, 5) - \mu(p^1)}{l(2) - l(5) + 1}, \frac{c_{p^1}(3, 1) - \mu(p^1)}{l(3) - l(1) + 1}, \right. \\ &\quad \left. \frac{c_{p^1}(3, 4) - \mu(p^1)}{l(3) - l(4) + 1}, \frac{c_{p^1}(4, 5) - \mu(p^1)}{l(4) - l(5) + 1} \right\} \\ &= \min \left\{ \frac{1}{4}, \frac{7}{20}, \frac{1}{12}, \frac{5}{12} \right\} = \frac{1}{12} \end{aligned}$$

і $p^2 = p^1 - \epsilon^2 l = (0, -1/3, -1/3, -2/3, 0, -1)$.

2. $\mu(p^2) = 4/3$, а граф $G(p^2)$ прадстаўлены на мал. 1.19. Граф $G(p^2)$ мае цыкл $Y = (3, 4, 6, 3)$, які і з'яўляецца цыклам мінімальнаса сярэдняга кошту ў графе G . \square

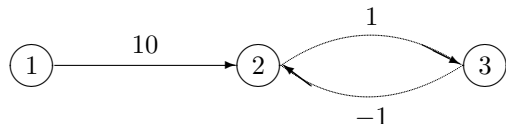
У заключэнне параграфа, як мы і абыцалі ў яго пачатку, парадуем двойны алгарытм з алгарытмам Карпа. Ацэнка працаёмкасці апошняга на парадак лепшая, але памяці ён патрабуе таксама на парадак болей, што пры расчэнні задач вялікага памеру можа стаць вельмі сур'ёзной проблемай. Акрамя таго, $O(n^2)$ — гэта ацэнка колькасці ітэрацый двойнага алгарытма ў разліку на найхужэйшы выпадак. На большасці прыкладаў алгарытм выконвае значна менш ітэрацый і таму яго складанасць таксама значна менш чым $O(n^2 m)$. Няцяжка таксама зразумець, што складанасць метада Карпа $\Omega(n m)$, г. зн. што яна амаль адналькавая для ўсіх графаў з n вяршынямі і m дугамі. Таму можна чакаць (і гэта сапраўды так), што на практыцы двойны алгарытм у сярэднім працуе лепей чым алгарытм Карпа. Трэба аднак таксама заўважыць, што пры цэлалікавых коштах алгарытм

Малюнак 1.19: Граф $G(p^2)$

Карпа з'яўляеца "поўнасцю" цэлалікавым (усе вылічэнні праводзяцца над цэлымі лікамі), а двойны метад працуе з дробнымі лікамі (гл. практиканне 3).

1.9 Практыкаванні

- Знайдзіце ўсе расценні ўраўнення Бэлмана (1.10) для графа, які прадстаўлены на наступным малюнку.



- Дакажыце, што калі ўсе вяршыні графа $G = (V, E)$ дасягаюцца з вяршыні $s \in V$ і граф G не мае цыклаў недадатнага кошту адносна функцыі $c : E \rightarrow \mathbb{R}$, то ўраўненні Бэлмана маюць адзінае расценне.
- З якой пагрешнасцю трэба праводзіць вылічэнні цэн вяршынь, каб знайсці дакладнае расценне задачы аб мінімальным сярэднім цыкле. Ацаніце памер лікаў $p(v)$ для $v \in V$.
- Вырашыце прыклад 1.5 двойным метадам, а прыклад 1.6 метадам Карпа.
- Дадзены арграф $G = (V, E)$, функцыя коштаў яго дуг $c : E \rightarrow \mathbb{R}$, вяршыня $s \in V$, з якой дасягаюцца ўсе астатнія вяршыні графа G .

Дакажыце, што наступная задача ЛП эквівалентна задачы пошука дрэва карацейшых шляхоў у графе G з коранем s :

$$\begin{aligned} \sum_{(v,w) \in E} c(v,w) f(v,w) &\rightarrow \min \\ \sum_{(v,w) \in E(v,V)} f(v,w) &= \begin{cases} n-1, & v = s, \\ 1, & v \in V \setminus s, \end{cases} \\ f(v,w) &\geq 0, \quad \text{для ўсіх } (v,w) \in E. \end{aligned}$$

Глава 2

Патокі ў сетках

Аўтамабільныя дарогі, чыгунка, электрычныя сеткі, сеткі камунікацый і многія іншыя фізічныя сеткі ўвайшлі ў наша паўсядзённае жыццё. Як следства, нават для неспецыяліста відавочна практычная важнасць і шырокая распаўсядженасць сетак. Больш того, так як фізічныя характеристыкі сетак (напрыклад, ўмова захавання патока ўузлах) дапускаюць вельмі простае матэматычнае апісанне, то практыкі могуць лёгка зразумець не толькі матэматычныя пастаноўкі патокавых алгортывічных задач, але таксама і тыя ідэі, якія ляжаць у аснове алгарытмаў іх решэння.

2.1 Патокі і граф астатніх прапускных здольнасцей

Сеткай называецца арыентаваны граф $G = (V, E)$ з функцыяй прапускных здольнасцей $u : E \rightarrow \mathbb{R} \cup \{\infty\}$. Без страты агульнасці дапускаем, што

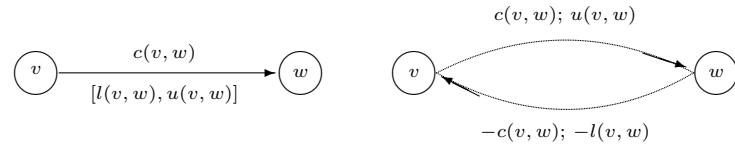
- G не мае паралельных дуг, г. зн. $E \subseteq V \times V$;
- граф G з'яўляецца сіметрычным: з $(v, w) \in E$ вынікае, што $(w, v) \in E$.

Функцыя $f : E \rightarrow \mathbb{R}$ называецца *псеўдопатокам*, калі выполнваюцца наступныя ўмовы

$$f(v, w) \leq u(v, w) \text{ для ўсіх } (v, w) \in E, \quad (2.1)$$

$$f(v, w) = -f(w, v) \text{ для ўсіх } (v, w) \in E. \quad (2.2)$$

Умова (2.1) задае *абмежаванні на прапускныя здольнасці дуг*: па дузе не можа працякаць паток большай велічыні чым яе прапускная здольнасць. Умова *антисіметрыі патока* (2.2) адлюстроўвае той факт, што паток велічыні x з v у w ёсць паток велічыні $(-x)$ з w у v . Адмоўныя значенні патока ўведзены толькі для зручнасці абазначэння. Заўважым, што ў гэтым выпадку няма патрэбы рабіць адрозненне паміж ніжнім і верхнім прапускнымі здольнасцямі дуг: прапускная здольнасць дугі (v, w) прадстаўляе



Малюнак 2.1:

ніжнюю прапускную здольнасць адваротнай дугі (w, v) . Дольш дакладна, калі паток $f(v, w)$ па дузе (v, w) павінен задавальняць умове

$$l(v, w) \leq f(v, w) \leq u(v, w),$$

то мы замяняем дугу (v, w) парай супрацьлеглых дуг (v, w) , (w, v) і азначаем іх кошты і прапускныя здольнасці так, як гэта прадстаўлена на малюнку 2.1.

З умоў (2.1) і (2.2) вынікае, што для псеўдапатока заўсёды выполнваецца $u(v, w) + u(w, v) \geq 0$ для ўсіх дуг $(v, w) \in E$.

Для дадзенага псеўдапатока f азначым *лішак вяршыні* $v \in V$

$$e_f(v) = \sum_{(w,v) \in E} f(w, v)$$

як сумарны паток, які цячэ ў вяршыню v . Мы будзем гаварыць, што вяршыня v мае *лішак*, калі $e_f(v) > 0$, і мае *дэфіцит*, калі $e_f(v) < 0$. Для вяршыні $v \in V$ умова *захавання патока* задаецца роўнасцю

$$e_f(v) = 0 \quad (2.3)$$

Цыркуляцыяй называецца псеўдапаток з нулявым лішкам у кожнай вяршыні.

Для псеўдапатока f *астатная прапускная здольнасць* дугі $(v, w) \in E$ ёсць $u_f(v, w) = u(v, w) - f(v, w)$. Граф *астатніх прапускных здольнасцей* $G_f = (V, E_f)$ для псеўдапатока f мае мнства дуг $E_f = \{(v, w) \in E : u_f(v, w) > 0\}$.

Лема 2.1 *Няхай дадзены два псеўдапатокі f і g , прычым $e_f(v) > e_g(v)$. Тады існуе вяршыня w з $e_f(w) < e_g(w)$ і паслядоўнасць розных вяршыні $v = v_0, v_1, \dots, v_{l-1}, v_l = w$, такая, што $(v_{i-1}, v_i) \in E_f$ і $(v_i, v_{i-1}) \in E_g$ для $1 \leq i \leq l$.*

Доказ. Азначым арграфы $G_+ = (V, E_+)$ і $G_- = (V, E_-)$, дзе

$$\begin{aligned} E_+ &= \{(x, y) \in E : g(x, y) > f(x, y)\}, \\ E_- &= \{(x, y) \in E : f(x, y) > g(x, y)\}. \end{aligned}$$

Тады $E_+ \subseteq E_f$, так як для $(x, y) \in E_+$ маем $f(x, y) < g(x, y) \leq u(x, y)$. Аналагічна, $E_- \subseteq E_g$. Больш таго, па антысіметрыі патока $(x, y) \in E_+$, калі і толькі калі $(y, x) \in E_-$. Таму дастаткова паказаць, што ў G_+ існуе просты шлях $v = v_0, v_1, \dots, v_l = w$ з $e_f(w) < e_g(w)$.

Няхай S ёсьць множства вяршынь, якія дасягаюцца з v у графе G_+ і няхай $\bar{S} = V \setminus S$ (множства \bar{S} можа быць пустым). Для дугі $(x, y) \in E(S, \bar{S})$ справядліва няроўнасць $f(x, y) \geq g(x, y)$, бо інакш $y \in S$. Адсюль мы маем

$$\begin{aligned} -\sum_{x \in S} e_g(x) &= \sum_{(x,y) \in E(S,V)} g(x, y) \\ &= \sum_{(x,y) \in E(S,\bar{S})} g(x, y) + \sum_{(x,y) \in E(S,S)} g(x, y) \\ &= \sum_{(x,y) \in E(S,\bar{S})} g(x, y) \quad (\text{па антысіметрыі}) \\ &\leq \sum_{(x,y) \in E(S,\bar{S})} f(x, y) \quad (\text{выконваецца для кожнага члена}) \\ &= \sum_{(x,y) \in E(S,\bar{S})} f(x, y) + \sum_{(x,y) \in E(S,S)} f(x, y) \quad (\text{па антысіметрыі}) \\ &= \sum_{(x,y) \in E(S,V)} f(x, y) \\ &= -\sum_{x \in S} e_f(x). \end{aligned}$$

Так як $v \in S$ і $e_f(v) > e_g(v)$, то для нейкай вяршыні $w \in S$ павінна выконвацца $e_f(w) < e_g(w)$. \square

Карыснай уласцівасцю псеўдапатокаў з'яўляецца той факт, што яны могуць быті раскладзены на невялікую колькасць *прымітыўных элементаў*. Такімі прымітыўнымі элементамі з'яўляюцца элементарныя патокі і цыркуляцыі.

Псеўдапаток g у сетцы G называецца *элементарным патокам (цыркуляцыяй)* велічыні ϵ , калі падграф G з множствам дуг, на якіх g дадатны, з'яўляецца простым шляхам (цыклам) і на ўсіх дугах гэтага шляху (цикла) велічыня патока роўна ϵ .

Тэарэма 2.1 Для любога псеўдапатока f у сетцы G існуе такая сям'я элементарных патокаў і цыркуляцый f_1, \dots, f_k , $k \leq m$, што

$$f(v, w) = \sum_{i=1}^k f_i(v, w) \quad \text{для ўсіх } (v, w) \in E. \quad (2.4)$$

Доказ. Індукцыяй па колькасці дуг з ненулевым патокам. Тэарэма выконваецца, калі $f \equiv 0$. Няхай f — ненулевы псеўдапаток. Дапусцім, што тэарэма выконваецца для ўсіх псеўдапатокаў f' , такіх, што $|E(f')| < |E(f)|$. Тут $E(f) = \{(v, w) \in E : f(v, w) > 0\}$. Магчымы два выпадкі:

- 1) існуе вяршыня $v \in V$ з дадатным лішкам $e_f(v) > 0$;
- 2) $e_f(v) = 0$ для ўсіх $v \in V$ (f — цыркуляцыя).

Выпадак 1. Па леме 2.1, прымененай для $g \equiv 0$ і f , існуе вяршыня w з $e_f(w) < 0$ і прости шлях $w = v_0, v_1, \dots, v_{l-1}, v_l = v$ у графе G_g , для якога $f(v_{i-1}, v_i) > 0$ для $i = 1, \dots, l$. Няхай f_1 — элементарны паток, у якім па дугах гэтага шляху цячэ паток велічыні

$$\epsilon = f(v_{j-1}, v_j) = \min_{1 \leq i \leq l} f(v_{i-1}, v_i).$$

Азначым псеўдапаток f' па правілу:

$$f'(x, y) = f(x, y) - f_1(x, y) \quad \text{для ўсіх } (x, y) \in E.$$

Адзначым, што $f'(v_{j-1}, v_j) = 0$. Таму $|E(f')| < |E(f)|$ і па індукцыйнаму дашчэнню псеўдапаток f' можа быць прадстаўлены як сума элементарных патокаў:

$$f'(x, y) = \sum_{i=2}^k f_i(x, y) \quad \text{для ўсіх } (x, y) \in E,$$

дзе $k \leq m$. Таму

$$f(x, y) = \sum_{i=1}^k f_i(x, y) \quad \text{для ўсіх } (x, y) \in E.$$

Выпадак 2. Так як $f \not\equiv 0$, то існуе дуга $(v, w) \in E$ з ненулевым патокам $f(v, w)$. Для канкрэтнасці будзем лічыць, што $f(v, w) = -f(w, v) > 0$ (інакш трэба разглядаць дугу (w, v)). Пабудуем псеўдапаток \bar{f} па правілу:

$$\bar{f}(v, w) = 0; \quad \bar{f}(x, y) = f(x, y) \quad \text{для ўсіх } (x, y) \in E \setminus (v, w).$$

Зразумела, што $e_{\bar{f}}(v) = -e_{\bar{f}}(w) = f(v, w) > 0$. Таму па леме 2.1, прымененай для $g \equiv 0$ і \bar{f} , існуе вяршыня w з $e_{\bar{f}}(w) < 0$ і прости шлях $w = v_0, v_1, \dots, v_{l-1}, v_l = v$ у графе G_g , для якога $\bar{f}(v_{i-1}, v_i) > 0$ для ўсіх $1 \leq i \leq l$. Няхай f_1 — элементарная цыркуляцыя, у якой па дугах цыкла $w = v_0, v_1, \dots, v_{l-1}, v_l, v_{l+1} = w$ цячэ паток велічыні

$$\epsilon = \min_{1 \leq i \leq l+1} f(v_{i-1}, v_i) > 0.$$

Далей доказ такі ж, як і ў выпадку 1. \square

2.2 Фармулёнкі класічных патокавых задач

2.2.1 Задача аб максімальным патоку

Дадзены сетка (G, u) , у якой вылучаны дзве вяршыні $s, t \in V$; s называецца *выйтокам*, а t — *цёкам*. *Перадпатокам* называецца псеўдапаток f з неадмоўным лішкам для ўсіх вяршынь, за выключэннем s . *Патокам* f у сетцы G называецца псеўдапаток, які задавальняе ўмове захавання патока (2.3) ва ўсіх вяршынях акрамя s і t . *Велічынёй патока* f называецца колькасць патока, які ўпікае ў сцёк $|f| = e_f(t)$. *Максімальны паток* — гэта паток максімальны велічыні. *Задача аб максімальным патоку* ёсьць задача пошука патока максімальны велічыні ў дадзенай патокавай сетцы (G, u, s, t) .

2.2.2 Задача аб цыркуляцыі мінімальнага кошту

Функцыя кошту ёсьць сапраўдная функцыя на множстве дуг $c : E \rightarrow \mathbb{R}$. Без страты агульнасці мы дапускаем, што яна антысіметрычная:

$$c(v, w) = -c(w, v) \quad \text{для ўсіх } (v, w) \in E. \quad (2.5)$$

Кошт псеўдапатока f азначаецца па формуле:

$$c(f) \stackrel{\text{def}}{=} \sum_{(v, w) \in E : f(v, w) \geq 0} f(v, w)c(v, w).$$

Задача аб цыркуляцыі мінімальнага кошту заключаецца ў пошуку ў сетцы (G, u, c) цыркуляцыі, якая мае мінімальны кошт.

Заўважым, што задача аб максімальным патоку з'яўляецца прыватным выпадкам задачы аб цыркуляцыі мінімальнага кошту. Каб убачыць гэта, разгледзім патокавую сетку (G, u, s, t) , да якой дададзім пару новых дуг (s, t) і (t, s) с $u(s, t) = 0$, $u(t, s) = \infty$. Кошты зыходных дуг вызначым роўнымі нулю, а $c(s, t) = -c(t, s) = 1$. Цыркуляцыя мінімальнага кошту ў атрыманай сетцы (G^{st}, u, c) , абмежаваная на дугі зыходнай сеткі, з'яўляецца максімальным патокам у (G, u, s, t) .

2.2.3 Транспартная задача

У дапаўненне да функцыі кошту c і прапускных здольнасцей дуг u дадзена *функцыя попыту* $d : V \rightarrow \mathbb{R}$ такая, што $\sum_{v \in V} d(v) = 0$. Псеўдапаток называе *дапушчальны*, калі выполнваюцца наступная ўмова захавання:

$$e_f(v) = d(v) \quad \text{для ўсіх } v \in V. \quad (2.6)$$

Транспортная задача ёсьць задача, у якой у транспортнай сетцы (G, u, c, d) трэба знайсці дапушчальны псеўдапаток мінімальнага кошту.

Відавочна, што задача аб цыркуляцыі мінімальнага кошту з'яўляецца спецыяльным выпадкам транспортнай задачы, у якой $d(v) = 0$ для ўсіх

$v \in V$. У сваю чаргу, транспартную задачу ў сетцы (G, u, c, d) можна пераўтварыць у задачу аб цыркуляцыі мінімальнаага кошту. Для гэтага да G дададзім новую вяршыню $s \notin V$ і множства дуг: $\{(s, v), (v, s) : v \in V, d(v) \neq 0\}$. Функцыя кошту і прапускныя здольнасці даазначаюцца наступным чынам:

- калі $d(v) > 0$, то

$$u(v, s) = d(v), c(v, s) = -\infty, u(s, v) = 0, c(s, v) = \infty;$$

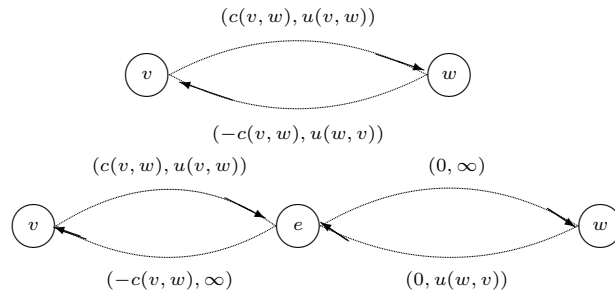
- калі $d(v) < 0$, то

$$u(s, v) = -d(v), c(s, v) = -\infty, u(v, s) = 0, c(v, s) = \infty.$$

Няцяжка пераканацца, што абмежаванне цыркуляцыі ў пабудаванай сетцы на дугі зыходнай сеткі будзе дапушчальным рашэннем транспартнай задачы, прычым алтымальнаі цыркуляцыі адпавядзе алтымальнае дапушчальнае рашэнне транспартнай задачы.

Далей мы таксама будзем разглядаць варыянт транспартнай задачы, калі ўсе прапускныя здольнасці дуг роўны нулю або бясконцасці. Такі варыянт задачы называе *транспартнай задачай без абмежавання на прапускныя здольнасці*.

Звядзем задачу аб цыркуляцыі мінімальнаага кошту на сетцы (G, u, c) да транспартнай задачы без абмежавання на прапускныя здольнасці дуг. Спачатку для кожнай пары дуг $e = (v, w)$ і $\bar{e} = (w, v)$, для якой абодва лікі $u(v, w)$ і $u(w, v)$ концыя, дададзім новую вяршыню e и чатыры дугі (v, e) , (e, v) , (e, w) , (w, e) (гл. мал. 2.2.3). Атрыманую сетку абазічым праз $\bar{G}, \bar{u}, \bar{c}$.



Малюнак 2.2: Трансфармацыя дуг задачы аб цыркуляцыі

Потым пакладзем $d(v) = 0$ для ўсіх $v \in V$ і для кожнай дугі (v, w) , для якой $u(v, w)$ ёсьць концы ненулявы лік, выканаем наступныя аперацыі:

$$\begin{aligned} d(v) &:= d(v) - u(v, w), \\ d(w) &:= d(w) - u(w, v), \\ u(v, w) &:= 0. \end{aligned}$$

2.3 Крытэрыі аптымальнасці

Крытэрыі аптымальнасці з'яўляюца той асновай, на якой будуюцца алгаграмы рашэння аптымізацыйных задач.

2.3.1 Транспартная задача

Пачнем з простай лемы.

Лема 2.2 *Няхай f і g — дапушчальныя псеўдапатокі ў транспартнай сетцы (G, u, c, d) . Тады $g - f$ ёсць дапушчальная цыркуляцыя ў сетцы (G, u_f, c) .*

Доказ. Так як $g(v, w) - f(v, w) \leq u(v, w) - f(v, w) = u_f(v, w)$, то абмежаванні на прапускныя здольнасці выполнываюцца. Так як

$$e_{g-f}(v) = e_g(v) - e_f(v) = d(v) - d(v) = 0,$$

то таксама выполнываецца ўмова захавання патока ва ўсіх вяршынях $v \in V$.

□

Зараз мы сформулюем два крытэрыі аптымальнасці псеўдапатока.

Тэарэма 2.2 *Дапушчальны псеўдапаток f у транспортнай сетцы (G, u, c, d) аптымальны тады і толькі тады, калі яго граф астатніх прапускных здольнасцей G_f не мае цыклу адмоўнага кошту.*

Доказ. Неабходнасць. Няхай ў граfe G_f ёсць цыкл

$$\Gamma = (v_0, v_1, \dots, v_{l-1}, v_l = v_0)$$

адмоўнага кошту $c(\Gamma) < 0$. Для

$$\epsilon \stackrel{\text{def}}{=} \min_{1 \leq i \leq l} u_f(v_{i-1}, v_i) > 0$$

пабудуем дапушчальны псеўдапаток f' наступным чынам:

$$\begin{aligned} f'(v_{i-1}, v_i) &= f(v_{i-1}, v_i) + \epsilon, \quad i = 1, \dots, l, \\ f'(v_i, v_{i-1}) &= -f'(v_{i-1}, v_i), \quad i = 1, \dots, l, \\ f'(v, w) &= f(v, w), \quad (v, w) \in E \setminus E(\Gamma). \end{aligned}$$

Так як $c(f') = c(f) + \epsilon c(\Gamma) < c(f)$, то f не з'яўляецца аптымальным.

Дастатковасць. Дапусцім, што граф G_f не мае цыклу адмоўнага кошту. Няхай h — аптымальны дапушчальны псеўдапаток ў сетцы (G, u, c, d) . Па леме 2.2 псеўдапаток $(h - f)$ з'яўляецца цыркуляцыяй у сетцы (G, u_f, c) , а па тэарэме 2.1 існуе такая сям'я элементарных цыркуляцый g_1, \dots, g_k у (G, u_f, c) , што

$$h(v, w) - f(v, w) = \sum_{i=1}^k g_i(v, w) \quad \text{для ўсіх } (v, w) \in E,$$

Так як

$$\begin{aligned}
 0 &\geq c(h) - c(f) \\
 &= \frac{1}{2} \sum_{(v,w) \in E} c(v,w)h(v,w) - \frac{1}{2} \sum_{(v,w) \in E} c(v,w)f(v,w) \\
 &= \frac{1}{2} \sum_{(v,w) \in E_f} c(v,w)(h(v,w) - f(v,w)) \\
 &= \frac{1}{2} \sum_{(v,w) \in E_f} c(v,w) \sum_{i=1}^k g_i(v,w) \\
 &= \sum_{i=1}^k \sum_{(v,w) \in E} \frac{1}{2} c(v,w) g_i(v,w) \\
 &= \sum_{i=1}^k c(g_i) \geq 0.
 \end{aligned}$$

Адсюль маем, што f — таксама аптымальны дапусцімы псеўдапаток. \square

Непасрэдна з лемы 1.2.

Лема 2.3 *Дапушчальны псеўдапаток f з'яўляецца аптымальнym у транспартнай сетцы (G, u, c, d) тады і толькі тады, калі ён аптымальны ў сетцы (G, u, c_p, d) для кожнай функцыі p .*

Другі крытэрый аптымальнасці дапушчальнага псеўдапатока наступны.

Тэарэма 2.3 *Дапушчальны псеўдапаток f з'яўляецца аптымальнym у транспартнай сетцы (G, u, c, d) тады і толькі тады, калі існуе такая функцыя $p : V \rightarrow \mathbb{R}$, што выполняючай няжорсткасці*

$$c_p(v, w) \geq 0 \quad \text{для } \forall (v, w) \in E_f. \quad (2.7)$$

Доказ. Па тэарэме 2.2 псеўдапаток f аптымальны тады і толькі тады, калі граф G_f не мае цыклаў адмоўнага кошту. Згодна выніку 1.1 граф G_f не мае цыклаў адмоўнага кошту тады і толькі тады, калі існуе такая функцыя $p : V \rightarrow \mathbb{R}$, якая задавальняе ўмове (2.7). \square

Транспортная задача можа не мець аптымальнага рашэння.

Тэарэма 2.4 *Транспортная задача на сетцы (G, u, c, d) мае аптымальнае рашэнне тады і толькі тады, калі яна мае дапушчальнае рашэнне і граф G не мае цыкла адмоўнага кошту, усе дугі якога маюць бясконную працягнутую здольнасць.*

2.3.2 Задача аб максімальным патоку

Выкарыстоўваючы тэарэму 2.2, атрымаем два крытэрыі аптымальнасці.

Тэарэма 2.5 *Паток f з'яўляецца максімальным патокам у сетцы (G, u, s, t) тады і толькі тады, калі ў графе G_f адсутнічаюць шляхі з s у t .*

Доказ. Даазначым паток f да цыркуляцыі ў сетцы (G^{st}, u, c) , паклаўшы $f(t, s) = e_f(t), f(s, t) = -f(t, s)$. Па тэарэме 2.2 цыркуляцыя f аптымальна тады і толькі тады, калі ў графе G_f^{st} адсутнічаюць цыклы адмоўнага кошту. Па пабудове сеткі (G^{st}, u, c) граф G_f^{st} мае цыкл адмоўнага кошту тады і толькі тады, калі ён ўтрымлівае дугу (t, s) , г.зн. калі ў G_f ёсць шлях з s у t . \square

Няхай $S \subseteq V$. Нагадаем, што непустое мноства $E(S, V \setminus S)$ называецца *разрэзом*. Разрэз $E(S, V \setminus S)$ называецца s, t -*разрэзом*, калі S з'яўляецца s, t -*мноствам*, г. зн. $s \in S, t \notin S$. *Велічынёй разрэза* называецца сума праpusкных здольнасцей яго дуг, г. зн. лік $\delta_u(S) = \sum_{(v,w) \in E(S, V \setminus S)} u(v, w)$. Фундаментальны тэарэмы аб патоках у сетках з'яўляецца наступная тэарэма.

Тэарэма 2.6 (Форд-Фалкерсан) *Велічыня максімальнага патока ў патокавай сетцы (G, u, s, t) роўна велічыні мінімальнага s, t -разрэза.*

Доказ. Няхай f — адвольны паток у сетцы (G, u, s, t) , а $E(S, V \setminus S)$ — адвольны s, t -разрэз. Складаючы роўнасці

$$\begin{aligned} |f| &= -e_f(s), \\ 0 &= -e_f(v), \quad v \in S \setminus s, \end{aligned}$$

атрымаем

$$\begin{aligned} |f| &= -\sum_{v \in S} e_f(v) \\ &= -\sum_{v \in S} \sum_{(w,v) \in E} f(w, v) \\ &= -\sum_{(w,v) \in E(V,S)} f(w, v) \\ &= \sum_{(v,w) \in E(S,V)} f(v, w) \\ &= \sum_{(v,w) \in E(S, V \setminus S)} f(v, w) + \sum_{(v,w) \in E(S, S)} f(v, w) \\ &= \sum_{(v,w) \in E(S, V \setminus S)} f(v, w) \\ &\leq \sum_{(v,w) \in E(S, V \setminus S)} u(v, w) \\ &= \delta_u(S). \end{aligned} \tag{2.8}$$

Няхай зараз f — максімальны паток, а S ёсць мноства вяршынь графа G_f , дасягаемых з вытокам s . Відавочна, што $s \in S$, а па тэарэме 2.5 $t \notin S$. Акрамя таго, $u(v, w) = f(v, w)$ для ўсіх такіх дуг $(v, w) \in E(S, V \setminus S)$. Але ў гэтым выпадку няроўнасць ў (2.8) пераўтвараеца ў роўнасць і тады $|f| = \delta_u(S)$. \square

У якасці выніку тэарэмы Форда-Фалкерсана сформулюем наступны крытэрый існавання цыркуляцыі у сетцы (G, u) .

Тэарэма 2.7 (Гофман) *У сетцы (G, u) існуе цыркуляцыя тады і толькі тады, калі*

$$\delta_u(X) \geq 0 \quad \text{для ўсіх } X \subseteq V. \quad (2.9)$$

Доказ. **Неабходнасць.** Няхай у сетцы (G, u) існуе цыркуляцыя f . Тады

$$\begin{aligned} \delta_u(X) &= \sum_{(v,w) \in E(X, V \setminus X)} u(v, w) \\ &\geq \sum_{(v,w) \in E(X, V \setminus X)} f(v, w) \\ &= \sum_{(v,w) \in E(X, V)} f(v, w) \\ &= - \sum_{v \in X} e_f(v) = 0. \end{aligned}$$

Дастатковасць. Для прастаты мы абмяркуем выпадак концазначнай функцыі $u : E \rightarrow \mathbb{R}$ (агульны выпадак застаецца чытачу). Пабудуем псеўдапаток f па правілу:

калі $u(v, w) \geq -u(w, v)$, то $f(v, w) = -u(w, v)$ і $f(w, v) = u(w, v)$.

Калі $e_f(v) = 0$ для ўсіх $v \in V$, то f — цыркуляцыя. Інакш мносты $S = \{v \in V : e_f(v) > 0\}$ і $T = \{v \in V : e_f(v) < 0\}$ не пустыя. Пабудуем арграф $G' = (V', E')$, дзе

$$V' \stackrel{\text{def}}{=} V \cup \{s, t\}, \quad E' \stackrel{\text{def}}{=} E \cup \{(s, v) : v \in S\} \cup \{(v, t) : v \in T\}.$$

Азначым прапускныя здольнасці дуг наступным чынам:

$$\begin{aligned} u'(s, v) &= e_f(v), \quad v \in S, \\ u'(v, t) &= -e_f(v), \quad v \in T, \\ u'(v, w) &= u(v, w) - f(v, w), \quad (v, w) \in E. \end{aligned}$$

Няхай $M = \sum_{v \in S} e_f(v)$. Няцяжка бачыць, што ў патокавай сетцы (G', u', s, t) існуе паток x велічыні M тады і толькі тады, калі функцыя $f + x$ (абменжаваная на E) з'яўляеца цыркуляцыяй ў (G, u) . Па тэарэме 2.6 велічыня максімальнага патока ў (G', u', s, t) роўна M тады і толькі тады, калі

$$\delta_{u'}(X \cup \{s\}) \geq M \quad \text{для ўсіх } X \subseteq V. \quad (2.10)$$

Але

$$\begin{aligned}
 \delta_{u'}(X \cup \{s\}) &= \sum_{(v,w) \in E'(X \cup \{s\}, V \cup \{t\} \setminus X)} u'(v, w) \\
 &= \sum_{(s,w): w \in S \setminus X} u'(s, w) + \sum_{(v,t): v \in X \cap T} u'(v, t) + \\
 &\quad \sum_{(v,w) \in E(X, V \setminus X)} u'(v, w) \\
 &= \sum_{w \in S \setminus X} e_f(w) - \sum_{v \in X \cap T} e_f(v) + \\
 &\quad \sum_{(v,w) \in E(X, V \setminus X)} (u(v, w) - f(v, w)) \\
 &= \sum_{v \in S \setminus X} e_f(v) - \sum_{v \in X \cap T} e_f(v) + \\
 &\quad \delta_u(X) - \sum_{(v,w) \in E(X, V)} f(v, w) \\
 &= \sum_{v \in S \setminus X} e_f(v) - \sum_{v \in X \cap T} e_f(v) + \delta_u(X) + \sum_{v \in X} e_f(v) \\
 &= \sum_{v \in S \setminus X} e_f(v) - \sum_{v \in X \cap T} e_f(v) + \delta_u(X) + \\
 &\quad \sum_{v \in X \cap S} e_f(v) + \sum_{v \in X \cap T} e_f(v) \\
 &= \sum_{v \in S} e_f(v) + \delta_u(X) \\
 &= M + \delta_u(X).
 \end{aligned}$$

Адсюль маем, што ўмовы (2.9) і (2.10) эквівалентны. \square

На заканчэнне сфармулюем два камбінаторныя следствы з тэарэмы Форда-Фалкерсана.

Тэарэма 2.8 (Менгер) У арграфе $G = (V, E)$ існуе k шляхоў з s у t , якія не маюць агульных дуг, тады і толькі тады, калі $\rho(X) \geq k$ для усіх s, \bar{t} -падмноствваў $X \subseteq V$.

Доказ. Разгледзець патокавую сетку (G, u, s, t) , дзе прапускныя здольнасці ўсіх дуг роўны 1, і прымяніць тэарэму Форда-Фалкерсона. \square

Тэарэма 2.9 (Кёніг) Максімальная моц паразлучэння ў двухдоліным графе $G = (V \cup W, E)$ роўна мінімальнай количесці вяршины, якія пакрываюць усе рэбра.

Доказ. З'арыентуем рэбры графа G у напрамку ад V да W . Затым дадзім да G дзве новыя вяршыні $s, t \notin V \cup W$ і два мноствы дуг

$$\{(s, v) : v \in V\}, \quad \{(v, t) : v \in W\}.$$

Прапускныя здольнасці u ўсіх новых дуг роўны 1, а дуг з $E = \infty$. Атрыманую патокавую сетку абазначым праз $(G^{s,t}, u, s, t)$. Паміж паразлучэннямі ў графе G і цэлалікамі патокамі ў сетцы $(G^{s,t}, u, s, t)$ існуе ўзаемна адназначная адпаведнасць: рабро $(v, w) \in E$ належыць паразлучэнню тады і толькі тады, калі $f(s, v) = f(v, w) = f(w, t) = 1$. Зразумела, што максімальному патоку велічыні k адпавядзе паразлучэнне моцы k . Па тэарэме 2.6 існуе \bar{t} -мноства X , для якога $\delta_u(X) = k$. Адзначым, што ніводная дуга з бясконцай прапускной здольнасцю не належыць $E(X, V \cup W \setminus X)$. Таму мноства $(V \setminus X) \cup (W \cap X)$ мае моц k і пакрывае ўсе рэбры. \square

2.3.3 Прыблізная аптымальнасць

Разгледзім транспартную задачу на сетцы (G, u, c, d) . Ключавое паняще прыблізной аптымальнасці атрымліваецца ў выніку паслаблення ўмовы дадзянойчай няжорсткасці ў тэарэме 2.3. Для дадзенага $\epsilon \geq 0$ псеўдапаток f называецца ϵ -аптымальным адносна функцыі c і d , калі

$$c_p(v, w) \geq -\epsilon \quad \text{для ўсіх } (v, w) \in E_f. \quad (2.11)$$

Псеўдапаток f называецца ϵ -аптымальным, калі f з'яўляецца ϵ -аптымальным адносна нейкай функцыі c і d .

Важная ўласцівасць ϵ -аптымальнасці ў тым, што калі кошты дуг цэлалікамі і ϵ дастаткова малы лік, то ϵ -аптымальны дапушчальны псеўдапаток з'яўляецца аптымальным.

Тэарэма 2.10 *Калі кошты ўсіх дуг цэлалікамі $i \epsilon < 1/n$, то дапушчальны ϵ -аптымальны псеўдапаток з'яўляецца аптымальным.*

Доказ. Разгледзім прости цыкл у графе G_f . З ϵ -аптымальнасці псеўдапатока f вынікае, што яго прыведзены кошт не меншы чым $-\frac{\epsilon}{n} > -1$. Але прыведзены кошты цыкла роўны яго зыходнаму кошту, які павінен быць цэлалікамі і, такім чынам, неадмоўным. З тэарэмы 2.2 выводзім, што f — аптымальны псеўдапаток. \square

Азначэнне ϵ -аптымальнасці матывуе пастаноўку наступных дзвюх задач:

- (31) Для дадзенага псеўдапатока f і канстанты $\epsilon \geq 0$ знайсці такую функцыю c і d , што f з'яўляецца ϵ -аптымальным адносна c і d , або паказваць, што такой функцыі c і d не існуе (г. зн., што f не з'яўляецца ϵ -аптымальным).

- (32) Для дадзенага псеўдапатока f знайсі найменшае $\epsilon \geq 0$, такое, што f з'яўляецца ϵ -аптымальным. Такое ϵ абазначым праз $\epsilon(f)$.

Разгледзім задачу (31). Вызначым новыя кошты $c^\epsilon(v, w) \stackrel{\text{def}}{=} c(v, w) + \epsilon$ для ўсіх $(v, w) \in E$.

Тэарэма 2.11 *Псеўдапаток f з'яўляецца ϵ -аптымальным, тады і толькі тады, калі граф G_f не мае цыклаў адмоўнага кошту адносна функцыі кошту c^ϵ .*

Доказ. Калі граф G_f не мае цыклаў адмоўнага кошту адносна c^ϵ , існуе функцыя цэн p , што $c^\epsilon(v, w) \geq 0$ для ўсіх $(v, w) \in E$, і $c(v, w) \geq -\epsilon$ для ўсіх $(v, w) \in E$.

Наадварот, калі f — ϵ -аптымальны псеўдапаток, то існуе функцыя цэн p , што $c_p(v, w) \geq -\epsilon$ для ўсіх $(v, w) \in E$, і $c_p^\epsilon(v, w) \geq 0$ для ўсіх $(v, w) \in E$. Але ў гэтym выпадку (следства 1.1) граф G_f не мае цыклаў адмоўнага кошту адносна c^ϵ . \square

З тэарэмы 2.11 вынікае, што задача (31) эквівалентна задачы пошука адмоўнага цыкла і можа быць вырашана алгарытмам Форда-Бэлмана за час $O(nm)$.

Разгледзім цяпер задачу (32).

Тэарэма 2.12 *Для любога псеўдапатока f мае месца формула*

$$\epsilon(f) = \max\{0, -\mu(G_f, c)\}.$$

Доказ. Непасрэдна з лемы 1.8. \square

Наступная тэарэма паказвае, што калі прыведзены кошт нейкай дугі істотна большы за бягучую велічыню памылкі ϵ , то любы аптымальны дапушчальны псеўдапаток мае ту ж велічыню патока на гэтай дузе, што і бягучы псеўдапаток.

Тэарэма 2.13 *Няхай дадзены канстанты $\epsilon > 0$ і $\epsilon' \geq 0$. Калі дапушчальны псеўдапаток f з'яўляецца ϵ -аптымальным адносна функцыі цэн p , і для дугі $(v, w) \in E$ виконваецца ўмова $|c_p(v, w)| \geq n(\epsilon + \epsilon')$, то тады $f(v, w) = f'(v, w)$ для кожнага дапушчальнага ϵ' -аптымальнага псеўдапатока f' .*

Доказ. З прычыны антысіметрыі функцыі кошту дастаткова даказаць тэарэму для выпадку $c_p(v, w) \geq n(\epsilon + \epsilon')$. Няхай f' ёсць дапушчальны псеўдапаток, для якога $f'(v, w) \neq f(v, w)$. Так як $c_p(v, w) > \epsilon$, то $f(v, w) = -u(w, v)$, і таму з $f'(v, w) \neq f(v, w)$ маєм $f'(v, w) > f(v, w)$. Дакажам, што f' не з'яўляецца ϵ' -аптымальным і, тым самым, тэарэма будзе даказана.

Разгледзім падграф $G_> = (V, E_>)$, дзе

$$E_> \stackrel{\text{def}}{=} \{(x, y) \in E : f'(x, y) > f(x, y)\},$$

графа G_f . Зазначым, што (v, w) з'яўляецца дугой графа $G_>$. Так як $(f' - f)$ ёсць дапушчальная цыркуляцыя ў сетцы (G, u_f, c) , то $G_>$ павінен мець прости цыкл Γ , які праходзіць праз дугу (v, w) . Няхай Γ мае l дуг. Так як усе дугі цыкла Γ належаць G_f , то яго кошт не меншы чым

$$c_p(v, w) - (l - 1)\epsilon \geq n(\epsilon + \epsilon') - (n - 1)\epsilon > n\epsilon'.$$

Зарараз разгледзім цыкл $\bar{\Gamma}$, які атрымліваецца з Γ заменай усіх дуг на адвартныя. Заўважым, што $\bar{\Gamma}$ ёсць цыкл графа $G_{f'}$. Па антысіметрыі

$$c(\bar{\Gamma}) = -c(\Gamma) < -n\epsilon'.$$

Таму $\mu(G_{f'}, c) < -\epsilon'$, а па тэарэме 2.12 вынікае, што $\epsilon(f') > \epsilon'$. \square

Каб сформуляваць важны вынік тэарэмы 2.12, увядзем наступнае азначенне. Дугу (v, w) называем ϵ -фіксаванай, калі паток па ёй аднолькавы для ўсіх дапушчальных ϵ -аптымальных псеўдапатокаў.

Вынік 2.1 *Няхай $\epsilon > 0$ і дапушчальны псеўдапаток f з'яўляеца ϵ -аптымальным адносна функцыі p . Калі $|c_p(v, w)| \geq 2n\epsilon$, то дуга (v, w) з'яўляеца ϵ -фіксаванай.*

Доказ. Непасрэдна з тэарэмы 2.13, калі пакласці $\epsilon' = \epsilon$. \square

Азначым мноства F_ϵ усіх ϵ -фіксаваных дуг. Наступная тэарэма з'яўляеца асноўным інструментам пры атрыманні палінаміальных ацэнак складанасці алгарытмаў.

Тэарэма 2.14 *Няхай $\epsilon = \epsilon(f)$ для нейкага дапушчальнага псеўдапатока f і $\epsilon' \leq \epsilon/2n$. Тады F_ϵ з'яўляеца ўласным падмножствам $F_{\epsilon'}$.*

Доказ. Так як кожны ϵ' -аптымальны дапушчальны псеўдапаток з'яўляеца таксама ϵ -аптымальным, то $F_\epsilon \subseteq F_{\epsilon'}$. Каб паказаць, што ўлучэнне з'яўляеца ўласным, нам трэба паказаць, што ёсць ϵ' -фіксаваная дуга, якая не з'яўляеца ϵ -фіксаванай. Так як $\epsilon = \epsilon(f)$, то існуе такая функцыя p , што f з'яўляеца ϵ -аптымальным адносна p . Акрамя таго, граф G_f мае прости цыкл Γ , усе дугі якога маюць прыведзены кошт $-\epsilon$. Так як павелічэнне псеўдапатока f уздоўж Γ захоўвае ϵ -аптымальнасць, то дугі Γ не з'яўляюцца ϵ -фіксаванымі.

Пакажам, што па меншай меры адна дуга цыкла Γ з'яўляеца ϵ' -фіксаванай. Няхай f' ёсць дапушчальны псеўдапаток, які ϵ' -аптымальны адносна функцыі p' . Так як сярэдні кошт цыкла Γ роўны $-\epsilon$, то ён мае дугу (v, w) , для якой $c_{p'}(v, w) \leq -\epsilon \leq -2n\epsilon'$. Па выніку 2.1 дуга (v, w) з'яўляеца ϵ' -фіксаванай. \square

Глава 3

Задача аб максімальным патоку

Нагадаем, што задача аб максімальным патоку ёсьць задача пошука патока максімальнай велічыні ў дадзенай патокавай сетцы (G, u, s, t) (гл. § 2.2.1). Трэба таксама адзначыць, што працэдура для вырашэння задачы аб максімальным патоку часта прымяняюцца як падпраграма пры распушчэнні шэрагу больш складаных задач на графах і сетках. Звычайна такая падпраграма выклікаецца шматразова, і таму яна павінна выконвацца вельмі хутка. Гэтым абумоўлена тое, што распрацоўцы эфектыўных алгарытмаў для вырашэння задачы аб максімальным патоку ўдзялася шмат увагі.

3.1 Алгарытм адметак

Для вырашэння задачы аб максімальным патоку з тэарэмы 2.5 непасрэдна атрымліваем алгарытм адметак Форда-Фалкерсона, які прадстаўлены на мал. 3.1.

Алгарытм адметак выкарыстоўвае дзве працэдуры: *find_path* і *augment*. Працэдура *find_path* у графе G_f знаходзіць шлях з вытоку s у сцёк t , які задаецца з дапамогай указальніка *parent*. Калі пасля заканчэння працэдуры *find_path* метка *parent*(t) = *nil*, то ў графе G_f няма шляхоў з s у t . У гэтым выпадку бягучы паток з'яўляецца аптымальным і алгарытм адметак спыняецца. Працэдура *augment* знаходзіць мінімальную астатнюю прапускную здольнасць ϵ дугаў знойдзенага шляху і дадаткова праводзіць ϵ адзінак патока ўздоўж гэтага шляху.

Алгарытм адметак пакідае некаторую свабоду ў выбары шляху для павелічэння патока. Дзініц, а затым Эдмандс і Карп, прапанавалі мадыфікацыю алгарытма, у якой павелічэнне патока праводзіцца ўздоўж шляхоў з s у t карацейшай даўжыні. Гэтую мадыфікацыю мы называем алгарытмам Эдмандса-Карпа (алгарытм Дзініца выкарыстоўвае, акрамя гэтай, іншыя ідэі і з'яўляецца больш эфектыўным). Яе мы атрымаем, калі ў працеду-

```

labeling_algorithm(V, E, u, s, t, f) // f — пачатковы паток,
// напрыклад,  $f(v, w) = 0$  для ўсіх  $(v, w) \in E$ 
{
    for (;;) {
        find_path(G, u, s, t, f, parent);
        if (parent(t) = nil) return;
        augment(u, s, t, f, parent);
    }
}

find_path(G, u, s, t, f, parent)
{
    Q := {s};
    for ( $v \in V$ ) parent( $v$ ) := nil; parent(s) := s;
    for ( $;Q \neq \emptyset;$ ) {
         $v \leftarrow Q$ ; // выбіраем вяршыню з Q
        for  $((v, w) \in E_f(v, V))$  if  $(parent(w) = \text{nil})$  {
             $Q \leftarrow w$ ; parent( $w$ ) :=  $v$ ;
            if  $(w = t)$  return;
        }
    }
}

augment(u, s, t, f, parent)
{
     $\epsilon := \infty$ ;
    for  $(v := parent(w := t); v \neq s; v := parent(w := v))$ 
         $\epsilon := \min\{\epsilon, u_f(v, w)\}$ ;
    // павялічваем паток
    for  $(v := parent(w := t); v \neq s; v := parent(w := v))$ 
         $\{f(v, w) := f(v, w) + \epsilon; f(w, v) := -f(w, v);\}$ 
}

```

Малюнак 3.1: Алгарытм адметак

ры $find_path$ спіс Q арганізуваць ў выглядзе чаргі. Як мы ўбачым пазней, складанасць алгарытма Эдмандса-Карпа палінаміяльна залежыць ад n і m .

Няхай $\sigma_f(v)$ ёсць адлегласць (даўжыня карацейшага шляху) ад s да v у графе G_f (калі няма шляху з s у v , то $\sigma_f(v) = \infty$). У графе G_f разгледзім шлях P карацейшай даўжыні з s у t . Ясна, што

$$\sigma_f(w) = \sigma_f(v) + 1 \text{ для кожнай дугі } (v, w) \text{ шляху } P \quad (3.1)$$

Лема 3.1 *Няхай f і g адпаведна патокі ў пачатку і канцы нейкай ітэрациі алгарытма Эдманда-Карпа. Тады $\sigma_f(v) \leq \sigma_g(v)$ для ўсіх $v \in V$.*

Доказ. Разгледзім, як зменіцца граф астатніх прапускных здольнасцей G_f пасля павелічэння патока f ўздоўж карацьшага шляху P ад s да t на велічіню $\epsilon = \min\{u_f(v, w) : (v, w) \in P\}$. Так як паток мяняецца толькі на дугах шляху P (і адваротных да іх), то і граф астатніх прапускных здольнасцей можа змяніцца таксама толькі на гэтых дугах. Менавіта, у графе G_g могуць ўзнінуць новыя дугі, якія з'яўляюцца адваротнымі да дуг шляху P , і знікнуць *крытычныя дугі* (тыя, для якіх $u_f(v, w) = \epsilon$) шляху P . Адлегласць да v з s можа паменшыцца толькі тады, калі дабавіцца дуга (x, y) , для якой $\sigma_f(y) > \sigma_f(x) + 1$, што немагчыма па (3.1). \square

Лема 3.2 *На працягу ўсяго часу выканання алгарытма Эдманда-Карпа дуга (v, w) можа быць крытычнай не больш чым n разоў.*

Доказ. Пры павелічэнні патока f па крытычнай дуге (v, w) яна знікае з G_f . Дапусцім, што пазней пры новым павелічэнні бягучага патока g дуга (v, w) з'яўляецца зноў. Тады $\sigma_g(v) = \sigma_g(w) + 1$. Па леме 3.1 мы маем

$$\sigma_f(v) + \sigma_f(w) = 2\sigma_f(w) - 1 \leq 2\sigma_g(w) - 1 = \sigma_g(v) + \sigma_g(w) - 2.$$

Так як адлегласць ад s да v не пераўзыходзіць $n - 1$, то відавочна, што лема справядліва. \square

Тэарэма 3.1 *Складанасць алгарытму Эдманда-Карпа $O(nm^2)$.*

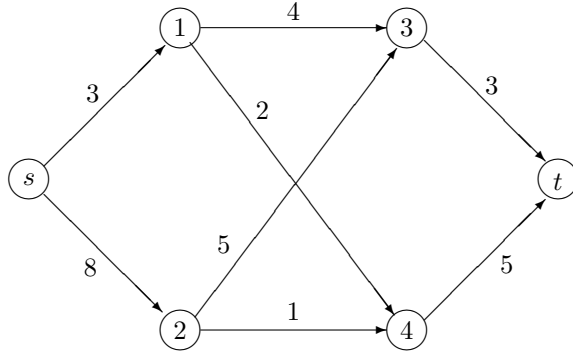
Доказ. Па леме 3.2 алгарытм робіць не больш чым nm павелічэнняў патока. Кожнае павелічэнне можа быць выканана за час $O(m)$ ($O(m)$ патрабуецца працэдуры *find_path* і $O(n)$ — працэдуры *augment*). Таму агульная складанасць алгарытма $O(nm^2)$. \square

Прыклад 3.1 *Разгледзім патокавую сетку, якая прадстаўлена на мал. 3.2.*

Пачынаем рештаць задачу з нулявога патока. Ніжэй прыведзены ітэрации алгарытма адметак.

1. $Q = \{s, 1, 2, 3, 4, t\}$, $parent = (\text{nil}, s, s, 1, 1, 3)$. Павялічваем паток ўздоўж шляху $(s, 1, 3, t)$ на $\epsilon = \min\{3, 4, 3\} = 3$.
2. $Q = \{s, 2, 3, 4, 1, t\}$, $parent = (\text{nil}, 3, s, 2, 2, 4)$. Павялічваем паток ўздоўж шляху $(s, 2, 4, t)$ на $\epsilon = \min\{8, 1, 5\} = 1$.
3. $Q = \{s, 2, 3, 1, 4, t\}$, $parent = (\text{nil}, 3, s, 2, 1, 4)$. Павялічваем паток ўздоўж шляху $(s, 2, 3, 1, 4, t)$ на $\epsilon = \min\{7, 2, 3, 2, 4\} = 2$.
4. Шляху з s у t у графе G_f няма. Бягучы паток велічыні 6 максімальны, а $S = \{1, 3, 4, t\}$ — ядро мінімальнага s, t -разрэза велічыні $\delta_u(S) = 6$.

Змяненні патока на ітэрациях алгарытма прадстаўлены ў табл. 3.1. \square



Малюнак 3.2: Сетка да прыкладу 3.1

Табліца 3.1:

Іт.	f							
	$(s, 1)$	$(s, 2)$	$(1, 3)$	$(1, 4)$	$(2, 3)$	$(2, 4)$	$(3, t)$	$(4, t)$
0	0	0	0	0	0	0	0	0
1	3	0	3	0	0	0	3	0
2	3	1	3	0	0	1	3	1
3	3	3	1	2	2	1	3	3

3.2 Алгарытм Гольдберга і Тар'яна

Няхай дадзен перадпраток f . Будзем казаць, што перадпраток f і функцыя метак $l : V \rightarrow \mathbb{Z}_+$ узгоднены, калі выполнваецца наступная ўмова:

$$l(t) = 0, \quad l(s) = n \text{ і } l(v) \leq l(w) + 1 \quad \text{для ўсіх } (v, w) \in E_f. \quad (3.2)$$

Змястоўны сэнс гэтага азначэння ў наступным. Няхай граф адлегласцей G_f^* атрыманы дабаўленнем дугі (s, t) да графа G_f . Азначым кошты ўсіх дуг з E_f роўнымі адзінцы, а кошт дугі (s, t) роўным n . Тады лёгка бачыць, што $l(v) \leq d_f(v, t)$, дзе $d_f(v, w)$ ёсьць даўжыня карацейшага шляху ад v да w у графе G_f^* .

Тэарэма 3.2 *Паток f максімальны тады і толькі тады, калі існуе ўзгодненая з ім функцыя метак l .*

Доказ. Неабходнасць. Няхай f — максімальны паток. Па тэарэме 2.5 у графе G_f няма шляху з s у t . Таму функцыя метак $l(v) = d_f(v, t)$ для ўсіх $v \in V$ будзе ўзгоднена з патокам f .

Дастатковасць. Няхай f і l узгоднены. Дапусцім, што ў графе G_f існуе просты шлях $s = v_0, v_1, \dots, v_k = t$. Так як l і f узгоднены, $k < n$, то $l(v_{i-1}) \leq$

$l(v_i) + 1$ для $1 \leq i \leq k$. Складышы гэтыя няроўнасці, атрымаем $l(s) - l(t) \leq k < n$, што супярэчыць умове $l(t) = 0, l(s) = n$. \square

GT-алгарытм падтрымлівае ўзгодненая перадпраток f і функцыю метак l , карэктую іх, выкарыстоўваючы аперацыі *push* і *relabel*. Для апісання гэтых аперацый нам будуць патрэбны наступныя азначэнні. Мы гаворым, што вяршыня v *актыўная*, калі

$$v \notin \{s, t\} \quad \text{i} \quad e_f(v) > 0.$$

Нагадам, што перадпраток f з'яўляецца патокам, калі няма ніводнай актыўнай вяршыні. Дуга (v, w) называецца *дапушчальная*, калі

$$(v, w) \in E_f \quad \text{i} \quad l(v) = l(w) + 1.$$

GT-алгарытм, прыведзены на мал. 3.3, пачынае работу з перадпратока f , які азначаецца наступным чынам:

$$\begin{aligned} f(s, v) &= u(s, v), \quad f(v, s) = -f(s, v) \quad \text{для ўсіх дуг } (s, v) \in E, \\ f(v, w) &= 0 \quad \text{для астатніх дуг.} \end{aligned}$$

Прасцейшы выбар пачатковых метак наступны:

$$l(s) = n, \quad \text{i} \quad l(v) = 0 \quad \text{для } v \in V \setminus \{s\}.$$

А найбольш дакладны:

$$l(v) = d_f(v, t) \quad \text{для усіх } v \in V.$$

Пры апошнім выбары меткі могуць быць вылічаны за час $O(m)$, калі выкарыстаць пошук у шырыню з сцёка і з вытока ў графе G_f . Усе ацэнкі, якія мы атрымаем для складанасці алгарытма, справядлівы для любых дапушчальных пачатковых метак. Але, каб спрасціць доказ, лічым, што алгарытм пачынае з прасцейшых метак. На практыцы лепш пачынаць з найбольш дакладных значэнняў метак і перыядычна карэктаваць меткі, выкарыстоўваючы пошук у шырыню.

GT-алгарытм паслядоўна выконвае, у любым парадку, аперацыі карэктывоўкі патока і метак *push* і *relabel*, якія прадстаўлены на мал. 3.4. Калі няма актыўных вяршынь, алгарытм заканчвае работу.

Базісныя аперацыі мадыфікуюць перадпраток f і меткі d . Аперацыя *push* (v, w) павялічвае $f(v, w)$ і $e_f(w)$ на $\epsilon = \min\{e_f(v), u_f(v, w)\}$, і памяншае $f(w, v)$ і $e_f(v)$ на гэту ж величыню. Павелічэнне называецца *насычальным*, калі пасля яго $u_f(v, w) = 0$, і *ненасычальным* у адваротным выпадку. Аперацыя *relabel* (v) робіць метку вяршыні v роўнай найбольшаму значэнню, якое не парушае ўмовы ўзгодненасці (3.2).

Цяпер мы пяройдзем да аргументавання карэктнасці і аналізу эфектыўнасці алгарытма.

```

generic( $G, u, s, t$ )
{
    // ініцыялізацыя
    for  $((v, w) \in E)$  {
         $f(v, w) := 0;$ 
        if  $(v = s)$   $f(s, w) := u(s, w);$ 
        if  $(w = s)$   $f(v, s) := -u(s, w);$ 
    }
    for  $(w \in V)$  {
        if  $(w = s)$   $l(w) := n;$  else  $l(w) := 0;$ 
        // галоўны цыкл
        for  $(; \text{існуе актыўная вяршыня}; )$  {
            выбраць базісную аперацыю і выкананаць яе;
        }
    }
}

```

Малюнак 3.3: Алгарытм Push and Relabel

```

push( $v, w$ )
// Прымяненне:  $v$  актыўная і  $(v, w)$  дапусцімая
{
     $\epsilon := \min\{e_f(v), u_f(v, w)\};$ 
     $f(v, w) := f(v, w) + \epsilon;$   $f(w, v) := -f(v, w);$ 
}

relabel( $v$ )
// Прымяненне:  $e_f(v) > 0$  і  $l(w) \geq l(v)$  для ўсіх  $(v, w) \in E_f(v, V)$ 
{
     $l(v) := 1 + \min_{(v, w) \in E_f(v, V)} l(w);$ 
}

```

Малюнак 3.4: Базісныя аперацыі

Лема 3.3 *Няхай f і l - узгодненыя перадпаток і функцыя метак. Калі вяршыня $v \in V \setminus \{s, t\}$ мае лішак, то да яе можна прымяніць адну з базісных аперацый.*

Доказ. Для кожнай дугі $(v, w) \in E_f(v, V)$ мы маем $l(v) \leq l(w) + 1$. Калі аперацыю *push* нельга прымяніць да вяршыні v , то для ўсіх дуг $(v, w) \in E_f(v, V)$ павінна выконвацца $l(v) < l(w) + 1$, або $l(w) \geq l(v)$. А гэта значыць, што да вяршыні v прымняльная аперацыя *relabel*. \square

Лема 3.4 *На працягу ўсяго алгарытма функцыя метак не ўбывае. Большеаго, пасля аперацыі $relabel(v)$ метка $l(v)$ павялічыцца не менш чым на 1.*

Доказ. Паколькі меткі змяняюцца толькі аперацыямі *relabel*, то дастаткова даказаць другое сцвярджэнне лемы. Перад прымяненнем $relabel(v)$

мы маем $l(v) \leq l(w)$ для ўсіх $(v, w) \in E_f(v, V)$. Адгэтуль вынікае, што $l(v) = 1 + \min_{(v,w) \in E_f(v,V)} l(w)$ пасля $relabel(v)$. \square

Лема 3.5 *На працягу ўсяго алгарытма перадпаток і функцыя метак узгоднены.*

Доказ. Доказ правядзэм індукцыяй па колькасці выкананых базіных аперацыяй. У пачатку алгарытма перадпаток і меткі ўзгоднены. Дапусцім, што перадпаток f і функцыя метак l узгоднены. Пакажам, што аперацыя $relabel(v)$ не парушае узгодненасці перадпатока і метак. Для дугі $(v, w) \in E_f(v, V)$ пасля выканання аперацыі $relabel(v)$ гарантуюцца, што $l(v) \leq l(w) + 1$. Цяпер разгледзім дугу $(w, v) \in E_f(V, v)$. Па леме 3.4, калі $l(w) \leq l(v) + 1$ да аперацыі, то $l(w) < l(v) + 1$ пасля яе.

Цяпер разгледзім аперацыю $push(v, w)$. Яна можа дабавіць дугу (w, v) да E_f і можа выдаліць дугу (v, w) з E_f . У першым выпадку мы маем $l(w) = l(v) - 1$, і ўзгодненасць не парушаецца. У другім выпадку з (3.2) выдаляеца адно абмежаванне, што, зразумела, не парушае ўзгодненасці. \square

Тэарэма 3.3 *Пасля заканчэння алгарытма перадпаток f з'яўляеца максімальным патокам.*

Доказ. Калі алгарытм завершиць работу, то ўсе вяршыні з $V \setminus \{s, t\}$ павінны мець нулявы лішак, таму што ніяма актыўных вяршынь. Таму f павінен быць патокам. А так як на працягу ўсяго алгарытма перадпаток і меткі ўзгоднены, то па тэарэме 3.2 паток f максімальны. \square

Ключ да аналізу эфектыўнасці алгарытма дае наступная лема, якая паказвае, што меткі не могуць вырасці вельмі моцна.

Лема 3.6 *На працягу ўсяго алгарытма $l(v) \leq 2n - 1$ для любой вяршыні $v \in V$.*

Доказ. Лема трывіяльна для $v = s$ і $v = t$. Дапусцім, што $v \in V \setminus \{s, t\}$. Так як алгарытм мяняе толькі меткі актыўных вяршынь з дапамогай аперацыі $relabel$, то дастаткова разгледзець актыўную вяршыню v . Па леме 2.1, так як для перадпатоку адзінай вяршыні з дэфіцитам з'яўляеца выток s , у графе G_f існуе прости шлях $v = v_0, v_1, \dots, v_k = s$, $k \leq n - 1$. Так як f і l узгоднены і $(v_{i-1}, v_i) \in E_f$, то мы маем $l(v_{i-1}) \leq l(v_i) + 1$. Таму, так як $l(v_k) = n$, то мы маем

$$l(v) = l(v_0) \leq l(v_k) + k \leq n + (n - 1) = 2n - 1.$$

\square

Лема 3.6 дазваляе ацаніць колькасць аперацыі $relabel$.

Лема 3.7 Максімальная колькасць аперацыі *relabel* для адной вяршыні не большая, чым $2n - 1$, а агульная іх колькасць не пераўзыходзіць $(2n - 1)(n - 2) < 2n^2$.

Лема 3.8 Колькасць насычальных аперацый *push* не пераўзыходзіць nm .

Доказ. Разгледзім насычальную аперацыю $push(v, w)$. Пасля адной такой аперацыі $l_f(v, w) = 0$, і другая такая аперацыя не можа здарыцца, калі $l(w)$ не вырасце па меншай меры на 2, выкананца аперацыя $push(w, v)$ і $l(v)$ вырасце не меньш чым на 2. Калі мы супаставім кожнай насычальнай аперацыі $push(v, w)$, за выключэннем першай, папярэдняе павелічэнне меткі $l(v)$, то атрымаем верхнюю мяжу n на колькасць такіх аперацый. \square

Найбольш цікавай часткай аналізу эфектыўнасці алгарытма з'яўляецца атрыманне ацэнкі на колькасць ненасычальных аперацый *push*.

Лема 3.9 Колькасць ненасычальных аперацый *push* не пераўзыходзіць $2n^2m$.

Доказ. Азначым патэнцыял Φ для бягучага перадпатока f і функцыі метак l па формуле $\Phi = \sum_{v:v} \text{актыўная } l(v)$. Па леме 3.6 маем $0 \leq \Phi \leq 2n^2$. Кожная ненасычальная аперацыя $push(v, w)$ памяншае Φ не менш чым на 1, таму што $push(v, w)$ робіць вяршыню v неактыўнай і $l(w) = l(v) - 1$. Так як $\Phi = 0$ у пачатку і пасля заканчэння алгарытма, то агульная колькасць ненасычальных аперацый *push* не пераўзыходзіць сумы павелічэнняў Φ на працягу ўсяго алгарытма. Павелічэнне меткі вяршыні v на k павялічвае Φ на k . Агульная колькасць такіх павелічэнняў не пераўзыходзіць $2n^2$. Насычальная аперацыя *push* можа павялічыць Φ самае большае на $2n - 2$, а агульная колькасць такіх павелічэнняў не можа быць большай $(2n - 2)nm$. Сумаванне дае верхнюю мяжу $2n^2 + (2n - 2)nm \leq 2n^2m$ на колькасць ненасычальных аперацый *push*. \square

Непасрэдна з лем 3.7–3.9 атрымліваем

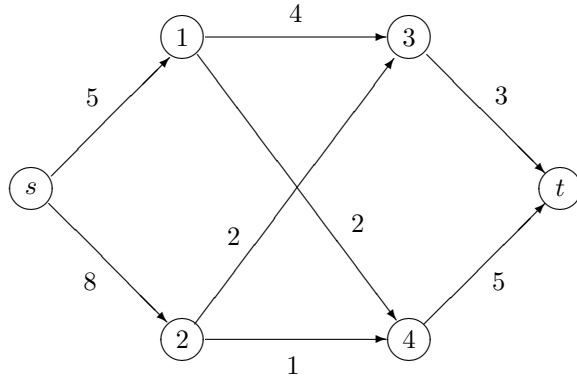
Тэарэма 3.4 *GT-алгарытм* выконвае $O(n^2m)$ базісных аперацый.

Прыклад 3.2 Знайдзі максімальны паток у сетцы на мал. 3.5 алгарытмам "Push and Relabel".

Пачынаем рашаць задачу з перадпатока f і функцыі метак l , прадстаўленых на мал. 3.6.

Ніжэй ідуць ітэрацыі алгарытма.

1. *relabel*(1); $l(1) = 1$.
2. *relabel*(2); $l(2) = 1$.
3. *push*(1, 3); $f(1, 3) = 4$; $e_f(1) = 1$, $e_f(3) = 4$.
4. *push*(1, 4); $f(1, 4) = 1$; $e_f(1) = 0$, $e_f(4) = 1$.
5. *push*(2, 3); $f(2, 3) = 2$; $e_f(2) = 6$, $e_f(3) = 6$.



Малюнак 3.5: Сетка да прыкладу 3.2

E	$(s, 1)$	$(s, 2)$	$(1, 3)$	$(1, 4)$	$(2, 3)$	$(2, 4)$	$(3, t)$	$(4, t)$
f	5	8	0	0	0	0	0	0

V	s	1	2	3	4	t
e_f	-13	5	8	0	0	0
l	6	0	0	0	0	0

Малюнак 3.6:

6. $push(2, 4); f(2, 4) = 1; e_f(2) = 5, e_f(4) = 2.$
7. $relabel(2); l(2) = 7.$
8. $relabel(3); l(3) = 1.$
9. $relabel(4); l(4) = 1.$
10. $push(2, s); f(s, 2) = 3; e_f(2) = 0, e_f(s) = -8.$
11. $push(3, t); f(3, t) = 3; e_f(3) = 3, e_f(t) = 3.$
12. $relabel(3); l(3) = 2.$
13. $push(4, t); f(4, t) = 2; e_f(4) = 0, e_f(t) = 5.$
14. $push(3, 1); f(1, 3) = 1; e_f(3) = 0, e_f(1) = 3.$
15. $relabel(1); l(1) = 2.$
16. $push(1, 4); f(1, 4) = 2; e_f(1) = 2, e_f(4) = 1.$
17. $relabel(1); l(1) = 3.$
18. $push(4, t); f(4, t) = 3, e_f(4) = 0, e_f(t) = 6.$
19. $push(1, 3); f(1, 3) = 3; e_f(1) = 0, e_f(3) = 2.$
20. $relabel(3); l(3) = 4.$
21. $push(3, 1); f(1, 3) = 1; e_f(3) = 0, e_f(1) = 2.$
22. $relabel(1); l(1) = 5.$
23. $push(1, 3); f(1, 3) = 3; e_f(1) = 0, e_f(3) = 2.$
24. $relabel(3); l(3) = 6.$

Табліца 3.2:

E	$(s, 1)$	$(s, 2)$	$(1, 3)$	$(1, 4)$	$(2, 3)$	$(2, 4)$	$(3, t)$	$(4, t)$
f	3	3	1	2	2	1	3	3

25. $push(3, 1); f(1, 3) = 1; e_f(3) = 0, e_f(1) = 2.$

26. $relabel(1); l(1) = 7.$

27. $push(1, s); f(s, 1) = 3; e_f(1) = 0, e_f(s) = -6.$

Так як бягучы перадпраток, які прадстаўлены ў табл. 3.2, з'яўляеца патокам, то гэта і ёсць максімальны паток. \square

3.3 Эфектыўная рэалізацыя алгарытма Push and Relabel

Складанасць алгарытма Push and Relabel залежыць ад парадку прымнення базісных аперацый і ад дэталяў рэалізацыі. Нам спатрэбяцца некаторыя структуры дадзеных для прадстаўлення сеткі і перадпратока. Для дугі $(v, w) \in E$ неарыентаваную пару вяршынь $\{v, w\}$ называем рабром графа G . Кожнаму рабру $\{v, w\}$ ставім у адпаведнасць тры значэнні: $u(v, w)$, $u(w, v)$ і $f(v, w) = -f(w, v)$. Спіс рэбраў, інцыдэнтных вяршыні v , абазначым праз $E(v)$. Зазначым, што рабро $\{v, w\}$ належыць двум спісам — $E(v)$ і $E(w)$. У спісе $E(v)$ заўсёды вылучана бягучае рабро $\{v, w\}$, якое з'яўляеца першым кандыдатам для вызвання аперацыі $push$. Спачатку бягучымі рэбрамі з'яўляюцца першыя рэбры спісаў. Разгледим рэалізацыю працэдуры *generic*, у якой яе галоўны цыкл выконвае аперацыю *discharge*, прыведзеную на мал. 3.7, пакуль ёсць актыўныя вяршыні.

```

discharge ( $v$ )
Прымяненне:  $v$  актыўная
{
    Выбраць бягучае рабро  $\{v, w\}$  у спісе  $E(v)$ ;
    for ( $; e_f(v) \neq 0;$ )
        if (( $v, w$ ) дапушчальная)  $push(v, w);$ 
        else {
            замяніць  $(v, w)$  наступным рабром у  $E(v)$ );
            if (( $v, w$ ) першае рабро у спісе  $E(v)$ ) {
                relabel( $v$ ); return;
            }
        }
}

```

Малюнак 3.7: Аперацыя *discharge*

Аперацыя *discharge* прымянецца да актыўнай вяршыні v . Яна спрабуе вывесці лішак патоку з вяршыні v праз бягуче рабро $\{v, w\}$, калі аперацыя $push(v, w)$ прымяняма. Калі не, то бягуче рабро $\{v, w\}$ замянецца наступным рабром у спісе $E(v)$ (будем лічыць, што наступным рабром для апошняга рабра спіса $E(v)$ з'яўляецца першае рабро). Калі новая бягуче рабро з'яўляецца першым рабром спіса $E(v)$, то *discharge* выконвае аперацыю *relabel(v)* і закачвае работу. Працэдура таксама спыняецца у выпадку, калі вяршыня v стане неактыўнай ($e_f(v) = 0$).

Перайдзём да аргументавання карэктнасці працэдуры *discharge*.

Лема 3.10 Аперацыя $push(v, w)$ не стварае новых дапушчальных дуг, але можа зрабіць дугу (v, w) недапушчальнай.

Доказ. Пасля выканання $push(v, w)$ да графа G_f дадаецца толькі адна новая дуга (w, v) , якая не можа стаць дапушчальнай, так як $l(w) = l(v) - 1$. Калі аперацыя $push(v, w)$ з'яўляецца насычальнай, то дуга (v, w) стане недапушчальнай. \square

Лема 3.11 Пасля выканання аперацыї *relabel(v)* існуе хаця б адна дапушчальная дуга, якая выходзіць з v , і няма дапушчальных дуг, якія ўваходзяць у v .

Доказ. Пасля *relabel(v)* маем $l(v) = 1 + \min_{(v, w) \in E_f} l(w)$. Такім чынам, для вяршыні w , на якой дасягаецца мінімум, дуга (v, w) стане дапушчальнай.

Дакажам зараз, што пасля выканання *relabel(v)* у вяршыні v не ўваходзіць ніводная дапушчальная дуга. Калі б такая дуга (w, v) існавала, то пасля *relabel(v)* мы мелі $l(w) = l(v) + 1$. Таму перад *relabel(v)* было бы $l(w) > l(v) + 1$. Па азначэнню функцыі метак мы павінны заключыць, што $(w, v) \notin E_f$. А паколькі *relabel(v)* не змяняе графа G_f , то і пасля яе выканання дугі (w, v) не будзе ў графе G_f . Атрыманая супяречнасць завяршае доказ. \square

Наступная лема паказвае, што працэдура *discharge* выконвае аперацыю *relabel* карэктна.

Лема 3.12 Працэдура *discharge(v)* выконвае аперацыю *relabel(v)* тады і толькі тады, калі яна прымянимі.

Доказ. Відавочна, што нам дастаткова паказаць, што ўсе дугі, якія выходзяць з v , недапушчальныя. Праходам вяршыні v назавем інтэрвал паміж дзвюмі паслядоўнымі выклікамі аперацыі *relabel(v)* (пачатак першага праходу супадае з пачаткам алгарытму). Па завяршэнні праходу кожная дуга, якая выходзіць з v стане недапушчальнай. Так як *relabel(v)* да канца праходу не выконваецца, то ў выніку лемаў 3.10 і 3.11 яны застаюцца недапушчальнымі і да канца праходу, г.зн. перад чарговым выклікам *relabel(v)*. \square

Лема 3.13 Версія алгарытма *Push and relabel*, якая грунтуецца на аперацый *discharge*, выконваецца за час $O(nm)$ плюс агульны час, патрэбны для ўсіх ненасычальных аперацый *push* і на падтрымку актыўных вяршынь.

Любое прадстаўленне мноства актыўных вяршынь, якое дазваляе выкананы улучэнне, выдаленне і доступ да актыўнай вяршыні за час $O(1)$, у сілу лем 3.8 і 3.13 дазваляе рэалізацыю алгарытма, які грунтуецца на аперацыі *discharge*, з працаёмкасцю $O(nm^2)$ (*push* можа быць рэалізавана за час $O(1)$).

Фіксуючы парадак апрацоўкі актыўных вяршынь, мы можам палепшыць эфектыўнасць алгарытма. Былі прапанаваны два натуральныя парадкі. Першы — *FIFO-алгарытм*: падтрымлівае мноство актыўных вяршынь у выглядзе чаргі, выконваецца аперацыя *discharge* для першай вяршыні чаргі і дадаваецца новую актыўную вяршыню да канца чаргі. Другі, *метод найбольшай меткі*, выконвае аперацыю *discharge* для вяршыні з найбольшай меткай.

Апішам больш дэталёва, як рабіць выбар вяршыні з найбольшай меткай. Для гэтага падтрымліваецца масіў мностваў B_i , $0 \leq i \leq 2n - 1$, і індэкс b . Мноства B_i утрымлівае ўсе актыўныя вяршыні з меткай i . Яно з'яўляецца двухзвязным спісам, што патрабуе час $O(1)$ для ўлучэння і столькі ж для выдалення. Індэкс b ёсьць найбольшая метка актыўнай вяршыні. Пры ініцыялізацыі, калі насычающа дугі, якія выходзяць з вытоку s , атрыманыя актыўныя вяршыні памяшчаюцца ў B_0 , і $b = 0$. На кожнай ітэрацыі алгарытму выбірае (і выдаляе) вяршыню $v \in B_b$, выконвае *discharge*(v), і карэктую b . Метод спыняеца, калі b становіцца адмоўным, г. зн., калі няма актыўных вяршынь. Такая апрацоўка актыўных вяршынь, якая рэалізуе галоўны цыкл алгарытма *Push and Relabel*, прадстаўлена на мал. 3.8.

```

discharge ( $v$ )
Прымяненне:  $v$  актыўная
{
     $v \leftarrow B_b$ ;
     $old\_label := l(v)$ ;
    discharge( $v$ );
    Дадаць кожную вяршыню  $w$ , якая стала актыўнай
    пасля discharge( $v$ ), да  $B_{l(w)}$ 
    if ( $l(v) \neq old\_label$ ) {
         $b := l(v)$ ;  $B_b \rightarrow v$ ; }
    else if ( $B_b = \emptyset$ )  $b := b - 1$ ;
}

```

Малюнак 3.8: Процедура *process_vertex*

Каб зразумець, чаму працэдура *process_vertex* карэктна пералічвае b , заўважым, што *discharge*(v) ці перапамячае v , ці рабіць яе неактыўнай, але не адначасова. У першым выпадку v з'яўляецца актыўнай вяршынай

з найбольшай меткай, таму b трэба павялічыць да значэння $l(v)$. У другім выпадку, лішак з вяршыні v перамяшчаецца ў вяршыні з меткамі $b - 1$. Таму, калі мноства B_b пустое, то b трэба паменшыць на адзінку. Агульны час, які патрэбен на карэкцыю b на працягу ўсяго алгарытма, ёсць $O(n^2)$.

Вузкім месцам пры ацэнцы складанасці двух метадаў, FIFO і найбольшай меткі, з'яўляеецца колькасць ненасычальных аперацыяў *push*. Мы атрымаем верхнюю мяжу $O(n^3)$ на колькасць такіх аперацій з дапамогай падзялення вылічэння ў на фазы, якія азначаюцца па рознаму для кожнага з метадаў. Для метада FIFO фаза 1 улучае аперацыі *discharge*, прымняемых да вяршынъ, якія дадаюцца ў чаргу пры ініцыялізацыі f ; фаза $i + 1$ ($i \geq 1$) складаеецца з аперацыі *discharge*, прымняемых да вяршынъ, якія дадаюцца ў чаргу на i -й фазе. Для метада найбольшай меткі фаза азначаеца максімальным інтервалам часу, на працягу якога значэнне b застаеца пастаянным.

Лема 3.14 Колькасць фаз для алгарытмаў FIFO і найбольшай меткі не пераўзыходзіць $4n^2$.

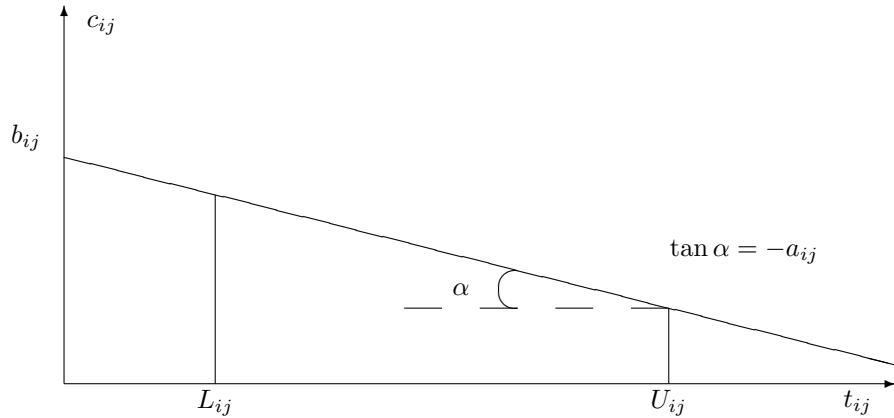
Доказ. Азначым патэнцыял бягучага перадпратока f і функцыі метак l праз

$$\Phi \stackrel{\text{def}}{=} \max_{v: v \text{ актыўная}} l(v);$$

$\Phi = 0$, калі няма актыўных вяршынъ. Зазначым, што для алгарытма найбольшай меткі $\Phi = b$, за выключеннем моманту, калі алгарытм спыняеца. Колькасць фаз, якія выконваюць адну або больш аперацыі *relabel* не пераўзыходзіць $2n^2$ (лема 3.6). Фаза, якая не выконвае *relabel*, памяншае Φ хаця б на адзінку. Пачатковое і канчатковое значэнні Φ роўны нулю. Таму колькасць фаз, якія не мяняюць метак, не большая за суму павелічэння Φ на працягу ўсяго алгарытма. Але Φ павялічваеца толькі пасля выканання *relabel*, прычым, павелічэнне меткі на k можа павялічыць Φ не больш чым на k . Такім чынам, сума павелічэння Φ на працягу ўсяго алгарытма не большая за $2n^2$, і, значыць, колькасць фаз, якія не мяняюць метак, таксама не большая за $2n^2$. \square

Тэарэма 3.5 Складанасць алгарытмаў FIFO і найбольшай меткі $O(n^3)$.

Доказ. Абодва алгарытмы выконваюць не больш адной ненасычальнай аперацыі *push* для кожнай вяршыні на працягу адной фазы. Таму па леме 3.14 агульная колькасць ненасычальных аперацый *push* ёсць $O(n^3)$. Адкуль з лемы 3.13 атрымліваем сцвярджэнне тэарэмы. \square



Малюнак 3.9: Залежнасць працягласці работ ад выдатка

3.4 Розмеркаванне рэсурсаў у графіках праектаў

Прыведзем прыклад вельмі важнай у практицы задачы кіравання рэсурсамі, для вырашэння якой патрабуецца прымененне алгарытма пошуку мінімальнага разреза, ці, што тое ж самае, максімальнага патоку.

Вельмі часта выкананне часткі, ці нават усіх работ праекта можна паскорыць, калі вылучыць дадатковую колькасць рэсурсаў. Дапусцім, што кіраўнік праекта можа ацаніць працягласць выканання работы як функцыю ад суммы грошай, выдзеленых на праект. Увядзем наступныя абазначэнні:

- t_{ij} — працягласць работы (i, j) ;
- L_{ij} — мінімальная працягласць работы (i, j) ;
- U_{ij} — максімальная ("нормальная") працягласць работы (i, j) ;
- $c_{ij}(t_{ij})$ — кошт выканання работы (i, j) за час t_{ij} .

Будзем лічыць, што існуе лінейная залежнасць працягласці ад затрат:

$$c_{ij}(t_{ij}) = b_{ij} - a_{ij}t_{ij}, \text{ где } L_{ij} \leq t_{ij} \leq U_{ij},$$

якая адлюстравана на мал. 3.9.

Для праекта, прадстаўленага сеткавым графікам $G = (N, E)$, трэба пабудаваць графік залежнасці крытычнага часу ад затрат на выкананне праекта.

Прыклад 3.3 Пабудаваць графік залежнасці крытычнага часу ад колькасці дадатковых рэсурсаў па дадзеным, якія прыведзены ў табл. 3.3.

```

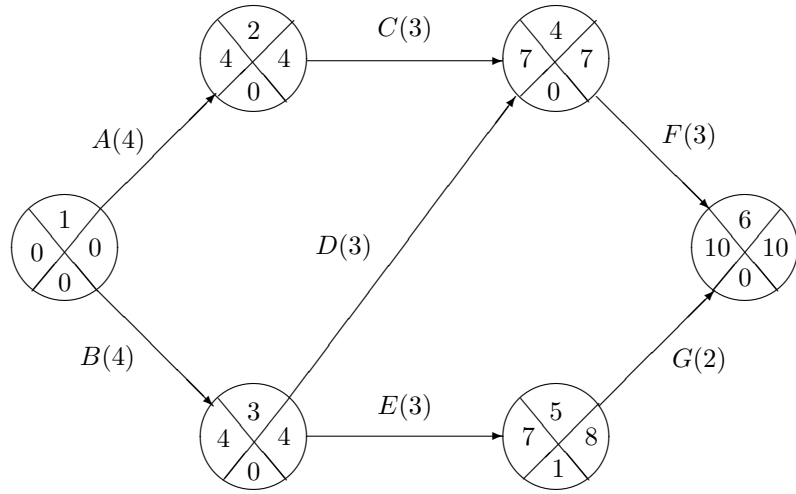
resource_distribution(G, L, U)
{
    for ((i, j) ∈ E) tij := Uij;
    k = 0; // k - колькасць кропак злому for (;;) {
        находзім Rs(i, j) для ўсіх (i, j) ∈ E;
        tk := TKP; Ck := ∑(i,j) ∈ E cij tij;
        EKP = {(i, j) ∈ E : Rs(i, j) = 0};
        for ((i, j) ∈ EKP)
            if (tij > Lij) u(i, j) := aij;
            else u(i, j) := ∞;
        находзім мінімальны 1,  $\bar{n}$ -разрэз EKP(S, V \ S)
        у сетцы (GKP, u, 1, n);
        if ( $\delta_u(S) = \infty$ ) break;
        у графе G' = (N, E \ E(S, V \ S)
        находзім шлях P з 1 у n максімальнага кошту t(P);
        δ1 := TKP - t(P);
        δ2 := min(i,j) ∈ E(P) tij - Lij;
        δ := min{δ1, δ2};
        for ((i, j) ∈ E(P)) tij := tij - δ;
        k := k + 1;
    }
}

```

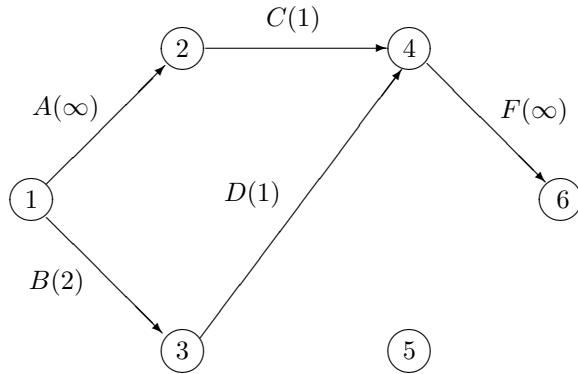
Малюнак 3.10: Алгарытм рашэння задачы размеркавання рэсурсаў

Табліца 3.3:

Работа	Працягласць		Непасрэдна папярэднія	Дуга	b _{ij}	a _{ij}
	U _{ij}	L _{ij}				
A	4	4	-	(1, 2)	5	0
B	4	3	-	(1, 3)	10	2
C	3	1	A	(2, 4)	6	1
D	3	1	B	(3, 4)	7	1
E	3	2	B	(3, 5)	12	3
F	3	3	D, C	(4, 6)	7	2
G	2	2	E	(5, 6)	1	0



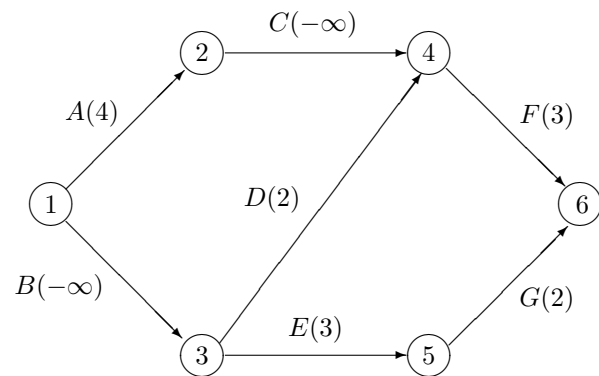
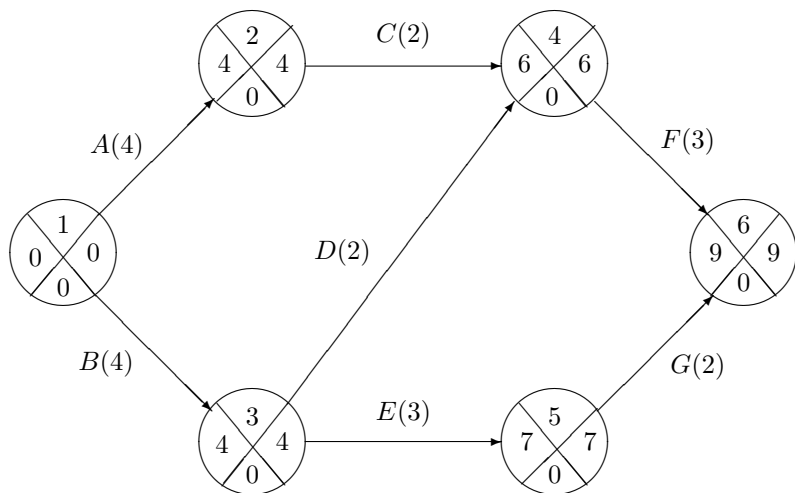
Малюнак 3.11:

Малюнак 3.12: Граф $G_{\text{КР}}^1$

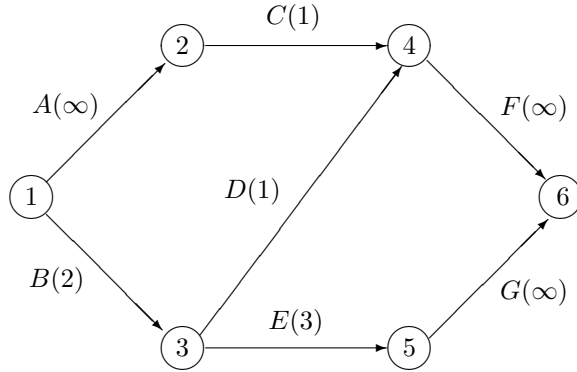
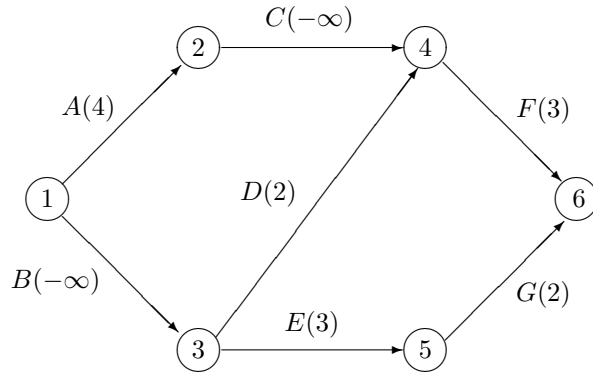
- Сеткавы графік з вынікамі разлікаў прыведзены на мал. 3.11. $T_{\text{КР}}^1 = 10$, $C^1 = 19$. Будуем граф $G_{\text{КР}}^1$ (мал. 3.12). Мінімальны разрэз у ім $E(S, V \setminus S) = \{(2, 4), (3, 4)\}$. Будуем граф $G^1(R)$ (мал. 3.13) і выконваем разлікі. $L_{\text{КР}}^1 = 9$, $\delta_1 = T_{\text{КР}}^1 - L_{\text{КР}}^1 = 10 - 9 = 1$, $\delta_2 = \min\{3 - 1, 3 - 1\} = 2$, $\delta = 1$, $t_{24} = 3 - 1 = 2$, $t_{34} = 3 - 1 = 2$.
- Выконваем разлік сеткавага графіка пры змененых t_{ij} (мал. 3.14). Атрымліваем $T_{\text{КР}}^2 = 9$, $C^2 = C^1 + 2 = 21$.

Будуем граф $G_{\text{КР}}^2$ (мал. 3.15). Мінімальны разрэз у ім $R = \{(2, 4), (1, 3)\}$.

Будуем граф $G^2(R)$ (мал. 3.16) і знаходзім: $L_{\text{КР}}^2 = -\infty$, $\delta_1 = \infty$, $\delta_2 =$

Малюнак 3.13: Граф $G^1(R)$ 

Малюнак 3.14:

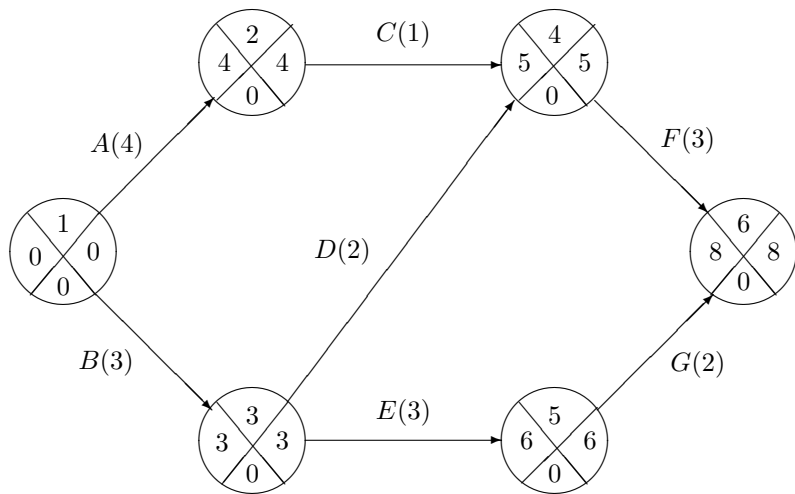
Малюнак 3.15: Граф $G_{\text{КР}}^2$ Малюнак 3.16: Граф $G^2(R)$

$$\min\{3 - 2, 4 - 3\} = 1, \delta = 1, t_{24} = 2 - 1 = 2, t_{13} = 4 - 1 = 3.$$

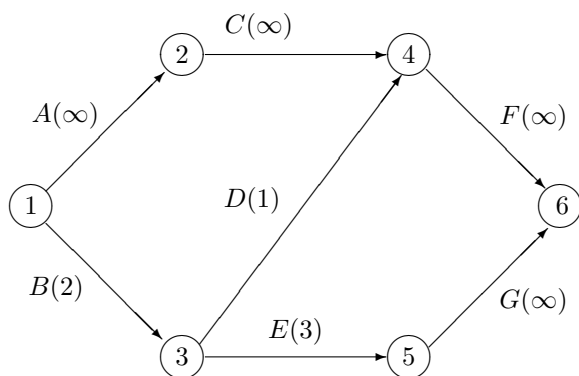
Выконваєм разлік сеткавага графіка пры змененых t_{ij} (мал. 3.17). Атрымліваем $T_{\text{КР}}^3 = 8$, $C^3 = C^2 + 3 = 24$.

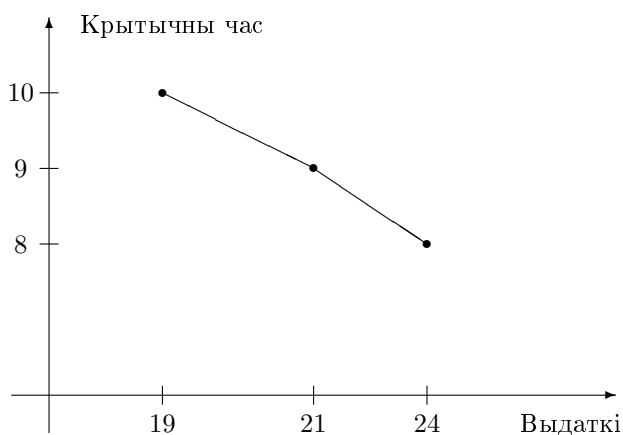
Будуем граф $G_{\text{КР}}^3$ (мал. 3.18). Мінімальны разрэз у ім $R = \{(2, 4), (3, 4), (3, 5)\}$ мае величыню ∞ . Работа алгарытма закончана. Графік залежнасці крытычнага часу ад дадатковых выдаткаў прадстаўлены на мал. 3.19.

□



Малюнак 3.17:

Малюнак 3.18: граф G_{Kp}^3



Малюнак 3.19: Графік залежнасці крытычнага часу ад выдатка

Глава 4

Транспартная задача

4.1 Метад адмоўных цыклаў

Непасрэдна з тэарэмы 2.2 вынікае наступны метад рашэння транспартнай задачы на сетцы (G, u, c, d) , які называюць *метадам адмоўных цыклаў*. Метад пачынае працаваць з адвольнага дапушчальнага псеўдалапатока f . Калі граф G_f не мае цыклаў адмоўнага кошту, то f — аптымальны псеўдалапаток. Інакш, выбіраеца нейкі цыкл адмоўнага кошту, вылічваеца яго астатнія прапускная здольнасць δ , і павялічваеца патокі на дугах гэтага цыкла на δ . Апісанне метада адмоўных цыклаў прыведзены на мал. 4.1.

Колькасць ітэрацый метада адмоўных цыклаў можа быць экспаненцыйнай пры цэлалікавых прапускных здольнасцях і коштах. У выпадку, калі прапускныя здольнасці і кошты ірацыянальныя, метад можа і не спыніцца. На шчасце, версія алгарытма, калі на кожнай ітэрацыі псеўдалапаток змяніеца ўдоўж цыклаў мінімальнага сярэдняга кошту, аказалася *строга палінаміяльнай*¹. Гэтую версію будзем называць *метадам мінімальнага сярэдняга цыкла*.

За меру якасці псеўдалапатока f прымем лік $\epsilon(f)$.

Лема 4.1 *Паслядоўнасць з т ітэрацый метада мінімальнага сярэдняга цыкла скарачае $\epsilon(f)$ не менш чым у $(1 - 1/n)$ разоў.*

Доказ. Бягучы дапушчальны псеўдалапаток будзем абазначаць праз f . Няхай у нейкі момант p ёсць функцыя цэн, адносна якой f з'яўляеца ϵ -аптымальнай, дзе $\epsilon = \epsilon(f)$. Падтрымліваючы ϵ і p фіксаванымі, мы даследуем як змяніеца дапушчальны граф $G_A = (V, E_A)$, дзе $E_A \stackrel{\text{def}}{=} \{(v, w) \in E_f : c_p(v, w) < 0\}$ пасля t мадыфікацый f . Спачатку для кожнай дугі $(v, w) \in E_A$ выконваеца $c_p(v, w) \geq -\epsilon$. Змяненне патока ўздоўж цыкла, ўсе дугі якога належаць E_A , дадае да E_f толькі дугі дадатнага прыведзенага кошту і выдаляе дакладна адну дугу з E_A . Разгледзім два выпадкі.

¹ Нагадаем, што алгарытм для вырашэння патокавай задачы з'яўляеца *строга палінаміяльным*, калі яго складанасць апэньваеца паліномам ад n і t .

```

 $cycle\_canceling(G, u, c, f)$ 
{
    for ( ; у  $G_f$  існуе адмоўны цыкл ; ) {
        Знайсці адмоўны цыкл  $C = (v_0, v_1, \dots, v_{k-1}, v_k = v_0)$ ;
         $\delta := \min_{1 \leq i \leq k} u_f(v_{i-1}, v_i)$ ;
        for ( $i := 1$ ;  $i \leq k$ ;  $i := i + 1$ ) {
             $f(v_{i-1}, v_i) := f(v_{i-1}, v_i) + \delta$ ;
             $f(v_i, v_{i-1}) := -f(v_{i-1}, v_i)$ ;
        }
    }
}

```

Малюнак 4.1: Метад адмоўных цыклаў

1. Ні на адной з m ітэрацый цыкл мінімальнага сярэдняга кошту не мае дугі з неадмоўным прыведзеным коштам. Тады кожная з ітэрацый памяншае моц E_A і пасля не болей чым m ітэрацый мнства E_A будзе пустым, што вызначае аптымальнасць бягучага псеўдапатока f . У гэтым выпадку лема выконваецца, так як $\epsilon(f) = 0$.

2. На нейкай ітэрацыі цыкл мінімальнага сярэдняга кошту мае дугу неадмоўнага прыведзенага кошту. Няхай Y ёсьць першы такі цыкл. Прыведзены кошт кожнай дугі з Y не меншы $-\epsilon$, адна дуга мае неадмоўны прыведзены кошт, а колькасць дуг цыкла Y не большая за n . Таму сярэдні кошт Y не меншы $-(1 - 1/n)\epsilon$. Такім чынам, перад ітэрацыяй, якая апрацоўвае Y , па тэарэме 2.12, $\epsilon(f) \leq (1 - 1/n)\epsilon$. Так як $\epsilon(f)$ ніколі не павялічваецца, то і ў гэтым выпадку лема справядліва. \square

Калі выкарыстаць лему 4.1, то можна атрымаць палінаміяльную мяжу на колькасць ітэрацый метада мінімальнага сярэдняга цыкла, пры ўмове, што ўсе кошты цэлыя.

Тэарэма 4.1 *Калі ўсе кошты дуг цэлалікавыя, то метад мінімальнага сярэдняга цыкла спыняеца пасля $O(nm \log(n\|c\|_\infty))$ ітэрацый.*

Доказ. Тэарэма вынікае з лемы 4.1, тэарэмы 2.10 і таго, што любы паток з'яўляеца $\|c\|_\infty$ -аптымальнай. \square

Доказ наступнай тэарэмы, якая ўсталёўвае строга палінаміяльную ацэнку працаёмкасці метада мінімальнага сярэдняга цыкла, выкарыстоўвае наступную няроўнасць:

$$(1 - 1/n)^{n(\ln n + 1)} \leq 1/2n \text{ для } n \geq 2.$$

Тэарэма 4.2 *Для любых сапраўдных коштаў дуг колькасць ітэрацый метада мінімальнага сярэдняга цыкла не пераўзыходзіць $O(nm^2 \log n)$.*

Доказ. Няхай $k = m(n \lceil \ln n \rceil + 1)$. Падзелім усе ітэрацыі на групы па k паслядоўных ітэрацый у групе. Пакажам, што кожная з груп фіксуе паток па меньшай меры на адной дузе (v, w) , г. зн., што на ўсіх ітэрацыйах, якія ідуць пасля ітэрацый гэтай групы, $f(v, w)$ не мяняецца. Адсюль і будзе вынікаць сцвярджэнне тэарэмы.

Разгледзім нейкую групу ітэрацый. Няхай f ёсьць псеўдапаток перад першай ітэрацыяй групы, f' — псеўдапаток пасля апошняй ітэрацыі групы, а p' ёсьць функцыя цэн, для якой f' задавальняе ўмове $\epsilon(f')$ -аптымальнасці. Няхай на першай ітэрацыі групы паток мяняеца ўздоўж цыкла Y . Па леме 4.1 і з выбару k маем

$$\epsilon(f') \leq \epsilon(f)(1 - 1/n)^{n \lceil \ln n \rceil + 1} \leq \epsilon(f)/2n.$$

Так як сярэдні кошт цыкла Y роўны $-\epsilon(f)$, то для нейкай яго дугі, скажам (v, w) , павінна выконвацца

$$c_{p'}(v, w) \leq -\epsilon(f) \leq -2n\epsilon(f').$$

Згодна з вынікам 2.1, паток па дузе (v, w) не будзе мяняеца пасля заканчэння ўсіх ітэрацый дадзенай групы. Акрамя таго, $f(v, w)$ змяніўся на першай ітэрацыі групы. Такім чынам, кожная група фіксуе паток па меньшай меры на адной дузе. \square

Непасрэдна з тэарэм 4.1 і 4.2 маем

Тэарэма 4.3 *Складанасць метада мінімальнага сярэдняга цыкла ёсьць $O(n^2 m^3 \log n)$ для сапраўдных коштаў дуг і $O(n^2 m^2 \min\{\log(n\|c\|_\infty), m \log n\})$, калі ўсе кошты цэлыя.*

4.2 Сеткавы сімплекс-метад

Разгледзім транспартную задачу на сетцы (G, u, c, d) . Зафіксуем адвольную вяршыню $s \in V$. Няхай f — нейкі дапушчальны псеўдапаток, T — ардрэва з корнем s у графе G . У кантекслце сеткавага сімплекс-метада дрэва T называецца **базісным**. Выличым функцыю p адлегласцей дрэва T . Па азначэнню функцыі адлегласцей $c_p(v, w) = 0$ для ўсіх дуг $(v, w) \in E(T)$, а таксама і для ўсіх адваротных ім дуг. Магчымы два выпадкі:

- 1) $c_p(v, w) \geq 0$ для ўсіх дуг $(v, w) \in E_f$;
- 2) існуе дуга $(v, w) \in E_f$ такая, што $c_p(v, w) < 0$.

У першым выпадку па тэарэме 2.3 паток f з'яўляеца аптымальным. Разгледзім другі выпадак. Няхай $P = (w = v_0, v_1, \dots, v_k = v)$ ёсьць адзіны (неарыентаваны) шлях ў дрэве T з w у v . Так як граф G сіметрычны, то P таксама з'яўляеца арыентаваным шляхам у графе G . Яго кошт роўны $p(v) - p(w)$. Тады

$$p(v) - p(w) + c(v, w) = c_p(v, w) < 0$$

```

net_simplex(G, u, c, f) // f — дапушчальны псеўдапаток
{
    выбраць пакрывальнае адрэва  $T$  графа  $G$  з корнем  $s \in V$ ;
    знайсці функцыю  $p$  адлегласцей адрэва  $T$ ;
    for ( ;  $((v, w) := check\_opt(f, p)) \neq \text{nil}$ ; ) {
        У графе  $T + (v, w)$  вылучыць цыкл  $(v_0 = v, w = v_1, v_2, \dots, v_k = v)$ ;
         $\delta := \min_{0 \leq i < k} u_f(v_i, v_{i+1})$ ;
        Выбраць дугу  $(x, y) = (v_j, v_{j+1})$ , такую, што  $\delta = u_f(v_j, v_{j+1})$ ;
        if  $((x, y) \neq (v, w))$  {
            мадыфікаць адрэва  $T$  наступным чынам:
            a) выдаціць з  $T$  дугу  $(x, y)$  і дадаць дугу  $(v, w)$ ,
            b) пераарыентаваць дугі адрыманага дрэва у напрамку
                ад корня  $s$  да лісцяў;
            c) вылічыць функцыю  $p$  адлегласцей новага адрэва  $T$ ;
        }
        for ( $i := 0$ ;  $i < k$ ;  $i := i + 1$ )
             $f(v_i, v_{i+1}) := f(v_i, v_{i+1}) + \delta$ ;
             $f(v_{i+1}, v_i) := -f(v_i, v_{i+1})$ ;
        }
    }
}

```

Малюнак 4.2: Сеткавы сімплекс-метад

ёсць кошт цыкла $(v_0, v_1, \dots, v_k, v_{k+1} = v_0)$. Няхай

$$\delta = \min\{u_f(v_i, v_{i+1}) : 0 \leq i \leq k\}.$$

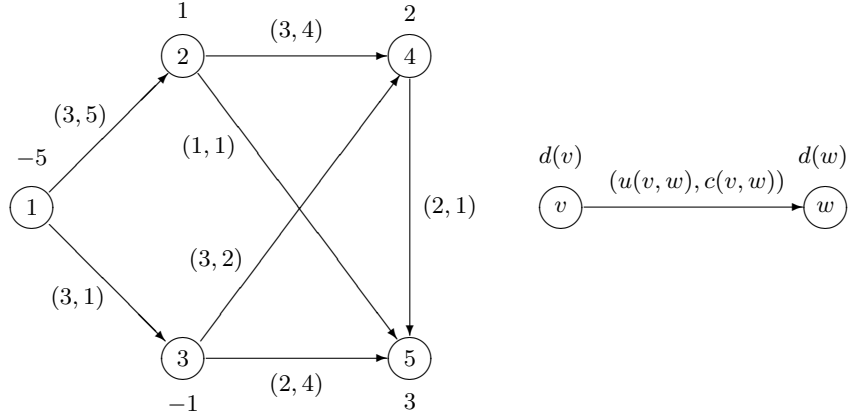
Дуга $(x, y) = (v_j, v_{j+1})$ шляху P , такая, што $u_f(x, y) = \delta$, называецца *блакіруючай*. Заўважым, што δ можа быць роўным нулю. Зменім псеўдапаток f па правілу:

$$\begin{aligned}
f(v_i, v_{i+1}) &:= f(v_i, v_{i+1}) + \delta, \\
f(v_{i+1}, v_i) &:= -f(v_i, v_{i+1}), \quad i = 0, \dots, k, \\
f(x, y) &:= f(x, y) \text{ для астатніх дуг.}
\end{aligned}$$

Пры гэтым кошт псеўдапатока паменшыцца на $-\delta c_p(v, w)$. Такая стратэгія паляпшэння дапушчальнага псеўдапатока ляжыць ў аснове *сеткавага сімплекс-метада*, вядомага таксама пад назвай *метад патэнцыялаў*. Працэдура *net_simplex*, якая рэалізуе сеткавы сімплекс-метад, прадстаўлена на мал. 4.2.

Прыклад 4.1 Сеткавым сімплекс-метадам вырашиць транспартную задачу ў сетцы, якая прыведзена на мал. 4.3

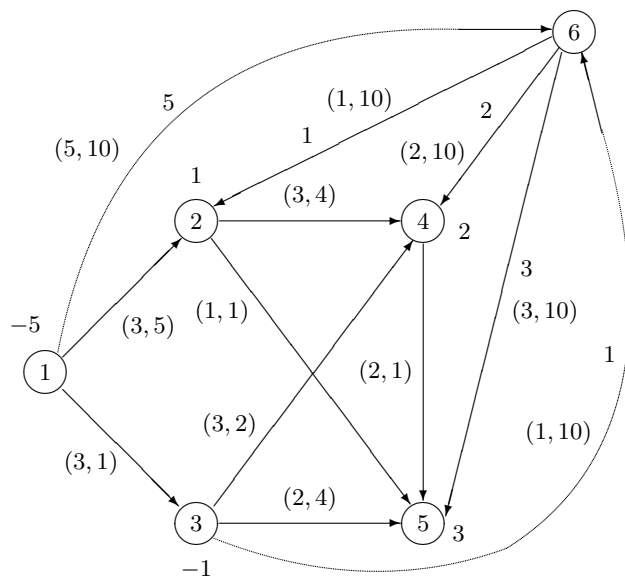
Каб знайсці пачатковы дапушчальны псеўдапаток, пашырым сетку (гл. мал. 4.4), дадаўшы дадатковую вяршыню 6 і 5 дуг $(2, 6)$, $(4, 6)$, $(5, 6)$ і $(6, 1)$,



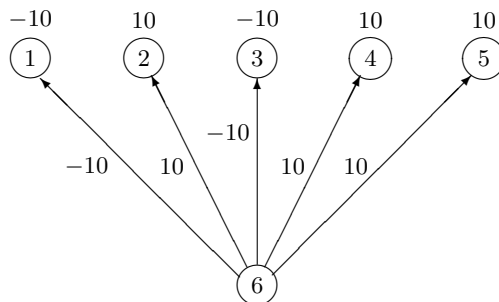
Малюнак 4.3: Сетка да прыкладу 4.1

$(6, 3)$. па адной дузэ для кожнай вяршыні графа. Кошты ўсіх новых дуг азначым роўнымі $10(\infty)$, а прапускныя здольнасці і патокі на дугах $(6, v)$ і $(v, 6)$ — роўнымі $|d(v)|$. Рашэнне пачынаем з ардрэва T , якое прадстаўлена на мал. 4.5) (лікі на дугах — гэта іх кошты, а лікі ля вяршынь — гэта іх цэны). Ніжэй ідуць ітэрацыі метада. Змяненні дугавых патокаў на ітэрацыях адлюстраваны ў табл. 4.1.

1. $c_p(1, 2) = -10 + 5 - 10 = -15 < 0$, $(v, w) = (1, 2)$, $C = (1, 2, 6, 1)$, $\delta = \min\{3, 1, 1\} = 1$, $(x, y) = (2, 6)$. Новае дрэва і функцыя цэн прадстаўлены на мал. 4.6.a).
2. $c_p(1, 3) = -10 + 1 + 10 = 1$, $c_p(2, 4) = -5 + 4 - 10 = -11$, $(v, w) = (2, 4)$, $C = (2, 4, 6, 1, 2)$, $\delta = \min\{3, 2, 4, 2\} = 2$, $(x, y) = (1, 2)$. Новае дрэва і функцыя цэн прадстаўлены на мал. 4.6.b).
3. $c_p(2, 1) = 6 - 5 + 10 = 11$, $c_p(1, 3) = -10 + 1 + 10 = 1$, $c_p(2, 5) = 6 + 1 - 10 = -3$, $(v, w) = (2, 5)$, $C = (2, 5, 6, 4, 2)$, $\delta = \min\{1, 3, 6, 2\} = 1$, $(x, y) = (2, 5)$. Дадзеная ітэрацыя не мяняе базіснае дрэва.
4. $c_p(3, 4) = -10 + 2 - 10 = -18$, $(v, w) = (3, 4)$, $C = (3, 4, 6, 3)$, $\delta = \min\{3, 1, 1\} = 0$, $(x, y) = (4, 6)$. Новае дрэва і функцыя цэн прадстаўлены на мал. 4.7.a).
5. $c_p(3, 5) = -10 + 4 - 10 = -16$, $(v, w) = (3, 5)$, $C = (3, 5, 6, 3)$, $\delta = \min\{2, 2, 0\} = 0$, $(x, y) = (6, 3)$. Новае дрэва і функцыя цэн прадстаўлены на мал. 4.7.b).
6. $c_p(1, 3) = -10 + 1 - 6 = -15$, $(v, w) = (1, 3)$, $C = (1, 3, 5, 6, 1)$, $\delta = \min\{3, 2, 2, 2\} = 2$, $(x, y) = (3, 5)$. Новае дрэва і функцыя цэн прадстаўлены на мал. 4.8.a).



Малюнак 4.4: Пашыраная сетка да прыкладу 4.1

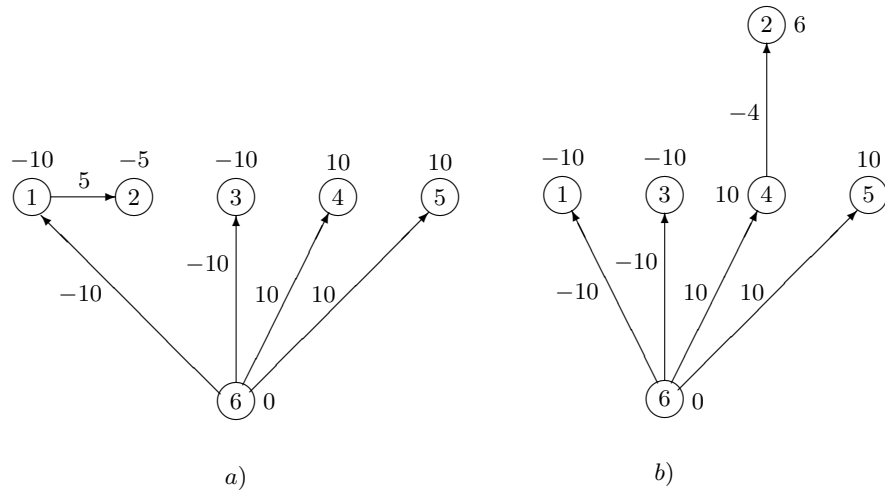


Малюнак 4.5: Пачатковае базіснае дрэва да прыкладу 4.1

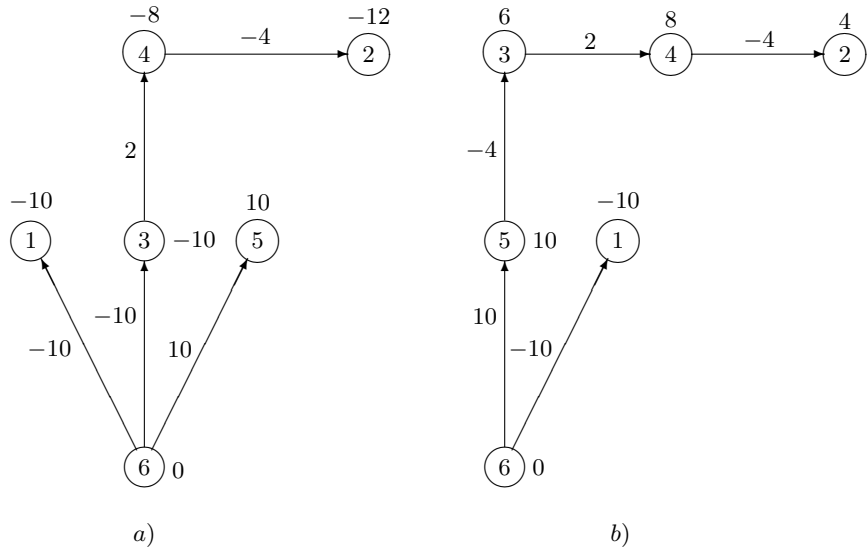
Табліца 4.1: Псеўдалапатокі на розных ітэрацыях

	(1,2)	(1,3)	(2,4)	(2,5)	(3,5)	(3,4)	(4,5)
0	0	0	0	0	0	0	0
1	1	0	0	0	0	0	0
2	3	0	2	0	0	0	0
3	3	0	1	1	0	0	0
4,5	3	0	1	1	0	1	0
6	3	2	1	1	2	1	0
7,8	2	3	0	1	2	2	0
9	2	3	0	1	3	1	0

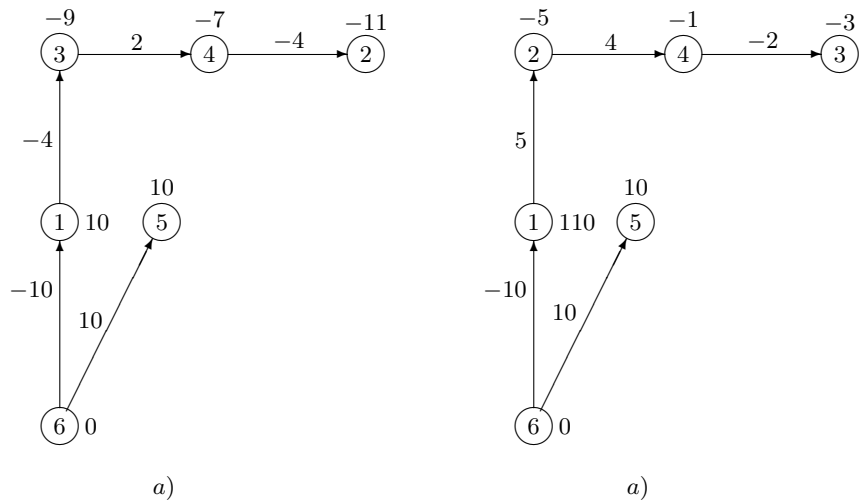
	(1,6)	(6,2)	(3,6)	(6,4)	(6,5)
0	5	1	1	2	3
1	4	0	1	2	3
2	2	0	1	0	3
3	2	0	1	1	2
4,5	2	0	0	0	2
6	0	0	0	0	0
7,8	0	0	0	0	0
9	0	0	0	0	0



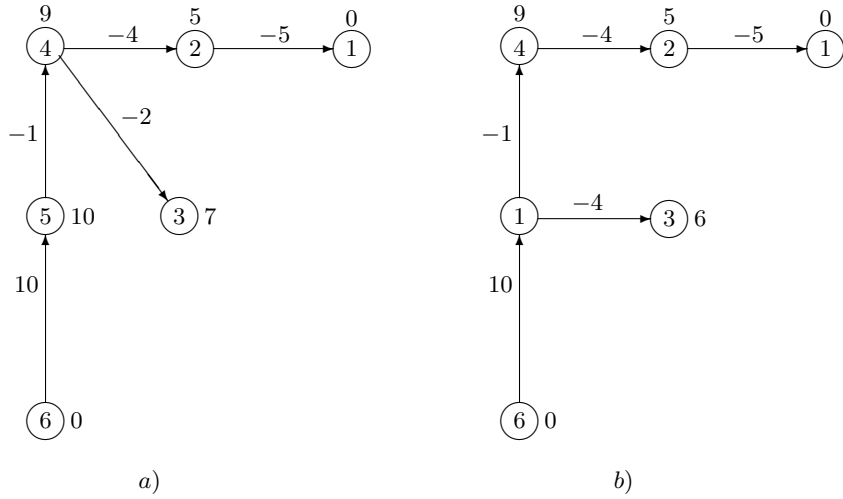
Малюнак 4.6: Базісныя дрэвы пасля ітэрацый 1,2 і 3



Малюнак 4.7: Базісныя дрэвы пасля ітэрацый 4,5



Малюнак 4.8: Базісныя дрэвы пасля ітэрацый 6,7



Малюнак 4.9: Базісныя дрэвы пасля ітэрацыі 8,9

7. $c_p(2, 1) = -11 - 5 + 10 = -6$, $(v, w) = (2, 1)$, $C = (2, 1, 3, 4, 2)$, $\delta = \min\{3, 1, 2, 1\} = 2$, $(x, y) = (1, 3)$. Новае дрэва і функцыя ўзен прадстаўлены на мал. 4.8.b).
 8. $c_p(3, 1) = -3 - 1 + 10 = 6$, $c_p(5, 2) = 10 - 1 + 5 = 14$, $c_p(5, 3) = 10 - 4 + 3 = 9$, $c_p(4, 5) = -1 + 1 - 10 = -10$, $(v, w) = (4, 5)$, $C = (4, 5, 6, 1, 2, 4)$, $\delta = \min\{2, 0, 6, 1, 3\} = 0$, $(x, y) = (5, 6)$. Новае дрэва і функцыя ўзен прадстаўлены на мал. 4.9.a).
 9. $c_p(3, 1) = -3 - 1 + 10 = 6$, $c_p(5, 2) = 10 - 1 - 5 = 4$, $c_p(5, 3) = 10 - 4 - 7 = -1$, $(v, w) = (5, 3)$, $C = (3, 5, 4, 3)$, $\delta = \min\{2, 1, 2\} = 1$, $(x, y) = (3, 4)$. Новае дрэва і функцыя ўзен прадстаўлены на мал. 4.9.b).

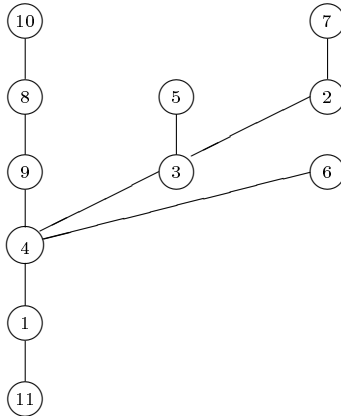
1

4.2.1 Структуры дадзеных для прадстаўлення базіснага дрэва

Базиснае дрэва зручна прадстаўляць трymа спісамі *parent*, *rank* і *next*, элементы якіх наступныя:

- $\text{parent}[v]$ — продак вузла v , перадапошняя вяршыня на шляху ад корня да v^2 ;

² Звычайна, на практыцы зручней лічыць, што $\text{parent}[v]$ ёсць апошніе рабро на шляху ад корня да v .



Малюнак 4.10: Прыклад базіснага дрэва

- $rank[v]$ — узровень вяршыні v ў дрэве (колькасць рэбраў на шляху ад корня да v);
- $next[v]$ — наступная за v вяршыня дрэва.

Спіс $next$ называюць *спісам прамога абыходу дрэва*. Для дрэва, прадстаўленага на малюнку 4.10, спісы $parent$, $next$, $rank$ маюць наступны выгляд:

v	1	2	3	4	5	6	7	8	9	10	11
$parent$	11	3	4	1	3	4	2	9	4	8	nil
$next$	4	7	5	9	2	11	6	10	8	3	1
$rank$	1	4	3	2	4	3	7	4	3	5	0

Для эфектыўнай рэалізацыі сеткавага сімплекс-метода трэба ўмець хутка выконвающа наступныя аперацыі:

- вылічваць функцыю адлегласцей дрэва;
- знаходзіць адзіны шлях паміж любымі дзвумя вяршынямі;
- выдаляць рабро з дрэва;
- дабаўляць рабро да лесу дрэваў.

Як вылічыць функцыю адлегласцей дрэва

Вельмі проста, выкарыстоўваючы ўказальнікі $next$:

```

l  $p(s) := 0;$ 
for ( $w := next(s); w \neq s; w := next(w)$ ) {
     $p(w) := p(parent(w)) + c(parent(w), w);$ 
}
l  $\Delta := rank(j); rank(j) := 0;$ 
for ( $q := next(v := j); rank(q) > \Delta; q := next(v := q)$ )
     $rank(q) := rank(q) - \Delta;$ 

```

Выдаленне рабра з дрэва

Дапусцім, што трэба выдаліць рабро (i, j) . Няхай v ёсьць апошні прадпісаны паслядоўнік у дрэве з корнем у вузле j . Вяршыню v мы атрымаем пасля завяршэння наступнага фрагмента:

У гэтым фрагменце мы таксама паменшылі рангі ўсіх вяршынь паддрэва з корнем j на велічыню $\Delta = rank(j)$.

Пасля завяршэння наступнага цыкла

```
for ( $w := next(i); w \neq j; w := next(w)$ )
```

$next(w) = j$. Калі вяршыні v, q і w знайдзены, для карэктывоўкі спісаў $next$ і $rank$ патрэбна выкананы толькі тры наступныя аперацыі:

$$next(w) := next(v); next(v) := j; parent(j) := \text{nil}.$$

Напрыклад, пры выдаленні рабра $(i, j) = (3, 4)$ з дрэва на мал. 4.10 атрымліваем $v = 7, w = 10$. Пасля выдалення спісы $parent$, $rank$ і $next$ маюць наступны выгляд:

	v	1	2	3	4	5	6	7	8	9	10	11
$parent$	11	3	nil	1	3	4	2	9	4	8	8	nil
$next$	4	7	5	9	2	11	3	10	8	6	6	1
$rank$	1	1	0	2	1	3	2	4	3	5	5	0

Дабаўлення рабра да лесу дрэваў

Няхай трэба дабавіць рабро (i, j) да лесу дрэваў, прадстаўленых спісамі $parent$, $rank$ і $next$.

Спачатку разгледзім выпадак, калі вяршыня j з'яўляецца коранем аднаго з дрэў, г.зн., што $parent(j) = \text{nil}$. Пры карэктывоўцы спіса $next$ неабходна ўлічыць, што вяршыня j стане новым паслядоўнікам вяршыні i , а стары паслядоўнік вяршыні i — новым паслядоўнікам вяршыні v , якая была апошнім паслядоўнікам у паддрэве з коранем у вяршыні j . Вяршыню v мы атрымаем пасля завяршэння наступнага фрагмента:

```

 $\Delta := rank(j) - rank(i) + 1; rank(j) := rank(j) + \Delta;$ 
for ( $v := next(j); v \neq j; v := next(v)$ )
     $rank(q) := rank(q) + \Delta;$ 

```

У гэтым фрагменце мы таксама павялічылі рангі ўсіх вяршынь паддрэва з корнем j на велічыню $\Delta = \text{rank}(j) - \text{rank}(i) + 1$. Пасля таго, як вяршыня v знайдзена, неабходна ўвесці наступнага змяненні ў спісы *next* і *parent*:

$$\text{next}(v) := \text{next}(i); \quad \text{next}(i) := j; \quad \text{parent}(j) := i.$$

Цяпер разгледзім выпадак, калі j не з'яўляецца корнем дрэва. Няхай $x = \text{parent}(j)$. Выдаляем рабро (x, j) , а затым дабаўляем рабро (i, j) . Рэкурсіўна прымяняем апісаную вышэй канструкцыю для дабаўлення дугі (j, x) .

4.2.2 Строга дапушчальныя пакрывальныя дрэвы і складанасць сеткавага сімплекс-метада

Сеткавы сімплекс-метад не абавязкова спыняеца пасля концай колькасці ітэрацый, калі не накладваецца нікіх дадатковых абмежаванняў на выбар дуг, дабаўляемых і выдаляемых з дрэва. Як і для агульнай задачы ЛП, існуюць прыклады транспартных задач (нават малых памераў), на якіх сеткавы сімплекс-метад *зацыкліваецца*. Акрамя таго, у адрозненне ад задачы ЛП, амаль усе патокавыя задачы выраджаныя. Практыка прымяняення сеткавага сімплекс-метада сведчыць, што да 90% яго ітэрацый з'яўляюцца выраджанымі. Як мы пакажам ніжэй, калі сеткавы сімплекс-метад падтрымлівае пакрывальнае дрэва спецыяльнага тыпу, то ён становіцца концым.

Пакрывальнае дрэва T у граfe \hat{G} называеца *строга дапушчальным* для псеўдапатока f , калі пры арыентацыі яго рэбраў у напрамку ад корня да лісцяў атрымліваецца ардрэва \vec{T} ў граfe G_f .

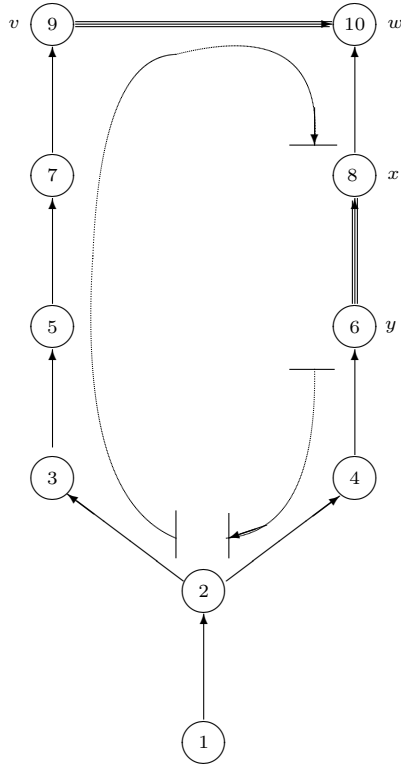
Дапусцім, што сеткавы сімплекс-метад пачынае са строга дапушчальнага пакрывальнага дрэва. Няцяжка праверыць, што такім з'яўляеца штучнае дрэва, якое мы будавалі ў прыкладзе 4.1. Дапусцім цяпер, што на нейкай ітэрацыі мы маем строга дапушчальнае пакрывальнае дрэва T і да яго збіраемся дабаўляць рабро (v, w) . Няхай C адзіны цыкл у граfe $T + (v, w)$, z — вяршыня цыкла C , бліжэйшая да корня у дрэве T . Як заўсёды, выбіраем арыентацыю C , каб праходзіць дугу (v, w) у прымым напрамку. Калі C мае толькі адну блакірующую дугу, то яе і выводзім з базіса. Калі ж мaeца некалькі блакіруючых дуг, то мы карыстаемся наступным правілам.

Правіла выбару выдаляемай дугі. Вибраць першую блакірующую дугу (x, y) арыкла C пры яго абыходзе, які пачынаеца з вяршыні z .

Гэтае правіла праілюстравана на мал. 4.11.

Лема 4.2 Пасля выканання ітэрацыі сеткавага сімплекс-метада з дабаўленнем дугі (v, w) і выдаленнем дугі (x, y) дрэва $T' \stackrel{\text{def}}{=} T - (x, y) + (v, w)$ з'яўляеца строга дапушчальным.

Доказ. Няхай f і f' ёсць дапушчальныя псеўдапатокі адпаведна да і пасля ітэрацыі. Абазначым праз P_1 шлях па цыклу C ад z да x , а праз P_2



Малюнак 4.11: Выбар выдаляемай дугі

— шлях уздоўж C ад y да z (гл. мал. 4.11). Выбярэм адвольную дугу (i, j) ардрава T' (арыентацыя ад лісця да корня). Разгледзім тры магчымых выпадкі.

1. Дуга (i, j) належыць шляху P_1 . Правіла выбара дугі (x, y) гарантую, што ўсе дугі шляху P_1 маюць ненулявыя астатнія прапускныя здольнасці. Таму $(i, j) \in E_f$.

2. Дуга (j, i) ляжыць на шляху P_2 . Калі ітэрацыя была навыраджанай ($\delta > 0$), то тады

$$f'(i, j) = f(i, j) - \delta < f(i, j) \leq u(i, j).$$

У выпадку, калі $\delta = 0$, то, так як дрэва T з'яўляецца строга дапушчальным, на яго шляху ад z да v няма дуг нулявой астатнія прапускной здольнасці. Таму $f'(i, j) = f(i, j) < u(i, j)$.

3. Рабро (i, j) не належыць цыклу C . Тады $f'(i, j) = f(i, j) < u(i, j)$. \square

Тэарэма 4.4 Калі ўсе параметры транспортнай сеткі цэлыя, то сетка-вы сімплекс-метад, які ўвесе час падтрымлівае дрэва строга дапушчальными, з'яўляеца псеўдапалінаміяльным³.

Доказ. Без абмежавання агульнасці, можна лічыць, што значэнне функцыі мэты абмежавана (гл. тэарэму 2.4). Зазначым, што на працягу выкання алгарытма псеўдапаток і цэны таксама цэлыя. Так як кожная нявыраджаная ітэрацыя памяняшае значэнне функцыі мэты не менш чым на 1, то таких ітэраций не можа быць больш чым $m\|c\|_\infty\|u\|_\infty$. Пакажам цяпер, што колькасць паслядоўных выраджаных ітэраций заўсёды концая. Так як да дрэва T заўсёды дабаўляеца дуга (v, w) адмоўнага прыведзенага кошту $c_p(v, w) \leq -1$, а прыведзеныя кошт ўсіх дуг (у абодвух накірунках) дрэва роўны нулю, то кожная ітэрацыя павялічвае цэны ўсіх вяршынь паддрэва дрэва T з корнем w на $c_p(v, w) \leq -1$, то сума цэн ўсіх вяршынь дрэва строга ўбывае. А так як сума цэн вяршынь не можа быць меншай чым $-n\|c\|_\infty$, то колькасць выраджаных ітэраций не пераўзыходзіць $n\|c\|_\infty$. \square

Заўвага. Дапушчальны псеўдапаток f называеца *базісным*, калі існуе пакрывальнаяе адрэва T графа G з коранем у нейкай вяршыні $s \in V$ такое, што ўмова $(v, w), (w, v) \in E_f$ цягне за сабой (v, w) або $(w, v) \in E(T)$. Відавочна, што ўласцівасць псеўдапатоку быць базісным з'яўляеца інварыянтам сеткавага сімплекс-метада, г. зн., калі метад пачынае з базіснага псеўдапатоку, то і ўсе пабудаваныя ім псеўдапатокі з'яўляюцца базіснымі.

³ Нагадаем, што алгарытм для вырашэння транспортнай задачы на сетцы (G, u, c, d) называеца *псеўдапалінаміяльным*, калі яго складанасць абмежавана зверху паліномам ад $n, m, \|c\|_\infty, \|u\|_\infty$ і $\|d\|_\infty$.

Глава 5

Патокі з выйгрышамі і пройгрышамі

Да гэтай пары мы разглядалі патокавыя мадэлі, якія задавальнялі, часам не яўна, умове захавання патока на дугах сеткі: колькі патока выцякла з вяршыні v па дузе (v, w) столькі ж уцячэ ў вяршыню w . Аднак існуюць практычныя сітуацыі, у якіх гэты прынцып не выконваецца. Напрыклад, магчымы страты пры транспартыроўцы прадукта. Іншыя прыклады будуць прыведзены пазней.

5.1 Абагульненая патокі

Абагульненай транспартнай сеткай называецца пяцёрка (G, u, c, γ, d) , дзе, $G = (V, E)$ — сіметрычны арграф, $u : E \rightarrow \mathbb{R}$ — функцыя прапускных здольнасцей дуг, $c : E \rightarrow \mathbb{R}$ — антысіметрычная функцыя кошту дуг, $d : V \rightarrow \mathbb{R}$ — функцыя попыту. Зазначым, што цяпер мы не патрабуем выканання ўмовы $\sum_{v \in V} d(v) = 0$. У дадатак да параметраў стандартнай транспортнай задачы ўводзіцца новая функцыя $\gamma : E \rightarrow \mathbb{R}$ выйгрышаў дуг. Гэта значыць, што калі з вяршыні v па дузе (v, w) выцекла $f(v, w)$ адзінак патока, то ў вяршыню w уцячэ $\gamma(v, w)f(v, w)$ адзінак. Будзем лічыць, што функцыя выйгрышаў з'яўляецца *лагарыфмічна антысіметрычнай*:

$$\gamma(v, w) = \frac{1}{\gamma(w, v)} \quad \text{для ўсіх } (v, w) \in E. \quad (5.1)$$

Абагульнены псевдопаток ёсць функцыя $g : E \rightarrow \mathbb{R}$, для якой выконваюцца наступныя ўмовы:

$$g(v, w) \leq u(v, w) \quad \text{для ўсіх } (v, w) \in E, \quad (5.2)$$

$$g(v, w) = -\gamma(w, v)g(w, v) \quad \text{для ўсіх } (v, w) \in E. \quad (5.3)$$

Тут няроўнасці (5.2) задаюць абмежаванні на прапускныя здольнсці дуг, а абмежаванні (5.3) называюць *умовай антысіметрыі для абагульненых*.

патокаў. Лішак $e_g^\gamma(v)$ *вяршыні* v *для* абагульненага псеўдапатока g *азначаеца па правілу:*

$$e_g^\gamma(v) \stackrel{\text{def}}{=} - \sum_{(v,w) \in E} g(v,w). \quad (5.4)$$

Як і раней, мы будзем казаць, што вяршыня v мае *лішак*, калі $e_g^\gamma(v) > 0$, і мае *дэфіцыт*, калі $e_g^\gamma(v) < 0$.

Абагульнены псеўдапаток g будзэм называць *дапушчальным*, калі ён задавальняе наступнай умове захавання:

$$e_g^\gamma(v) = d(v) \quad \text{для ўсіх } v \in V. \quad (5.5)$$

Калі ўмова (5.5) парушаецца ў вяршыні v , то будзем казаць, што ў гэтай вяршыні назіраецца *дысбаланс*.

5.1.1 Тэарэма аб дэкампазіцыі

Азначым *выйгрыш* шляху $P = (s = v_0, v_1, \dots, v_k = t)$ па формуле:

$$\gamma(P) \stackrel{\text{def}}{=} \prod_{i=1}^k \gamma(v_i, v_{i-1}). \quad (5.6)$$

Калі з вяршыні s выцячэ адна адзінка прадукта, то у вяршыню t прыцячэ $\gamma(P)$ адзінак. Наступныя азначэнні вельмі важныя для разумення ідэй, на якіх будуюцца метады рашэння задач аб абагульненых патоках. Цыкл C у графе G называецца *генеруючым*, калі $\gamma(C) > 1$. Калі $\gamma(C) < 1$, то C — *абсарбуючы* цыкл. Калі ж $\gamma(C) = 1$, то C — *нейтральны* цыкл.

Па аналогіі са звычайнім псеўдапатокамі кожны абагульнены псеўдапаток можна прадставіць як суму невялікай ($\leq m$) колькасці "элементарных абагульненых псеўдапатокаў". Як і раней, кожны з гэтых прымітыўных элементаў азначаецца тыпам падграфа, на дугах якога псеўдапаток ненулявы. Цяпер такіх тыпаў падграфаў пяць:

- 1) шлях з вяршыні з дэфіцытам у вяршыню з лішкам;
- 2) генеруючы цыкл разам са шляхам, які пачынаецца ў адной з вяршынь цыкла і заканчваецца ў вяршыні з лішкам;
- 3) абсарбуючы цыкл разам са шляхам, які пачынаецца ў вяршыні з дэфіцытам і заканчваецца ў адной з вяршынь цыкла;
- 4) нейтральны цыкл;
- 5) генеруючы цыкл злучаны шляхам з абсарбуючым цыклам (*біцыкл*).

Цяпер мы азначаем *элементарны абагульнены псеўдапаток* як абагульнены псеўдапаток, для якога

- падграф, утвораны дугамі з дадатным патокам, належыць да аднаго з вышэйазначаных пяці цыпаў;

- лішак усіх вяршынь роўны нулю, акрамя вяршыні, у якую не ўваходзяць дугі (мае дэфіцыт), і вяршыні, з якой не выходитзяць дугі (мае лішак).

Тэарэма 5.1 *Кожны абагульнены псеўдапаток g можна прадставіць у выглядзе $g = \sum_{i=1}^k g_i$ ($k \leq m$), дзе g_i ёсць элементарны абагульнены псеўдапаток.*

Доказ гэтай тэарэмы мы пакідаем чытачу ў якасці вельмі карыснага практыкавання. \square

5.2 Абагульненая транспартная задача

Абагульненая транспартная задача заключаецца ў tym каб знайсці да-пушчальны абагульнены паток g , які мае мінімальны кошт $c(g)$ сярод ўсіх дапушчальных абагульненых патокаў. Яе фармулёўка як задачы ЛП на-ступная:

$$\begin{aligned} & \sum_{(v,w) \in E} c(v,w)g(v,w) \rightarrow \min \\ & - \sum_{(v,w) \in E} g(v,w) = d(v), \quad v \in V, \\ & g(v,w) = -\gamma(w,v)g(w,v), \quad (v,w) \in E, \\ & g(v,w) \leq u(v,w), \quad (v,w) \in E. \end{aligned} \tag{5.7}$$

5.2.1 Прыклады прылажэнняў

Камбінаторная структура абагульненай транспартной задачы вельмі бага-тая. Таму яна дазваляе мадэляваць значна больш складаныя практычныя сітуацыі, у прыватнасці, эканамічныя працэсы. Напрыклад, біцыкл можна выкарыстоўваць ў якасці мадэлі "вытворца-спажывец". Мы ж абмяжуемся разглядам некалькіх мікраеканамічных мадэляў.

Загрузка машын

Мaeцца r машын, на кожнай з якіх можна вырабляць любы з p прадук-таў. Дапусцім, што машына j можа працаваць толькі на працягу t_j гадзін. Вытворчасць адзінкі прадукта i на машыне j патрабуе τ_{ij} гадзін і каштue $c_{i,j}$ рублëў. Патрэбна вырабіць α_i адзінак прадукта i . Задача заключаецца ў tym, каб вырабіць патрэбную колькасць прадуктаў з мінімальнымі грошовымі выдаткамі.

Мы сфармулюем гэтую задачу як задачу аб абагульненым патоку міні-мальнага кошту. Азначым арграф G з множствам вяршынь

$$V \stackrel{\text{def}}{=} \{1, \dots, p, 1', \dots, r'\}$$

і множствам дуг

$$E \stackrel{\text{def}}{=} \{(i, j') : i = 1, \dots, p; j' = 1', \dots, r'\} \cup \{(j', j') : j' = 1', \dots, r'\}.$$

Азначым функцыю попыту па правилу:

$$\begin{aligned} d(i) &= -\alpha(i), \quad i = 1, \dots, p, \\ d(j') &= t_j, \quad j' = 1', \dots, r'. \end{aligned}$$

Выйгрыш па дуге (i, j') роўны $\gamma(i, j') \stackrel{\text{def}}{=} \tau_{i,j}$, а кошт гэтай дугі роўны $c(i, j') \stackrel{\text{def}}{=} c_{ij}$. Выйгрыш па дуге $(j', j') - \gamma(j', j') \stackrel{\text{def}}{=} 2$, а яе кошт — $c(j', j') = 0$. Дуга (j', j') уведзена для таго каб "зрасходаваць" час прастою машын і тым самым выкананы услову захавання патока.

5.3 Крытэрый аптымальнасці

Па аналогіі са звычайнімі патокамі для функцыі цэн $p : V \rightarrow \mathbb{R}$ азначым прыведзены кошт дугі $(v, w) \in E$ па правілу:

$$c_p^\gamma(v, w) \stackrel{\text{def}}{=} c(v, w) + p(v) - \gamma(v, w)p(w).$$

Лема 5.1 Для абагульненага псеўдапатока g і функцыі цэн p мае месца наступная роўнасць:

$$\sum_{(v,w) \in E} c_p^\gamma(v, w)g(v, w) = \sum_{(v,w) \in E} c(v, w)g(v, w) - 2 \sum_{v \in V} p(v)e_g^\gamma(v).$$

Доказ. Непасрэдна па азначэнню абагульненага патока маем

$$\begin{aligned} \sum_{(v,w) \in E} c_p^\gamma(v, w)g(v, w) &= \sum_{(v,w) \in E} c(v, w)g(v, w) + \\ &\quad \sum_{v \in V} p(v) \sum_{(w,v) \in E(v,V)} g(v, w) - \\ &\quad \sum_{v \in V} p(v) \sum_{(w,v) \in E(V,v)} \gamma(w, v)g(w, v) \\ &= \sum_{(v,w) \in E} c(v, w)f(v, w) - 2 \sum_{v \in V} p(v)e_g^\gamma(v). \end{aligned}$$

□

Тэарэма 5.2 Абагульнены дапушчальны псеўдапаток g з'яўляецца аптымальным тады і толькі тады, калі існуе функцыя цэн p , такая, што выконваеца наступная ўмова дапаўняючай няжорсткасці:

$$c_p^\gamma(v, w) \geq 0 \quad \text{для } \forall (v, w) \in E_g. \quad (5.8)$$

Доказ. Няхай \bar{g} — адвольны абагульнены паток. Калі $\bar{g}(v, w) > g(v, w)$, то $(v, w) \in E_g$ і па 5.8 атрымліаем, што $c_p^\gamma(v, w) \geq 0$. Аналагічна, калі $g(v, w) > \bar{g}(v, w)$, то $(w, v) \in E_g$ і $c_p^\gamma(w, v) \geq 0$ па (5.8). Таму $c_p^\gamma(v, w) = -c_p^\gamma(w, v) \leq 0$. З улікам гэтага і лемы 5.1 маем

$$\sum_{(v,w) \in E} c(g(v,w) - \bar{g}(v,w)) = \sum_{(v,w) \in E} c_p^\gamma(v,w)(g(v,w) - \bar{g}(v,w)) \geq 0.$$

□

Тэарэма 5.3 *Абагульнены дапушчальны псеўдапаток g з'яўляецца аптымальным тады і толькі тады, калі ў графе G_g няма ні нейтральных цыклів ні біцыклаў адмоўнага кошту.*

Доказ. Аналагічны доказу тэарэмы 2.1 з выкарыстаннем тэарэмы аб дэкампазіцыі 5.1. □

5.4 Цыклічныя дрэвы

Звязны неарыентаваны граф назавем *цыклічным дрэвам*, калі ён утрымлівае дакладна адзін цыкл. Граф, кожная кампанента звязнасці якога з'яўляецца цыклічным дрэвам, назавем *цыклічным лесам*.

5.4.1 Прадстаўленне цыклічнага лесу

Няхай цыклічны лес складаецца з k цыклічных дрэваў. У i -м цыклічным дрэве bT_i зафіксуем любое рабро e_i (*цыклічнае рабро*), якое належыць адзінаму цыклу ё bT_i . Дрэва $bT_i - e_i$ абазначым праз T_i . Цяпер цыклічны лес можна задаваць спісамі *prec*, *depth*, *next* для задання леса, складзенага з дрэваў T_1, \dots, T_k , плюс адзін дадатковы спіс *cycle_edge*, дзе

$$cycle_edge[v] \stackrel{\text{def}}{=} \begin{cases} e_i, & v \text{ корань дрэва } T_i, \\ \text{nil}, & v \text{ не з'яўляецца корнем.} \end{cases}.$$

5.4.2 Азначэнне цэн на вяршынях цыклічнага дрэва

Няхай bT ёсьць цыклічнае дрэва ў графе G (без уліку арыентацыі). Так як граф G сіметрычны, то кожнаму рабру $(v, w) \in E(bT)$ адпавяджаюць дзве дугі графа G : (v, w) і (w, v) . Мы хочам азначыць функцыю цэн p на вяршынях цыклічнага дрэва bT такім чынам, што $c_p^\gamma(v, w) = 0$ для ўсіх $(v, w) \in E(bT)$. Цэны вяршынь будзем спачатку прадстаўляць дзвумя функцыямі $\alpha, \beta : V \rightarrow \mathbb{R}$. Гэта азначае, што $p(v) = \alpha(v) + \theta\beta(v)$, дзе параметр θ трэба будзе вызначыць. Няхай r ёсьць корань цыклічнага дрэва, а $e = (x, y)$ — яго цыклічнае рабро. Спачатку мы азначаем $\alpha(r) = 0$, $\beta(r) = 1$. Пасля гэтага, выкарыстоўваючы індэксы *next* і ўказальнікі *prec*, рухаемся па

```

compute_prices(parent, next, r, (x, y), p)
{
     $\alpha(r) := 0; \beta(r) := 1;$ 
    for ( $w := next[r]; w \neq r; w := next(w)$ ) {
         $v := parent(w);$ 
         $\alpha(w) := (\alpha(v) + c(v, w)) / \gamma(v, w);$ 
         $\beta(w) := \beta(v) / \gamma(v, w);$ 
    }
     $\theta := \frac{c(x, y) + \alpha(x) - \gamma(x, y)\alpha(y)}{\gamma(x, y)\beta(y) - \beta(x)};$ 
     $p(r) := \theta;$ 
    for ( $v := next[r]; v \neq r; v := next(v)$ )
         $p(v) := \alpha(v) + \theta\beta(v);$ 
}

```

Малюнак 5.1: Працэдура для вылічэння цэн вяршынъ цыклічнага дрэва

дугах (v, w) дрэва і вылічваем невядомыя цэны вяршынъ w па формуле $p(w) = (c(v, w) + p(v)) / \gamma(v, w)$, ці

$$\alpha(w) = (c(v, w) + \alpha(v)) / \gamma(v, w), \quad \beta(w) = \beta(v) / \gamma(v, w).$$

У заключэнне, вылічваем θ з умовы

$$c_p^\gamma(x, y) = c(x, y) + \alpha(x) + \theta\beta(x) - \gamma(x, y)(\alpha(y) + \theta\beta(y)) = 0.$$

Адкуль

$$\theta = \frac{c(x, y) + \alpha(x) - \gamma(x, y)\alpha(y)}{\gamma(x, y)\beta(y) - \beta(x)}. \quad (5.9)$$

Алгарытм вылічэння цэн прыведзены на мал. 5.4.2.

5.4.3 Азначэнне патокаў на дугах цыклічнага дрэва

Няхай bT ёсьць цыклічнае дрэва, $d : V(bT) \rightarrow \mathbb{R}$ — функцыя попыту. Пакажам, што на дугах $E(bT)$ можна азначыць адзіны абагульнены псеўпаток f , такі, што $e_f^\gamma = d(v)$ для ўсіх $v \in V(bT)$. Няхай r ёсьць корань, а $e = (x, y)$ — цыклічнае рабро bT . Дапусцім, што ўказальнікі $parent$, $next$ задаюць дрэва $T \stackrel{\text{def}}{=} bT - e$ Працэдура *compute_flows*, якая будзе дапушчальны абагульненны паток, прадстаўлена на мал. 5.4.3.

У адрозненне ад працэдуры *compute_prices* працэдура *compute_flows* апрацоўвае вяршыні дрэва ў напрамку ад лісцяў да корня. Лішак вяршыні v будзем прадстаўляць як лінейную функцыю $e_f^\gamma(v) \stackrel{\text{def}}{=} \alpha(v) + \theta\beta(v)$ параметра θ , які трэба будзе потым вызначыць. Спачатку для ўсіх вяршынъ цыклічнага дрэва $\alpha(v) = d(v)$, а $\beta(v) = 0$ для ўсіх вяршынъ, адрозных ад x, y . Так у далейшым мы азначым паток па дузе (x, y) роўным θ , то азначаем $\beta(x) = 1$, а $\beta(y) = -\gamma(x, y)$.

```

compute_flows(parent, next, r, (x, y), d, f)
{
     $\alpha(r) := d(r); \beta(r) := 0;$ 
    for ( $w := next(r); w \neq r; w := next(w)$ ) {
         $\alpha(w) := d(w); \beta(w) := 0;$ 
    }
     $\beta(x) := 1; \beta(y) := -\gamma(x, y);$ 
    for ( $w := next^{-1}(r); w \neq r; w := next^{-1}(w)$ ) {
         $v := parent(w);$ 
         $\alpha(v) := \alpha(v) + \alpha(w)/\gamma(v, w);$ 
         $\beta(v) := \beta(v) + \beta(w)/\gamma(v, w);$ 
    }
     $\theta := -\alpha(r)/\beta(r);$ 
     $f(x, y) := \theta;$ 
    for ( $w := next(r); w \neq r; w := next(w)$ ) {
         $v := parent(w);$ 
         $f(v, w) := -(\alpha(w) + \theta\beta(w))/\gamma(v, w);$ 
    }
}

```

Малюнак 5.2: Працэдура для вылічэння патокаў на дугах цыклічнага дрэва

Няхай w ёсьць нейкі ліст дрэва T , $v = parent(w)$. Адзіны спосаб ліквідаваць дысбаланс велічыні $\alpha(w) + \theta\beta(w)$ у вяршыні w гэта пусціць з вяршыні v па дузе (v, w) паток велічыні $\delta \stackrel{\text{def}}{=} -(\alpha(w) + \theta\beta(w))/\gamma(v, w)$. Што, у сваю чаргу, прывядзе да памяншэння лішку ў вяршыні v на δ . Таму мы замяняем $\alpha(v)$ на $\alpha(v) + \alpha(w)/\gamma(v, w)$, а $\beta(v)$ — на $\beta(v) + \beta(w)/\gamma(v, w)$. Пасля гэтага, мы можам прымяніць алісаны вышэй спосаб і ліквідаваць дысбаланс ва ўсіх вяршынях дрэва акрамя корня r . Выбярэм θ з умовы $\alpha(r) + \theta\beta(r) = 0$. Адкуль $\theta = -\alpha(r)/\beta(r)$. Цяпер і у корні r захоўваецца баланс. Ведаючы θ мы можам паўтарыць усю працэдуру з самага пачатку і азначыць патокі на дугах цыклічнага дрэва.

Мы дакажам карэктнасць нашай працэдуры, калі пакажам, што $\beta(r) \neq 0$. Інакш ураўненне $\alpha(r) + \theta\beta(r) = 0$ не мае рашэння. Успомнім, што дысбаланс велічыні $\alpha(r) + \theta\beta(r)$ утварыўся як вынік таго, што мы паклалі $g(x, y) = \theta$. Гэта, у сваю чаргу, утварыла дэфіцыт велічыні θ у вяршыні x і лішак велічыні $\gamma(x, y)\theta$ у вяршыні y . Няхай $P(r, x)$ ёсьць адзіны шлях у дрэве T ад r да x , а $P(y, r)$ — адзіны шлях у дрэве T ад y да r . Адзіны спосаб ліквідаваць дысбаланс у вяршыні x без утварэння дысбаланса ва ўсіх вяршынях акрамя корня — гэта паслаць $\theta/\gamma(P(r, x))$ адзінак патока з корня r уздоўж шляху $P(r, x)$ да вяршыні x . Аналагічна, адзіны спосаб ліквідаваць дысбаланс у вяршыні y без утварэння дысбаланса ва ўсіх вяршынях акрамя корня — гэта паслаць $\gamma(x, y)\theta$ адзінак патока з y уздоўж шляху $P(y, r)$ да r . Усё гэта прывядзе да сумарнага дысбаланса велічыні

$\gamma(x, y)\theta\gamma(P(y, r)) - \theta/\gamma(P(r, x))$ у корні r . Такім чынам,

$$\beta(r) = \gamma(x, y)\gamma(P(y, r)) - \frac{1}{\gamma(P(r, x))}.$$

Таму $\beta(r) = 0$ тады і толькі тады, калі $\gamma(P(r, x))\gamma(x, y)\gamma(P(y, r)) = 1$, што немагчыма, так як $\gamma(P(r, x))\gamma(x, y)\gamma(P(y, r))$ ёсьць выйгрыш адзінага цыкла цыклічнага дрэва.

5.5 Абагульнены сеткавы сімплекс-метад

Абагульнены сеткавы сімплекс-метад прыведзены на мал. 5.5. На ўваход алгарытма падаецца дапушчальны абагульнены паток і дапушчальны цыклічны лес, які прадстаўлены функцыямі *parent*, *next*, *depth* і *cycl_edge*. Спачатку алгарытм па цыклічнаму лесу вылічвае функцыю цэн p . Галоўны цыкл алгарытма выклікае працэдуру *check_optimality*, якая правярае ўмову дапаўняючай няжорсткасці. Калі яна выконваецца, то *check_optimality* вяртае значэнне **nil** і метад спыняеца, так як бягучы абагульнены паток аптымальны. У адваротным выпадку, *check_optimality* вяртае дугу (v, w) , на якой парушаецца ўмова дапаўняючай няжорсткасці. Потым, спосабам, які будзе апісаны ніжэй, метад знаходзіць дугу (x, y) , якая выдаляеца з цыклічнага лесу. У завяршэнне ітэрацыі, алгарытм дабаўляе да цыклічнага лесу дугу (v, w) і пералічвае дугавыя патокі і цэны вяршынь.

5.5.1 Як знайсці дапушчальныя абагульнены паток і цыклічнае дрэва

Існуе вельмі просты штучны шлях пабудаваць дапушчальныя абагульнены паток і цыклічнае дрэва. Азначым дугавыя патокі ў графе G па правілу: $g(v, w) = -u(w, v)$, $g(w, v) = -\gamma(v, w)g(v, w)$. Каб ліквідаваць магчымыя дысбалансы, для кожнай вяршыні $v \in V$ увядзем петлю $e = (v, v)$ і супрацьлеглую $\bar{e} = (v, v)$ з наступнымі параметрамі:

$$\begin{aligned} u(e) &= \infty, & c(e) &= M, & \gamma(e) &= \begin{cases} \frac{1}{2}, & \text{калі } e_g^\gamma(v) - d(v) \leq 0, \\ 2, & \text{калі } e_g^\gamma(v) - d(v) > 0, \end{cases} \\ u(\bar{e}) &= 0, & c(\bar{e}) &= -\gamma(e)c(e), & \gamma(\bar{e}) &= \frac{1}{\gamma(e)}. \end{aligned}$$

дзе M — дастаткова вялікі лік. Для кожнай вяршыні $v \in V$ азначым $g(v, v) \stackrel{\text{def}}{=} \text{abs}(d(v))/(1 - \gamma(v, v))$.

Так як кожная штучная пятля мае дастакова вялікі кошт M , то патокі па іх ў аптымальным рашэнні будуць нулявымі. Інакш ў абагульненай патокавай сетцы няма ні воднага дапушчальнага абагульненага патока.

У заключэнене азначым, што ўсе разам штучныя петлі ўтвараюць дапушчальны цыклічны лес cF , з якога можа пачаць працаваць абагульнены сімплекс-метад.

```

generalized_simplex(G, u, c, γ, d,
                      parent, next, depth, cycl_edge, g, p)
{
    for ( ; r ∈ V; ) if cycl_edge(r) ≠ nil
        compute_prices(parent, next, r, (x, y) := cycl_edge(r), p);
    for ( ; ((v, w) := check_optimality(c, u, g, p)) ≠ nil; ) {
        r1 := find_root(v, parent, next);
        r2 := find_root(w, parent, next);
        for (i := 1; i ≤ n; i := i + 1) d'(i) = 0;
        d'(v) := 1; d'(w) := -γ(v, w);
        compute_flows(parent, next, r1, (x, y) := cycl_edge(r1), d', f);
        if (r1 ≠ r2)
            compute_flows(parent, next, r2, (x, y) := cycl_edge(r2), d', f);
        f(v, w) := 1; f(w, v) := -γ(v, w)f(v, w);
        (x, y) ∈ arg min(i,j)∈E: f(i,j)>0  $\frac{u_g(i, j)}{f(i, j)}$ ;
        g := f + δf;
        Выдаляем рабро (x, y) з базіснага цыклічнага лесу і
        дабаўляем рабро (v, w);
        compute_prices(parent, next, root[i], r1, p);
        if (r1 ≠ r2) {
            compute_prices(parent, next, root[i], r1, p);
        }
    }
}

```

Малюнак 5.3: Абагульнены сеткавы сімплекс-метад

5.5.2 Выбар дугі для вывада з цыклічнага лесу

Няхай мы збіраемся ўводзіць у цыклічнае лес дугу (v, w) . Спачатку мы знайдзем адказ на наступнае пытанне:

на якую величыню $f(i, j)$ павялічыцца паток па дуге (i, j) цыклічнага леса пры павелічэнні патока па дуге (v, w) на адзінку?

Азначым функцыю попыту b' па правілу:

$$b'(i) \stackrel{\text{def}}{=} \begin{cases} 1, & \text{калі } i = v, \\ -\gamma(v, w), & \text{калі } i = w, \\ 0, & \text{калі } i \in V \setminus \{v, w\}. \end{cases}$$

Няхай f ёсьць абагульнены паток з ненулевымі патокамі толькі на дугах цыклічнага лесу, такі, што для кожнай вяршыні $i \in V$ выконваецца балансавая ўмова: $e_f(i) = b'(i)$. Зазначым, што f можна знайсці, выклікаўшы працэдуру *compute_flows* для цыклічных дрэваў, якім належаць вяршыні v і w . Калі v і w належашць аднаму цыклічнаму дрэву, то *compute_flows* трэба выклікаць толькі адзін раз.

Цяпер знайдзем адказ на яшчэ адно пытанне:

на якую максімальную велічыню δ можна павялічыць паток па дузе (v, w) , не парушаючы прапускных здольнасцей?

Мы знайдзем δ з наступнай сістэмы няроўнасцяў:

$$g(i, j) + \delta f(i, j) \leq u(i, j) \quad \text{для ўсіх } (i, j) \in E',$$

дзе $E' \stackrel{\text{def}}{=} E(bF) \cup (v, w)$. Адкуль

$$\delta = \min_{(i, j) \in E': f(i, j) > 0} \frac{u_g(i, j)}{f(i, j)}. \quad (5.10)$$

Няхай (x, y) ёсьць дуга, на якой дасягаецца мінімум у (5.10). Гэтая дуга дуга павінна выдаляцца з цыклічнага леса.

Пасля таго як велічыня δ вызначана, алгарытм павялічвае паток $g(i, j)$ на велічыню $\delta f(i, j)$ для кожнай дугі $(i, j) \in E'$. Калі $\delta = 0$, то ітэрацыя *выраджаная*. У гэтым выпадку абагульнены паток не змяняецца, а змяняецца толькі цыклічны лес (так як $(x, y) \neq (v, w)$).

5.5.3 Геаметрычная інтэрпрэтацыя абагульненага сеткавага сімплекс-метода

Як мы бачылі, сеткавы сімплекс-метод на кожнай ітэрацыі змяняе паток на дугах цыкла адмоўнага кошту ў графе астатніх прапускных здольнасцей. Зараз мы паспрабуем разабрацца, што ж адбываецца на ітэрацыях абагульненага сеткавага сімплекс-метода.

Пры дабаўленні рабра (v, w) да цыклічнага лесу ўтвараецца адзіны біцыкл, скажам (C_1, P, C_2) . Магчымы два варыянты: 1) $(v, w) \in E(C_1)$; 2) $(v, w) \in E(P)$. Трэці магчымы выпадак, калі $(v, w) \in E(C_2)$, пернумарацый цыклаў C_1 і C_2 зводзіцца да першага.

1) Выбярэм арыентацыю рэбраў цыкла C_1 каб рабро (v, w) праходзілася ў накірунку ад v да w . Калі атрымаем генеруючы цыкл, то арыентуем шлях P у напрамку ад C_1 да C_2 , а арыентацыю C_2 выбіраем такой, каб атрымаць абсарбуючы цыкл. Калі ж пасля арыентацыі C_1 з'яўляецца генеруючым цыклам, то выбіраем арыентацыі P і C_2 супрацьлеглымі тым, якія ўказаны вышэй для генеруючага цыкла.

2) Арыентуем шлях P такім чынам, каб атрымаць дугу (v, w) . Калі атрыманы шлях вядзе ад C_1 да C_2 , то арыентуем C_1 каб атрымаць генеруючы цыкл, а арыентацыя C_2 выбіраецца з мэтай атрымаць абсарбуючы цыкл. У выпадку, калі пасля арыентацыі шлях P вядзе ад C_2 да C_1 , то пасля арыентацыі C_1 павінен быць абсарбуючым, а C_2 — генеруючым.

У абодвух выпадках мы атрымалі дапушчальны арыентаваны біцыкл у графе G_g адмоўнага прыведзенага кошту (усе дугі цыклічнага лесу маюць нулявы кошт, а $c_p^\gamma(v, w) < 0$). Для канкрэтнасці, будзем лічыць, што C_1 — генеруючы цыкл. Адзінку патока, згенерыраванную цыклам C_1 , па шляху P можна перавесці ў $\gamma(P)$ адзінак патока на цыклі C_2 і там абсарбаваць

Табліца 5.1: Курсы абмена валют у нейкі дзень

Валюта здадзеная, x	Валюта атрыманая, y	Абменны курс, r ($y = rx$)	Ліміт на x
Долары	Фунты	0.56	1,000
Долары	Ліры	1,241	500
Фунты	Ліры	2,200	160
Ліры	Фунты	0.00045	200,000
Гульдэны	Фунты	3.37	400
Ліры	Йены	0.11	950,000
Йены	Гульдэны	0.014	15,000
Гульдэны	Йены	70.5	500
Гульдэны	Франкі	3.0	1,600
Йены	Франкі	0.042	80,000

ix. У абагульненым сеткаўым сімплекс-метадзе біцыкл генерыруе і абсарбіруе столькі многа патока, колькі дазваляюць прапускныя здольнасці дуг біцыкла. Калі пры гэтым па дузе (v, w) будзе працякаць δ адзінак патока, то функцыя мэты паменшыцца на $c_p^\gamma(v, w)\delta$.

5.6 Практыкаванні

1. **Аптымальны абмен валюты.** Кожны дзень у абменным пункце аднаму чалавеку дазволена аблмяняць аблежаваную колькасць адной валюты на нейкую колькасць іншай валюты. Гэтыя аблежаванні і аблменныя курсы у нейкі канкрэтны дзень прыведзены ў табліцы 1. Дапусцім, што ў вас ёсьць 1000 долараў і вы хочаце аблмяняць іх на як мага большую колькасць франкаў, выканавшы нейкую паслядоўнасць абленаў. Сфармулюйце дадзеную задачу як задачу аб абагульненым патоку мінімальнага кошту і вырашыце яе з дапамогай праграмы *NetOpt*.

Литература

- [1] R.K. Ahuja, T.L. Magnanti, J.B. Orlin. Network Flows. Prentice Hall, Englewood Cliffs, NJ, 1993.
- [2] Х. Пападимитриу, К. Стайглиц. Комбинаторная оптимизация. Алгоритмы и сложность. – М.: Мир, 1985.
- [3] М. Гэри, Д. Джонсон. Вычислительные машины и труднорешаемые задачи. – М.: Мир, 1982.
- [4] Д. Филлипс, А. Гарсиа-Диас. Методы анализа сетей. – М.: Мир, 1984.

Прадметны ўказальнік

- s, \bar{t} -мноства, 43
абагульнены псе́удадаток
дапушчальны, 84
алгарытм
Флойда- Уоршэла, 16
псе́удадапалінаміяльны, 82
строга палінаміяльны, 69
Push and Relabel
метад найбольшай меткі, 60
FIFO, 60
аперацыя
троквугольніка, 17
астатнія прапускная здольнасць, 36
біцыкл, 84
цыкл
абсарбуючы, 84
генеруючы, 84
нейтральны, 84
цыркуляцыя, 36
элементарная, 37
час
крытычны, 22
дысбаланс, 84
дрэва
базіснае, 71
цыклічнае, 87
дрэва карацейшых шляхо́у, 7
дуга
блакіруючая, 72
функцыя
адлегласцей ардрэва, 7
цэн, 6
кошту, 39
прыведзеная, 6
лагарыфмічна антысіметрычна, 83
попыту, 39
геаметрычна інтерпрэтацыя
абагульненага сеткавага сімплекс-
метада, 92
граф
астатніх прапускных здольнасцей,
36
гамільтона́у, 25
графік
сеткавы, 19
кошт
графа
мінімальным сярэдні цыкліч-
ны, 25
псе́удадатока, 39
сярэдні цыкла, 25
лес
цыклічны, 87
лішак вяршыні, 36
для абагульненага псе́удадатока,
84
метад
адмо́уных цыкла́у, 69
мінімальнага сярэдняга цыкла, 69
паслядо́унай апраксімацыі, 8
патэнцыяла́у, 72
пакрывальнае дрэва
строга дапушчальнае, 80
паток, 39
элементарны, 37
максімальны, 39
перадраток, 39
план, 2
аптымальны, 2
прынцып аптымальнасці, 6
псе́удадаток, 35

- ε-аптымальны, 46
- базісны, 82
- дапушчальны, 39
- абагульнены
- элементарны, 84
- пункт
- злому, 3
- рабро
- цыклічнае, 87
- разрэз, 43
- сц'ек, 39
- сетка, 35
- патокавая, 39
- транспартная, 39
- спіс
- прамога абыходу дрэва, 78
- сімплекс-метад
- абагульнены сеткавы, 90
- сеткавы, 71
- шлях
- карацейшы, 1
- крытычны, 22
- транспартная сетка
- абагульненая, 83
- транспартная задача
- умова дапа^унняючай няжорсткасці, 42
- умова захавання патока, 36
- умовай антысіметрыі
- для абагульненых патока^у, 84
- вектар
- патэнцыяла^у, 6
- велічыня
- патока, 39
- разрэза, 43
- выток, 39
- зацыкліванне
- сеткавы сімплекс-метад, 80
- задача
- аб цыркуляцыі мінімальнага кошту, 39
- аб максімальным патоку, 39, 49
- аб мінімальным цыкле, 25
- аб мінімальным сярэднім цыкле, 25
- транспартная, 39
- без абмежавання^у на прапускныя здольнасці, 40
- транспартная Абагульненая, 85
- ітэрацыя
- выраджаная, 92